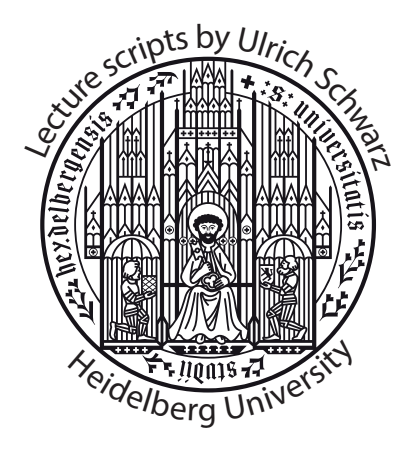
## Vorlesungsskript

## Theoretische Physik I Klassische Mechanik

Dozent Prof. Dr. Ulrich Schwarz

WS 2024/25

Stand 30. Januar 2025



Institut für Theoretische Physik Universität Heidelberg

## Vorwort zur ersten Auflage

Dieses Skript wurde für die Anfängervorlesung Theoretische Physik I - Klassische Mechanik im Wintersemester 2010/11 erstellt. Der Heidelberger Studienplan für Bachelor-Studenten der Physik sieht vor, dass die Theoretische Physik schon im ersten Semester beginnt. Obwohl die meisten Studenten vor Semesterbeginn in einem Vorkurs ihre schulischen Mathematikkenntnisse auffrischen, können die für die Vorlesung nötigen mathematischen Vorkenntnisse nicht vorausgesetzt werden und wurden deshalb als mathematische Einschübe in die Vorlesung aufgenommen. Es gibt viele sehr gute Bücher zum Thema Klassische Mechanik, aber nur wenige, die für diese Besonderheit des Studienplans geeignet sind. Der erste Band der Springer-Serie Grundkurs Theoretische Physik von Wolfgang Nolting zum Thema Klassische Mechanik kommt diesem Schema sehr nahe und wurde deshalb ausdrücklich empfohlen. Die hier wiedergegebene Vorlesung lehnt sich in Stoffauswahl und Notation eng an dieses Buch an, setzt aber andere Schwerpunkte und ergänzt den Stoff in einigen Bereichen. Um den Studierenden bei der Nachbearbeitung der Vorlesung und der Vorbereitung der Klausur zu helfen, wurde deshalb dieses Skript erstellt.

An dieser Stelle möchte ich allen danken, die zur Entstehung des Skripts beigetragen haben. Ein herzliches Dankeschön geht an Mirko Link, der als studentische Hilfskraft manches Wochenende eingesetzt hat, um die Grundversion in Latex und die vielen Abbildungen zu erstellen. Vielen Dank auch an die Studiengebührenkommission für die finanzielle Unterstützung. Und schliesslich vielen Dank an alle Studierende, die über die ELearning-Platform zur Vorlesung auf Fehler aufmerksam gemacht haben.

Wer mehr Literatur zur Klassischen Mechanik sucht, kann neben dem erwähnten Buch von Wolfgang Nolting auch zu den Büchern von Torsten Fliessbach, Walter Greiner, Florian Scheck oder Friedhelm Kuypers greifen. Die Klassiker (Goldstein, Landau-Lifshitz, Feynman) sind für den Anfang eines Bachelor-Studiums wohl eher nicht zu empfehlen. Erwähnenswert finde ich aber noch die Einführung in die Theoretische Physik von Josef Honerkamp and Hartmann Römer, die auch sehr starken Wert auf die Einführung der mathematischen Methoden legt. Wer speziell die mathematischen Grundlagen für das erste Semester aufarbeiten möchte, hat mittlerweile eine schöne Auswahl, z.B. Mathematik für Physiker von Klaus Weltner, Mathematische Methoden in der Physik von Christian Lang und Norbert Pucker oder Rechenmethoden für Studierende der Physik im ersten Jahr von Markus Otto.

Heidelberg, im April 2011

Ulrich Schwarz

## Vorwort zur zweiten Auflage

Nach mehr als 10 Jahren lese ich jetzt zum zweiten Mal die Klassische Mechanik in Heidelberg, und wie zu erwarten hat sich im Stoff nicht wirklich etwas geändert. Was anders und tatsächlich viel besser ist als früher, ist die Zugänglichkeit zu Hilfsmitteln. Viele Lehrbücher lassen sich jetzt als PDF herunterladen, insbesondere das von mir empfohlene Buch von Nolting. Mit den jetzt sehr verbreiteten Tablets lassen sich diese leicht lesen und annotieren. Mathematica und Matlab sind über Campuslizenzen für Studierende umsonst zugänglich. Und mit ChatGPT, Perplexity und anderen KI-Programmen kann man heutzutage leichter Fragen stellen und Ressourcen finden. Neu ist auch das Buch Mathematics for Physicists von Altland und von Delft. Einige der oben erwähnten Bücher gibt es jetzt in neueren Auflagen.

Die zweite Auflage des Skripts beginnt wie die alte mit der Kinematik. Hier wird gezeigt, welche mathematische Begriffe benötigt werden, um Bewegung in Raum und Zeit zu beschreiben, ohne schon den Begriff der Kräfte bemühen zu müssen. Die Kräfte sind Gegenstand der Dynamik, die mit den Newtonschen Gesetzen beginnt. Hier können wir dann die mathematischen Grundlagen verwenden, die in der Kinematik gelegt wurden. Im Gegensatz zur ersten Auflage geht es dann aber nicht mir den eindimensionalen Modellsystemen wie freier Fall und harmonischer Oszillator weiter, sondern wir kommen gleich zu den fundamentalen Begriffen von Energie, Impuls und Drehimpuls. Der Schwerpunkt wird also eher auf die Grundlagen als auf die Anwendungen gelegt. Dann wird gezeigt, wie sich die Lösung des Kepler-Problems aus diesen Begriffsbildungen ergibt. Erst dann kommen die eindimensionalen Modellsystemen und damit die explizite Lösung von Differentialgleichungen. Am Schluss wird noch auf Mehrkörperprobleme und insbesondere auf lineare Schwingungen eingegangen. Scheinkräfte und der starre Körper wurden aus Zeitgründen nicht behandelt.

Heidelberg, im Januar 2025

Ulrich Schwarz

## Inhaltsverzeichnis

1	Kin	ematik des Massenpunktes	7
	1.1	Massenpunkte und Ortsvektoren	7
	1.2	Geschwindigkeit und Beschleunigung	9
	1.3	Mathematischer Einschub 1: Vektoralgebra	10
	1.4	Mathematischer Einschub 2: Vektoranalysis	22
	1.5	Von Beschleunigung zu Bahnkurve	32
	1.6	Geschwindigkeit und Beschleunigung im mitbewegten System	36
	1.7	Mathematischer Einschub 3: Koordinatensysteme	37
	1.8	Geschwindigkeit und Beschleunigung in krummlinigen Koordinaten	60
2	Dyr	namik des Massenpunktes	64
	2.1	Die Newtonsche Gesetze	64
	2.2	Grundschema der Klassischen Mechanik	66
	2.3	Energie- und Drehimpulserhaltung	71
		Energie in 1D	71
		Energie in 3D	74
		Drehimpuls in 3D	79
	2.4	Die drei Kepler'schen Gesetze	80
		2. Kepler'sches Gesetz (Flächensatz)	81
		1. Kepler'sches Gesetz (Ellipsensatz)	82
		3. Kepler'sches Gesetz	86
	2.5	Annahme von Punktteilchen	87
3	Dyr	namik in einer Dimension	91
	3.1	Fallgesetze	91
		Freier Fall	91
		Fall mit Stoke'scher Reibung	
	3.2	Mathematischer Einschub 5: Lineare ODEs	96
	3.3	Mathematischer Einschub 6: Komplexe Zahlen	99
	3.4	Der harmonische Oszillator	102
		Grundgleichung	102
		Gedämpfter harmonischer Oszillator	
		Getriebener harmonischer Oszillator	107
		Phasenraum	110

## Inhaltsverzeichnis

		Fadenpendel	113
4	Meh	nrteilchensysteme	115
	4.1	Motivation	115
	4.2	Notation	117
	4.3	Erhaltungssätze	119
	4.4	Zwei-Teilchen-Systeme	125
	4.5	Kepler-Problem	127
	4.6	Zwei-Teilchen-Streuung	128
	4.7	Lineare Schwingungen	135

## 1.1 Massenpunkte und Ortsvektoren

Gegenstand der Mechanik ist die Beschreibung und Vorhersage der <u>Bewegung</u> von <u>Masse</u>-behafteten Körpern in <u>Raum</u> und <u>Zeit</u> aufgrund von <u>Kräfte</u> (die zentralen Begriffe sind unterstrichen). Diese Definition ist zirkulär, weil man Bewegung letztendlich durch Kräfte definiert (eine gleichförmig gradlinige Bewegung resultiert, wenn keine Kräfte wirken) und umgekehrt (Kräfte kann man messen, weil sie die Bewegung ändern), aber das ist nicht schlimm. Wichtig ist, dass man alle Begriffe präzise und quantitativ definiert.

Wie immer in der Physik ist das Ziel, mit möglichst wenigen Gesetzen eine möglichst allgemein gültige Beschreibung zu erzielen.

⇒ 3 Newton'sche Gesetze (Philosophiae Naturalis Principia Mathematica 1687)

Man unterscheidet zwei Untergebiete:

Kinematik: mathematische Beschreibung der Bewegung Dynamik: Berechnung der Bewegung aus Kräften

Weiterhin beschränken wir die Kinematik auf *Massenpunkte*, deren Ausdehnung für die betrachtete Fragestellung keine Rolle spielt.

Beispiel Bewegung der Erde um die Sonne. Der Abstand zwischen Sonne und Erde (die sogenannte Astronomische Einheit, etwa 150 Millionen km oder 8.3 Lichtminuten) ist so groß gegenüber den Radien von Erde (6.400 km) und Sonne (700.000 km), dass man deren Abmessungen vernachlässigen kann bei der Herleitung der Keplerschen Gesetze.

Ein Massenpunkt wird vollständig durch seinen Ortsvektor  $\mathbf{r}$  charakterisiert:

$$\mathbf{r} = \begin{pmatrix} x_1 \\ x_2 \\ x_3 \end{pmatrix} = \begin{pmatrix} x_1 \\ 0 \\ 0 \end{pmatrix} + \begin{pmatrix} 0 \\ x_2 \\ 0 \end{pmatrix} + \begin{pmatrix} 0 \\ 0 \\ x_3 \end{pmatrix}$$
$$= x_1 \begin{pmatrix} 1 \\ 0 \\ 0 \end{pmatrix} + x_2 \begin{pmatrix} 0 \\ 1 \\ 0 \end{pmatrix} + x_3 \begin{pmatrix} 0 \\ 0 \\ 1 \end{pmatrix} = \sum_{i=1}^3 x_i \mathbf{e}_i = x_i \mathbf{e}_i$$

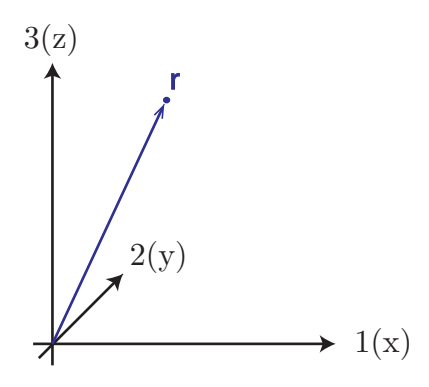


Abbildung 1.1: Ortsvektor eines Massenpunktes

wobei die letzte Formel der Einstein'schen Summenkonvention entspricht: über doppelt vorkommende Indizes wird summiert (wird im Skript nicht verwendet). Die drei Einträge  $x_1$ ,  $x_2$  und  $x_3$  in den Vektor sind die drei Komponenten und die drei kartesischen Einheitsvektoren sind

$$\mathbf{e}_1 = \begin{pmatrix} 1 \\ 0 \\ 0 \end{pmatrix}, \quad \mathbf{e}_2 = \begin{pmatrix} 0 \\ 1 \\ 0 \end{pmatrix}, \quad \mathbf{e}_3 = \begin{pmatrix} 0 \\ 0 \\ 1 \end{pmatrix}$$

Dies werden in der Klassischen Mechanik als fest angenommen, dh wir haben einen absoluten Raum als Bezugssystem. Das kann sich ändern, wenn wir das Bezugssystem ändern, insbesondere wenn wir das begleitende Dreibein des Teilchens oder krummlinige Koordinaten verwenden. In der speziellen Relativitätstheorie ändert sich dies aus physikalischen Gründen.

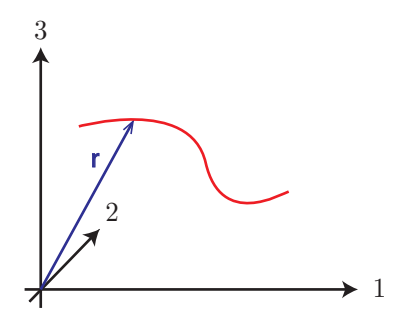


Abbildung 1.2: Trajektorie

Wenn sich ein Massenpunkt bewegt, dann entsteht eine *Trajektorie* oder *Bahnkur-ve*  $\mathbf{r}(\mathbf{t})$ .

#### Mathematisch:

Abbildung  $f: \mathbb{R} \to \mathbb{R}^3$ ,

$$\mathbf{r} = \mathbf{r(t)} = \begin{pmatrix} x_1(t) \\ x_2(t) \\ x_3(t) \end{pmatrix} = \sum_{i=1}^3 x_i(t) \mathbf{e}_i$$

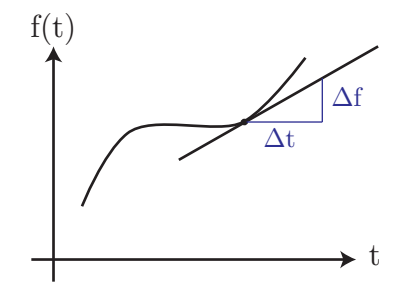
Die Zeitabhängigkeit betrifft hier also nur die Komponentenfunktionen  $x_i(t)$ , die Einheitsvektoren  $\mathbf{e}_i$  sind hier zeitunabhängig, wie oben schon erklärt. In der Klassischen Mechanik ist die Zeit absolut und wird als unabhängiger Parameter betrachtet, der gleichförmig vor sich hin fließt. Mathematisch gesehen parametrisiert die Zeit die Bahnkurve.

## 1.2 Geschwindigkeit und Beschleunigung

Differential quotient oder Ableitung einer Funktion f(t):

$$\frac{df(t)}{dt} = \lim_{\Delta t \to 0} \frac{f(t + \Delta t) - f(t)}{\Delta t}$$

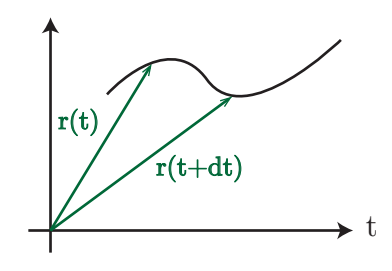
Geometrisch entspricht dies der Steigung am Punkt t. Die entsprechende Gerade ist die lineare Näherung für die Kurve.



Das gleiche Konzept kann auch auf vektorwertige Funktionen angewendet werden:

$$\frac{d\mathbf{r}(t)}{dt} = \lim_{\Delta t \to 0} \frac{\mathbf{r}(t + \Delta t) - \mathbf{r}(t)}{\Delta t}$$

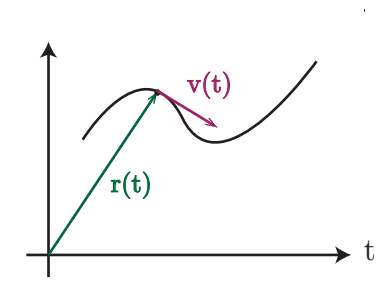
Die Ableitung erfolgt also komponentenweise.



Die Ableitung des Ortsvektors ist der Geschwindigkeitsvektor:

$$\frac{d\mathbf{r}(t)}{dt} = \dot{\mathbf{r}}(t) = \mathbf{v}(t)$$

Geometrisch handelt es sich um einen Tangentialvektor an die Bahnkurve. Die entsprechende Gerade ist die lineare Näherung.



Auch von dem Geschwindigkeitsvektor kann eine Ableitung gebildet werden:

$$\frac{d\mathbf{v}(t)}{dt} = \dot{\mathbf{v}} = \frac{d^2\mathbf{r}(t)}{dt^2} = \ddot{\mathbf{r}}(t) = \mathbf{a}(t) \; Beschleunigungsvektor$$

In der Klassischen Mechanik spielen höhere Ableitungen (glücklicherweise) keine Rolle. Die typische Fragestellung besteht darin, aus einer gegebenen Beschleunigung  $\mathbf{a}(t)$  die Bahnkurve  $\mathbf{r}(t)$  zu berechnen.

- $\rightarrow$  Wie kommt man von  $\mathbf{a}(t) = \ddot{\mathbf{r}}(t)$  zu  $\mathbf{r}(t)$  ?
- ⇒ Integration als Umkehrung der Differentation.

Bevor wir dazu kommen, wollen wir aber erst einmal die mathematischen Grundlagen für das Rechnen mit Vektoren vertiefen. Dazu kommen jetzt zwei mathematische Einschübe:

- →Vektoralgebra = algebraisches Rechnen mit Vektoren
- →Vektoranalysis = Infinitesimalrechnung mit Vektoren

## 1.3 Mathematischer Einschub 1: Vektoralgebra

Jeder Vektor (z.B. Ortsvektor) hat **Betrag** und **Richtung**. Physikalische Größen, die nur einen Betrag haben, heißen *Skalare* (z.B. Druck oder Temperatur).

$$\mathbf{a} = \begin{pmatrix} a_1 \\ a_2 \\ a_3 \end{pmatrix} \overset{\text{Länge nach}}{\underset{\text{Pythagoras}}{\Rightarrow}} |\mathbf{a}| = a = \sqrt{a_1^2 + a_2^2 + a_3^2}$$

Statt mit  $(a_1, a_2, a_3)$  kann der Vektor auch mit  $(a, \vartheta, \varphi)$  beschrieben werden, also mit dem Betrag und zwei Winkeln für die Richtung. Dabei wird  $\vartheta$  als *Polarwinkel* und  $\varphi$  als *Azimutalwinkel* bezeichnet.

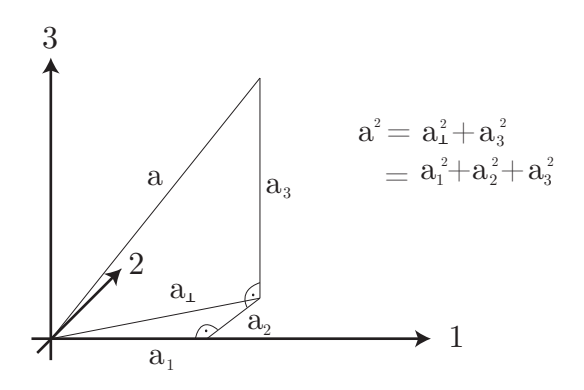


Abbildung 1.3: Länge eines Vektors nach Pythagoras

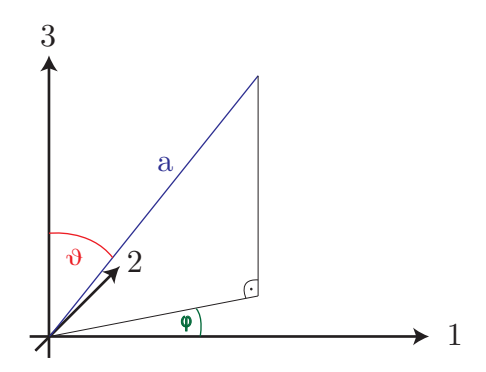


Abbildung 1.4: Kugelkoordinaten

$$\mathbf{a} = \begin{pmatrix} a \sin \vartheta \cos \varphi \\ a \sin \vartheta \sin \varphi \\ a \cos \vartheta \end{pmatrix} = \begin{pmatrix} a_1 \\ a_2 \\ a_3 \end{pmatrix} \qquad Kugelkoordinaten$$

Einheitsvektor aus a machen:

$$\hat{\mathbf{a}} = \frac{\mathbf{a}}{a} = \begin{pmatrix} \sin \vartheta \cos \varphi \\ \sin \vartheta \sin \varphi \\ \cos \vartheta \end{pmatrix}$$

Check: 
$$\hat{a}_1^2 + \hat{a}_2^2 + \hat{a}_3^2 = \sin^2\theta(\cos^2\varphi + \sin^2\varphi) + \cos^2\theta = \sin^2\theta + \cos^2\theta = 1$$

## Elementare Rechenregeln

Vektoren können addiert, subtrahiert und mit Skalaren multipliziert werden.

#### Addition

Die Vektoraddition ist kommutativ, d.h. es gilt:  $\mathbf{a} + \mathbf{b} = \mathbf{b} + \mathbf{a}$ Geometrisch betrachtet ergibt sich diese Eigenschaft aus der *Parallelogrammregel*.

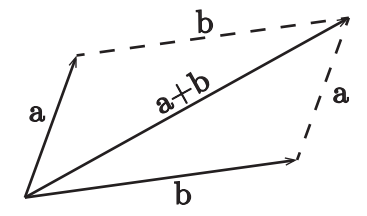


Abbildung 1.5: Addition von Vektoren

Algebraisch zeigt man dies komponentenweise:

$$\mathbf{a} + \mathbf{b} = \begin{pmatrix} a_1 \\ a_2 \\ a_3 \end{pmatrix} + \begin{pmatrix} b_1 \\ b_2 \\ b_3 \end{pmatrix} = \begin{pmatrix} a_1 + b_1 \\ a_2 + b_2 \\ a_3 + b_3 \end{pmatrix} = \begin{pmatrix} b_1 + a_1 \\ b_2 + a_2 \\ b_3 + a_3 \end{pmatrix} = \begin{pmatrix} b_1 \\ b_2 \\ b_3 \end{pmatrix} + \begin{pmatrix} a_1 \\ a_2 \\ a_3 \end{pmatrix} = \mathbf{b} + \mathbf{a}$$

Die Vektoraddition ist assoziativ, d.h. es gilt:  $(\mathbf{a} + \mathbf{b}) + \mathbf{c} = \mathbf{a} + (\mathbf{b} + \mathbf{c})$ 

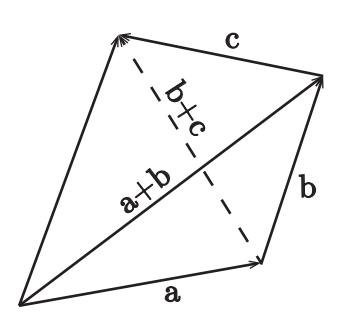


Abbildung 1.6: Assoziativität der Vektoraddition

Antiparalleler Vektor :  $-\mathbf{a}$ 

#### **Subtraktion**

Subtraktion eines Vektors **b** bedeutet Addition mit -**b**, d.h.:  $\mathbf{a} - \mathbf{b} = \mathbf{a} + (-\mathbf{b})$ 

**Mathematisch:** Die Gesamtheit der Vektoren bilden eine (kommutative) Gruppe (neutrales Element: Nullvektor **0**, inverses Element: antiparalleler Vektor **-a**).

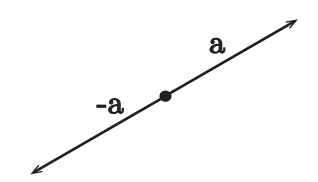


Abbildung 1.7: Antiparallele Vektoren

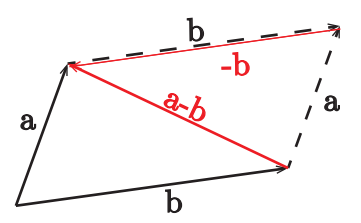


Abbildung 1.8: Subtraktion von Vektoren

#### Multiplikation

Zwischen Vektoren können Multiplikationen definiert werden:

- 1.  $\mathbf{a} \cdot \mathbf{b}$  inneres oder Skalarprodukt ( $dot \ product$ )
- 2.  $\mathbf{a} \times \mathbf{b}$  äußeres, Kreuz- oder Vektorprodukt ( $cross\ product$ )

(Außerdem:  $\mathbf{a} \otimes \mathbf{b}$  Tensorprodukt, wird vorerst nicht benötigt)

## Skalarprodukt

$$\mathbf{a} \cdot \mathbf{b} = a \cdot b \cdot \cos \vartheta$$

Das Skalarprodukt entspricht der Projektion der Vektoren aufeinander. andere Schreibweisen:  $(\mathbf{a}, \mathbf{b}), \langle \mathbf{a} | \mathbf{b} \rangle$ 

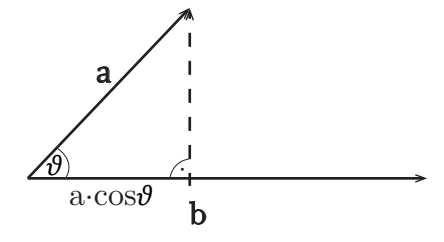


Abbildung 1.9: Veranschaulichung zum Skalarprodukt

Das Skalarprodukt ist distributiv:  $(\mathbf{a} + \mathbf{b}) \cdot \mathbf{c} = \mathbf{a} \cdot \mathbf{c} + \mathbf{b} \cdot \mathbf{c}$ Zwei endl. Vektoren mit verschwindendem Skalarprodukt sind orthogonal zuein-

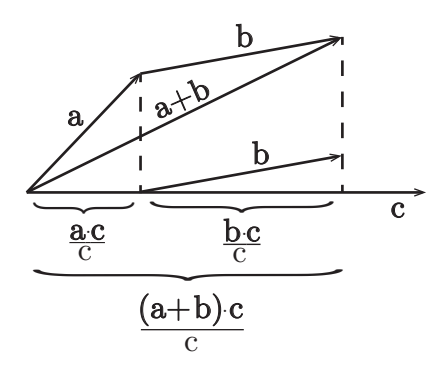


Abbildung 1.10: Distributivität des Skalarproduktes

ander, denn:

$$a \neq 0, b \neq 0, \mathbf{a} \cdot \mathbf{b} = 0 \implies \cos \vartheta = 0, \vartheta = \frac{\pi}{2}, \mathbf{a} \perp \mathbf{b}$$

Weiterhin gilt:

$$\mathbf{a} \parallel \mathbf{b} \Rightarrow \cos \vartheta = 1$$
  $\mathbf{a} \cdot \mathbf{a} = a^2 \Rightarrow \boxed{a = \sqrt{\mathbf{a} \cdot \mathbf{a}}}$ 

Mit dem Skalarprodukt kann man also Längen messen. Angewendet auf  $\mathbf{e}_i$ :

$$\mathbf{e}_{i}^{2} = 1,$$
  $\mathbf{e}_{i} \cdot \mathbf{e}_{j} = 0 \text{ für } i \neq j$ 

$$\Rightarrow \mathbf{e}_{i} \cdot \mathbf{e}_{j} = \delta_{ij} := \begin{cases} 1 & i = j \\ 0 & i \neq j \end{cases} \quad Kronecker-Symbol$$

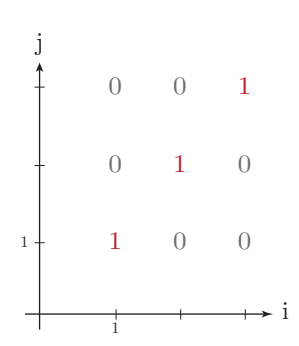


Abbildung 1.11: Veranschaulichung des Kronecker-Symbols

#### Berechnung des Skalarproduktes aus den Komponenten:

$$\mathbf{a} \cdot \mathbf{b} = (a_1 \mathbf{e}_1 + a_2 \mathbf{e}_2 + a_3 \mathbf{e}_3) \cdot (b_1 \mathbf{e}_1 + b_2 \mathbf{e}_2 + b_3 \mathbf{e}_3)$$

$$= a_1 b_1 \mathbf{e}_1 \cdot \mathbf{e}_1 + \dots \qquad (9 \text{ Terme})$$

$$= \boxed{a_1 b_1 + a_2 b_2 + a_3 b_3}$$

Eine etwas elegantere Variante zur Berechnung des Skalarprodukts ist folgende:

$$\mathbf{a} \cdot \mathbf{b} = (\sum_{i=1}^{3} a_i \mathbf{e}_i) \cdot (\sum_{j=1}^{3} b_j \mathbf{e}_j) = \sum_{i,j=1}^{3} a_i b_j \mathbf{e}_i \cdot \mathbf{e}_j$$
$$= \sum_{i,j=1}^{3} a_i b_j \delta_{ij} = \sum_{i=1}^{3} a_i b_i = a_1 b_1 + a_2 b_2 + a_3 b_3$$

**Anmerkung** Das Kronecker-Symbol macht aus der Doppelsumme eine Einfachsumme.

Mit dem Skalarprodukt kann man neben Längen auch Winkel messen:

$$\cos \vartheta = \frac{\mathbf{a} \cdot \mathbf{b}}{a \ b}$$

#### Vektorprodukt

Das Vektorprodukt ordnet zwei Vektoren einen dritten zu:  $\mathbf{c} = \mathbf{a} \times \mathbf{b}$ . Der neue Vektor ergibt sich aus zwei Regeln:

- 1.  $c = ab \sin \vartheta$  mit  $\vartheta = \sphericalangle(a,b)$ Der Betrag c entspricht dem Flächeninhalt des von **a** und **b** aufgespannten Parallelogramms.
- 2.  $\mathbf{c}$  steht senkrecht auf  $\mathbf{a}$  und  $\mathbf{b}$  und zwar so, dass  $(\mathbf{a}, \mathbf{b}, \mathbf{c})$  ein Rechtssystem bilden. Diese Regel macht nur in drei Dimensionen Sinn.

Das Vektorprodukt stellt einen Drehsinn dar.

Das Vektorprodukt ist nicht kommutativ (im Gegensatz zum Skalarprodukt):

$$\mathbf{a} \times \mathbf{b} = -\mathbf{b} \times \mathbf{a}$$

Zwei endl. Vektoren mit verschwindendem Vektorprodukt sind kollinear, denn:

$$a \neq 0, b \neq 0, \mathbf{a} \times \mathbf{b} = 0 \Rightarrow \sin \theta = 0, \theta = 0, \mathbf{a} \parallel \mathbf{b}$$

Das Vektorprodukt ist distributiv (wie SP):  $(\mathbf{a} + \mathbf{b}) \times \mathbf{c} = \mathbf{a} \times \mathbf{c} + \mathbf{b} \times \mathbf{c}$ 

Beweis: Wir zerlegen a und b bezüglich c:

Behauptung:  $\mathbf{a} \times \mathbf{c} = (\mathbf{a}_{\parallel} + \mathbf{a}_{\perp}) \times \mathbf{c} \stackrel{!}{=} \mathbf{a}_{\perp} \times \mathbf{c}$ 

Unterbeweis:

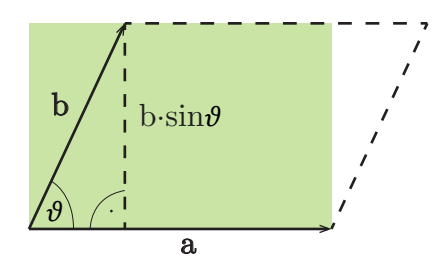


Abbildung 1.12: Veranschaulichung des Vektorproduktes

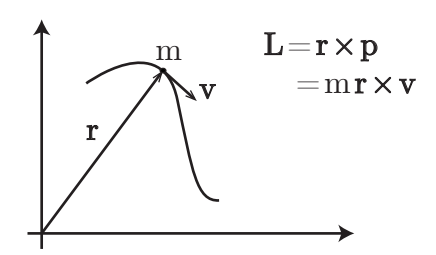


Abbildung 1.13: Physikalisches Beispiel: Drehimpuls L

- 1.  $|\mathbf{a}_{\perp} \times \mathbf{c}| = a_{\perp} \cdot c \cdot \sin \frac{\pi}{2} = a_{\perp} \cdot c = a \cdot \sin \vartheta \cdot c = |\mathbf{a} \times \mathbf{c}|$
- 2. Die Richtung von  $\mathbf{a} \times \mathbf{c}$  und  $\mathbf{a}_{\perp} \times \mathbf{c}$  stimmen überein.

Ohne Beschränkung der Allgemeinheit (O.B.d.A) nehmen wir an, dass  ${\bf a}$  und  ${\bf b}$  senkrecht zu  ${\bf c}$  stehen.

 $\Rightarrow$  Das Kreuzprodukt mit  $\mathbf{c}$  dreht die Richtungen aller drei Vektoren in der  $(\mathbf{a}, \mathbf{b})$ Ebene um 90 Grad. Teilung durch c bewirkt, dass die Längen unverändert bleiben.

$$\frac{1}{c}[(\mathbf{a} + \mathbf{b}) \times \mathbf{c}] = \frac{1}{c}[((\mathbf{a} \times \mathbf{c}) + (\mathbf{b} \times \mathbf{c})]$$

$$\Rightarrow (\mathbf{a} + \mathbf{b}) \times \mathbf{c} = ((\mathbf{a} \times \mathbf{c}) + (\mathbf{b} \times \mathbf{c})$$

$$q.e.d.$$

**Bemerkung** Der Beweis ist ähnlich wie beim Skalarprodukt, Projektion wird durch Rotation ersetzt.

Das Vektorprodukt ist nicht assoziativ:  $\mathbf{a} \times (\mathbf{b} \times \mathbf{c}) \neq (\mathbf{a} \times \mathbf{b}) \times \mathbf{c}$ 

#### Lineare Unabhängigkeit und ONS

Wenn zwei Vektoren parallel (*kollinear*) sind, dann gibt es reelle Zahlen  $\alpha, \beta \neq 0$ , so dass:  $\alpha \mathbf{a} + \beta \mathbf{b} = 0 \Rightarrow \mathbf{a}, \mathbf{b}$  sind *linear abhängig*.

**Allgemein:** n-Vektoren  $\mathbf{a}_1, \dots, \mathbf{a}_n$  heißen linear unabhängig, falls die Gleichung  $\sum_{i=1}^{n} \alpha_i \mathbf{a}_i = 0$  nur durch  $\alpha_1 = \dots = \alpha_n = 0$  erfüllt werden kann. Andernfalls nennt



Abbildung 1.14: Zerlegung von a bzgl. c

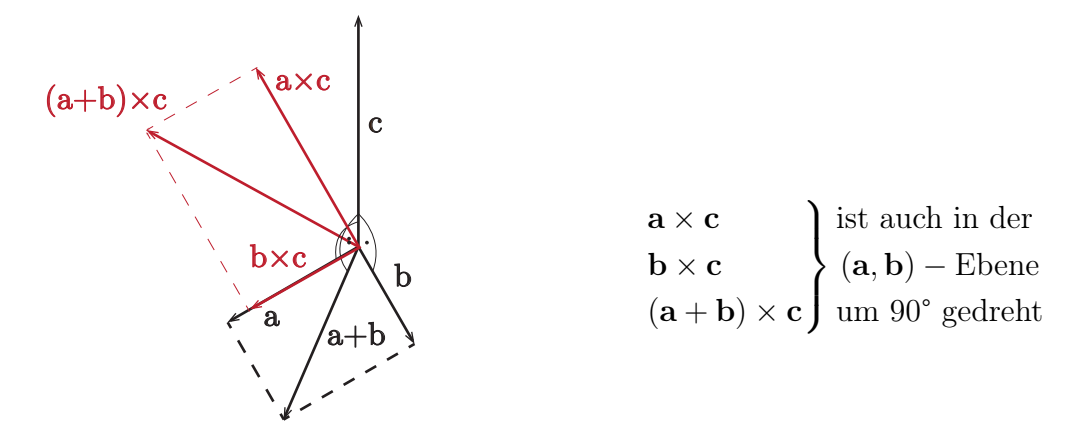


Abbildung 1.15: Veranschaulichung zum Beweis der Distributivität

man sie linear abhängig.

Die Dimension eines Vektorraums ist gleich der maximalen Anzahl linear unabhängiger Vektoren und höchstens so groß wie die Raumdimension. In einem n-dimensionalen Vektorraum bildet jede Menge von n linear unabhängigen Vektoren eine Basis, d.h. jeder beliebige Vektor kann als Linearkombination der Basisvektoren dargestellt werden. Normalerweise konstruiert man dafür ein Orthonormalsystem (ONS):  $\mathbf{e}_i \cdot \mathbf{e}_j = \delta_{ij}$ . Der gleiche Vektor kann in verschiedenen ONS dargestellt werden:

$$\mathbf{a} = \sum_{i=1}^{3} a_i \mathbf{e}_i = \sum_{j=1}^{3} \overline{a}_j \overline{\mathbf{e}}_j$$

Insbesondere gilt dies für die Einheitsvektoren selbst:

$$\overline{\mathbf{e}}_{j} = \sum_{k=1}^{3} d_{jk} \mathbf{e}_{k}$$

$$\Rightarrow \overline{\mathbf{e}}_{j} \cdot \mathbf{e}_{m} = \sum_{k=1}^{3} d_{jk} \mathbf{e}_{k} \cdot \mathbf{e}_{m} = d_{jm} = \mathbf{e}_{m} \cdot \overline{\mathbf{e}}_{j}$$

$$\Rightarrow \mathbf{a} \cdot \overline{\mathbf{e}}_{i} = \sum_{j=1}^{3} \overline{a}_{j} \overline{\mathbf{e}}_{j} \cdot \overline{\mathbf{e}}_{i} = \overline{a}_{i} = \sum_{k=1}^{3} a_{k} \mathbf{e}_{k} \cdot \overline{\mathbf{e}}_{i} = \boxed{\sum_{k=1}^{3} d_{ik} a_{k} = \overline{a}_{i}}$$

Für ONS gibt es also eine lineare Abbildung zwischen den Komponenten.  $D = (d_{ik})_{1 \leq i,j \leq 3}$  ist eine *Drehmatrix*.

#### Determinante

Die Determinante ordnet einer quadratischen Matrix einen Skalar zu.

Sei 
$$A := \begin{pmatrix} a_{11} & a_{12} & \dots & a_{1n} \\ a_{21} & a_{22} & \dots & a_{2n} \\ \vdots & \vdots & \ddots & \vdots \\ a_{n1} & a_{n2} & \dots & a_{nn} \end{pmatrix}$$

$$\Rightarrow \det A = \sum_{\text{Permutation P}} sign(P) \ a_{1P(1)} \cdot \dots \cdot a_{nP(n)}$$

Von einer Menge  $\{1, \ldots, n\}$  gibt es n! Permutationen.

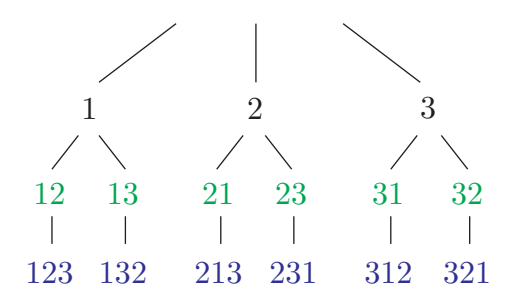


Abbildung 1.16: In n = 3 gibt es 3! = 6 Permutationen.

Für eine Matrix mit n=2 ergibt sich:

$$\det A = sign(12) a_{11} a_{22} + sign(21) a_{12} a_{21} = a_{11} a_{22} - a_{12} a_{21}$$

Für eine Matrix mit n=3 ergibt sich:

$$\det A = a_{11}(a_{22}a_{33} - a_{23}a_{32}) - a_{12}(a_{21}a_{33} - a_{23}a_{31}) + a_{13}(a_{21}a_{32} - a_{22}a_{31})$$

Dabei erkennt man in den Klammern wieder zweidimensionale Determinanten. Hier handelt es sich um die Entwicklung der dreidimensionalen Determinanten nach der ersten Reihe. Generell kann man nach jeder Reihe oder Spalte entwickeln und man wählt immer diejenige, die am meisten Nullen enthält.

#### Das Levi-Civita-Symbol

Für die kartesischen Basisvektoren haben wir

$$\mathbf{e}_1 \times \mathbf{e}_2 = \mathbf{e}_3, \ \mathbf{e}_2 \times \mathbf{e}_3 = \mathbf{e}_1, \ \mathbf{e}_3 \times \mathbf{e}_1 = \mathbf{e}_2$$

Außerdem gilt

$$\mathbf{e}_i \cdot \mathbf{e}_j = \delta_{ij}$$

Damit folgt

$$\mathbf{e}_{i} \cdot (\mathbf{e}_{j} \times \mathbf{e}_{k}) =: \varepsilon_{ijk} = \begin{cases} 1 & \text{falls } (i, j, k) \text{ zyklisch zu } (1, 2, 3) \\ -1 & \text{falls } (i, j, k) \text{ antizyklisch zu } (1, 2, 3) \\ 0 & \text{sonst} \end{cases}$$

Das Levi-Civita-Symbol  $\varepsilon_{ijk}$  ist der komplett antisymmetrische Tensor dritter Stu-

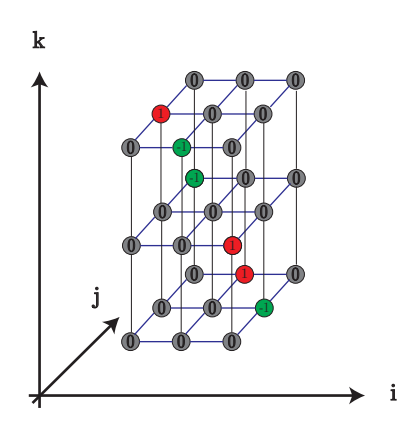


Abbildung 1.17: Veranschaulichung zum Levi-Civita-Symbol

fe. Es kann folgendermaßen durch Kronecker-Symbole ausgedrückt werden:

$$\varepsilon_{klm} = \delta_{k1} \left( \delta_{l2} \delta_{m3} - \delta_{l3} \delta_{m2} \right) + \delta_{k2} \left( \delta_{l3} \delta_{m1} - \delta_{l1} \delta_{m3} \right) + \delta_{k3} \left( \delta_{l1} \delta_{m2} - \delta_{l2} \delta_{m1} \right) \\
= \delta_{k1} \det \begin{pmatrix} \delta_{l2} & \delta_{l3} \\ \delta_{m2} & \delta_{m3} \end{pmatrix} + \delta_{k2} \det \begin{pmatrix} \delta_{l3} & \delta_{l1} \\ \delta_{m3} & \delta_{m1} \end{pmatrix} + \delta_{k3} \det \begin{pmatrix} \delta_{l1} & \delta_{l2} \\ \delta_{m1} & \delta_{m2} \end{pmatrix} \\
= \det \begin{pmatrix} \delta_{k1} & \delta_{k2} & \delta_{k3} \\ \delta_{l1} & \delta_{l2} & \delta_{l3} \\ \delta_{m1} & \delta_{m2} & \delta_{m3} \end{pmatrix}$$

Mit dem Levi-Civita-Symbol kann man jetzt schreiben:

$$\mathbf{e}_i \times \mathbf{e}_j = \sum_{k=1}^3 \varepsilon_{ijk} \, \mathbf{e}_k$$

Die Determinante einer  $3 \times 3$  Matrix kann unter Verwendung des Levi-Civita Symbols folgendermassen geschrieben werden:

$$\det A = \sum_{ijk} \varepsilon_{ijk} \, a_{1i} \, a_{2j} \, a_{3k}$$

Berechnung des Vektorproduktes mit Hilfe des Levi-Civita-Symbols Für das Kreuzprodukt ergibt sich jetzt:

$$\mathbf{c} = \mathbf{a} \times \mathbf{b} = (\sum_{i=1}^{3} a_i \, \mathbf{e}_i) \times (\sum_{j=1}^{3} b_j \mathbf{e}_j) = \sum_{i,j=1}^{3} a_i \, b_j \, \mathbf{e}_i \times \mathbf{e}_j = \sum_{i,j,k=1}^{3} a_i \, b_j \, \varepsilon_{ijk} \, \mathbf{e}_k$$
$$= \sum_{k=1}^{3} c_k \, \mathbf{e}_k$$
$$\Rightarrow \boxed{c_k = \sum_{i,j=1}^{3} \varepsilon_{ijk} \, a_i b_j}$$

Ausschreiben in die einzelnen Komponenten ergibt somit:

$$c_1 = a_2b_3 - a_3b_2$$

$$c_2 = a_3b_1 - a_1b_3$$

$$c_3 = a_1b_2 - a_2b_1$$

$$\Rightarrow \mathbf{a} \times \mathbf{b} = \sum_{i,j,k=1}^3 \varepsilon_{ijk} a_i b_j \mathbf{e}_k = \det \begin{pmatrix} \mathbf{e}_1 & \mathbf{e}_2 & \mathbf{e}_3 \\ a_1 & a_2 & a_3 \\ b_1 & b_2 & b_3 \end{pmatrix}$$

Abbildung 1.18: Merkregel zur Berechnung des Vektorproduktes

#### Höhere Vektorprodukte

Doppelkreuzprodukt : 
$$(\mathbf{a} \times \mathbf{b}) \times \mathbf{c}$$
  
Spatprodukt :  $(\mathbf{a} \times \mathbf{b}) \cdot \mathbf{c}$ 

Der Betrag des Spatproduktes ist das Volumen des Parallelepipeds, das von  $\mathbf{a}, \mathbf{b}$  und  $\mathbf{c}$  aufgespannt wird. Vorzeichen:  $+ \to \text{Rechtssystem}, - \to \text{Linkssystem}$ .

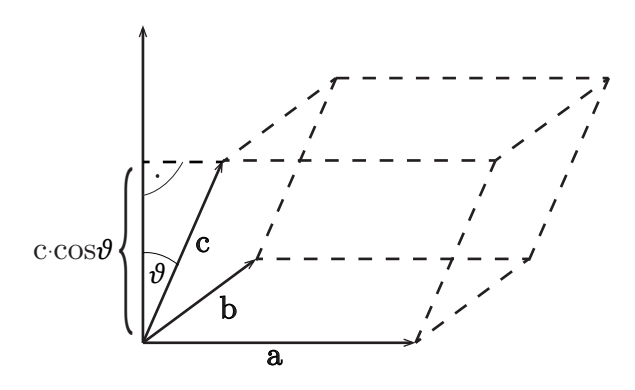


Abbildung 1.19: Spatprodukt als Volumen eines Parallelepipeds

Folgende Beziehungen lassen sich beweisen:

$$\mathbf{a} \cdot (\mathbf{b} \times \mathbf{c}) = \sum_{i,j,k} \varepsilon_{ijk} \, a_i \, b_j \, c_k = \det \begin{pmatrix} a_1 & a_2 & a_3 \\ b_1 & b_2 & b_3 \\ c_1 & c_2 & c_3 \end{pmatrix}$$
$$\mathbf{a} \times (\mathbf{b} \times \mathbf{c}) = \mathbf{b}(\mathbf{a} \cdot \mathbf{c}) - \mathbf{c}(\mathbf{a} \cdot \mathbf{b})$$

Die letzte Beziehung ist als Entwicklungssatz oder BAC-CAB-Regel bekannt.

#### Tensoren

Bisher wurden Skalare, Vektoren und Matrizen unterschieden. Tatsächlich lassen sich diese Begriffe vereinheitlichen.

**Definition:** Ein *Tensor* ist eine multilineare Abbildung, die invariant unter Drehungen und Drehspiegelungen ist. Ein Tensor n-ter Stufe im  $\mathbb{R}^3$  ist eine indizierte Größe mit n Indizes. Er hat also  $3^n$  Komponenten.

Tensor 0. Stufe  $\rightarrow$  Skalar Tensor 1. Stufe  $\rightarrow$  Vektor Tensor 2. Stufe  $\rightarrow$  Matrix

Ein Tensor 2. Stufe ist also mehr als eine Matrix  $\underline{\underline{T}}$  mit Komponenten  $t_{ij}$ . Die lineare Abbildung  $\mathbf{b} = \underline{\underline{T}}\mathbf{a}$  muss invariant sein unter einer Drehung, die durch die Drehmatrix  $\underline{\underline{R}}$  beschrieben wird. Die führt auf die Bedingung  $\underline{\underline{T}}' = \underline{\underline{RTR}}^{-1}$ . Ein einfaches Beispiel ist das direkte Produkt zweier Vektoren definiert durch

$$t_{ij} = a_i b_j \implies \underline{\underline{\mathbf{T}}} = \mathbf{a} \otimes \mathbf{b} = \begin{pmatrix} a_1 b_1 & a_1 b_2 & a_1 b_3 \\ a_2 b_1 & a_2 b_2 & a_2 b_3 \\ a_3 b_1 & a_3 b_2 & a_3 b_3 \end{pmatrix}$$

Zusätzlich zu  $\mathbf{a} \cdot \mathbf{b}$  (Skalarprodukt) und  $\mathbf{a} \times \mathbf{b}$  (Vektorprodukt) haben wir also noch  $\underline{\underline{T}} = \mathbf{a} \otimes \mathbf{b}$  (direktes Produkt) als mögliche Verknüpfung zweier Vektoren. Dabei entsteht jeweils ein Tensor anderer Stufe. Andere Beispiele für Tensoren:

 $\delta_{ij} \quad \text{Tensor 2.Stufe}$   $\varepsilon_{ijk} \quad \text{Tensor 3.Stufe}$   $\sum_{k} \varepsilon_{ijk} \varepsilon_{lmk} \quad \text{Tensor 4.Stufe, durch } \textit{Verjüngung eines Tensors 6. Stufe gewonnen}$ 

In der Physik gibt es viele Tensoren, wichtige Beispiele sind der Trägheitstensor in der Klassischen Mechanik und der Spannungstensor in der Elastizitätstheorie.

## 1.4 Mathematischer Einschub 2: Vektoranalysis

Verschiedene Trajektorien  $\mathbf{r}(t)$  können zur gleichen Raumkurve führen.

Raumkurve = Menge aller Punkte  $\{\mathbf{r}(t)|t_1 \leq t \leq t_2\}$ 

Die vektorwerige Funktion  $\mathbf{r}(t)$  ist nur eine mögliche *Parametrisierung* der Raumkurve. Die gleiche Raumkurve könnte auch doppelt so schnell oder in umgekehrter Richtung durchlaufen werden.

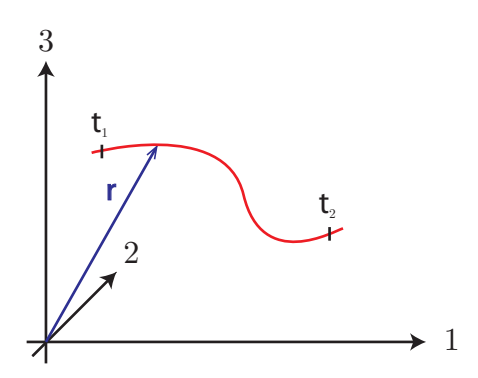


Abbildung 1.20: Veranschaulichung einer Raumkurve

#### Beispiele für Raumkurven

#### 1) Kreisbewegung in der x-y Ebene

Die Funktion

$$\mathbf{r}(t) = \begin{pmatrix} R\cos\varphi\\R\sin\varphi\\0 \end{pmatrix} \stackrel{\varphi=\omega t}{=} \begin{pmatrix} R\cos\omega t\\R\sin\omega t\\0 \end{pmatrix}$$

ist eine mögliche Parametrisierung der Kreisbewegung. Der Umlauf eines Kreises

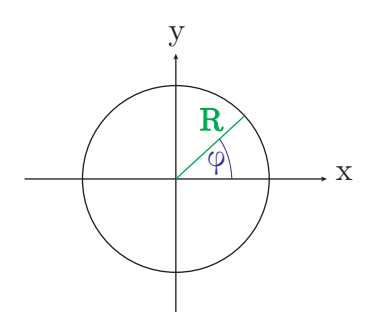


Abbildung 1.21: Raumkurve einer Kreisbewegung

beträgt  $2\pi$  und es gilt:

$$2\pi = \omega T \Leftrightarrow \omega = \frac{2\pi}{T}$$

$$\begin{bmatrix} T & \text{Periode} \\ \omega & \text{Kreisfrequenz} \end{bmatrix}$$

$$\frac{d\mathbf{r}}{dt} = \dot{\mathbf{r}} = R\omega \begin{pmatrix} -\sin \omega t \\ \cos \omega t \\ 0 \end{pmatrix} \Rightarrow v = \left| \frac{d\mathbf{r}}{dt} \right| = R\omega$$

#### 2) Schraubenlinie

$$\mathbf{r}(t) = \begin{pmatrix} R\cos\omega t \\ R\sin\omega t \\ bt \end{pmatrix} \qquad \begin{bmatrix} b & \text{Geschwindigkeit in } z\text{-Richtung} \\ z_0 = b\frac{2\pi}{\omega} & \text{Gangh\"{o}he} \end{bmatrix}$$

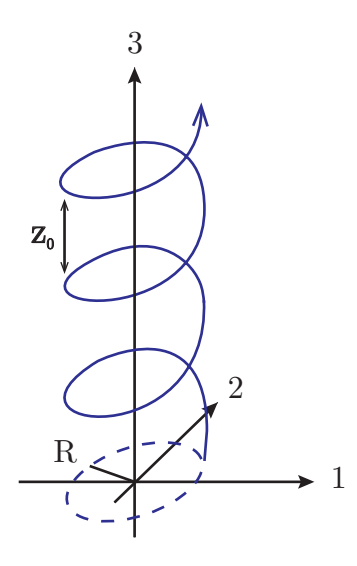


Abbildung 1.22: Raumkurve einer Schraubenlinie

$$\frac{d\mathbf{r}}{dt} = \dot{\mathbf{r}} = \begin{pmatrix} -R\omega\sin\omega t \\ R\omega\cos\omega t \\ b \end{pmatrix} \Rightarrow v = \sqrt{R^2\omega^2 + b^2} > R\omega$$

### Bogenlänge

Was ist die Länge L einer Raumkurve (Bogenlänge)? Sie sollte auf jeden Fall unabhängig von der gewählten Parametrisierung sein! Wir zerlegen das Intervall  $[t_0, t_n]$  in n Teilintervalle der Länge  $\Delta t = \frac{t_n - t_0}{n} \Rightarrow t_i = t_0 + i \cdot \Delta t$ 

Approximation durch Polygonzug:

$$L = \sum_{i=1}^{n} |\mathbf{r}(t_i) - \mathbf{r}(t_{i-1})| = \sum_{i=1}^{n} \left| \frac{\mathbf{r}(t_i) - \mathbf{r}(t_{i-1})}{\Delta t} \right| \Delta t \xrightarrow[\Delta t \to 0]{n \to \infty} \int_{t_0}^{t_n} dt \left| \frac{d\mathbf{r}(t)}{dt} \right|$$

Invarianz unter Umparametrisierung: neue Parametrisierung durch u

$$t = t(u) \Rightarrow L = \int dt \left| \frac{d\mathbf{r}}{dt} \right| = \int dt \left| \frac{d\mathbf{r}}{du} \right| \left| \frac{du}{dt} \right| \stackrel{Substitutions-}{\underset{regel}{=}} \int du \left| \frac{d\mathbf{r}}{du} \right| \checkmark$$

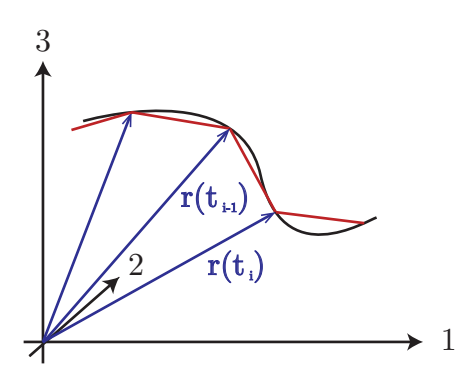


Abbildung 1.23: Approximation einer Raumkurve

Bogenlänge als Funktion der Zeit:

$$s(t) = \int_{t_0}^{t} dt' \left| \frac{d\mathbf{r}(t')}{dt'} \right|$$

$$\Rightarrow \frac{ds}{dt} = \left| \frac{d\mathbf{r}(t)}{dt} \right| > 0$$
 bei Bewegung: Bogenlänge wächst monoton

 $\Rightarrow$  Umkehr ist eindeutig, t = t(s)

 $\Rightarrow$  Parametrisierung nach der Bogenlänge oder natürliche Parametrisierung  $\mathbf{r}(t) \to \mathbf{r}(t(s)) = \mathbf{r}(s)$ 

#### Beispiele

#### 1. Kreisbewegung

$$v = R \cdot \omega = \frac{ds}{dt} \implies s = R \omega t \implies t = \frac{s}{R\omega}$$

$$\implies \mathbf{r}(s) = R \begin{pmatrix} \cos \frac{s}{R} \\ \sin \frac{s}{R} \\ 0 \end{pmatrix}$$

Ein Umlauf entspricht  $s = 2\pi R$ , also genau dem Umfang.

#### 2. Schraubenlinie

$$v = \sqrt{R^2 \omega^2 + b^2} = \frac{ds}{dt} = const.$$

$$\Rightarrow s = v \cdot t \Rightarrow \mathbf{r} = \begin{pmatrix} R \cos \frac{\omega s}{v} \\ R \sin \frac{\omega s}{v} \\ \frac{bs}{v} \end{pmatrix}$$

## Begleitendes Dreibein

Auch das Koordinatensystem kann auf die Bahnkurve bezogen werden: begleitendes Dreibein = ONS, das mit dem Massenpunkt mitwandert

 $\hat{\mathbf{t}}$  Tangentialeinheitsvektor

**n** Normaleneinheitsvektor

 $\hat{\mathbf{b}} = \hat{\mathbf{t}} \times \hat{\mathbf{n}}$  Binormaleneinheitsvektor

 $\Rightarrow$  Rechtssystem,  $(\hat{\mathbf{t}}, \hat{\mathbf{n}}, \hat{\mathbf{b}})$  sind Funktionen der Bogenlänge s. Regeln für die

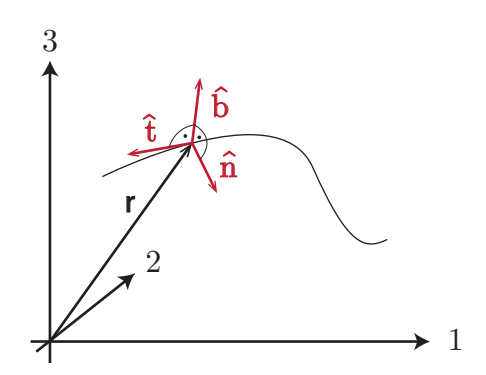


Abbildung 1.24: begleitendes Dreibein

Ableitung von zeitabhängigen Vektoren:

$$\frac{d}{dt} \big[ f(t) \mathbf{a}(t) \big] = \dot{f}(t) \mathbf{a}(t) + f(t) \dot{\mathbf{a}}(t)$$

$$\frac{d}{dt} [\mathbf{a}(t) \cdot \mathbf{b}(t)] = \dot{\mathbf{a}}(t) \cdot \mathbf{b}(t) + \mathbf{a}(t) \cdot \dot{\mathbf{b}}(t)$$

$$\frac{d}{dt} [\mathbf{a}(t) \times \mathbf{b}(t)] = \dot{\mathbf{a}}(t) \times \mathbf{b}(t) + \mathbf{a}(t) \times \dot{\mathbf{b}}(t)$$

Die Beweise erfolgen komponentenweise.

**Beispiel** Einheitsvektor  $\mathbf{e}(t)$ 

$$\mathbf{e}(t)^2 = \mathbf{e}(t) \cdot \mathbf{e}(t) = 1$$
  

$$\Rightarrow 0 = 2 \dot{\mathbf{e}}(t) \cdot \mathbf{e}(t)$$
  

$$\Rightarrow \dot{\mathbf{e}}(t) \perp \mathbf{e}(t)$$

#### Definition Tangentialeinheitsvektor

$$\hat{\mathbf{t}} = \frac{\frac{d\mathbf{r}}{dt}}{\left|\frac{d\mathbf{r}}{dt}\right|} = \frac{\dot{\mathbf{r}}}{\frac{ds}{dt}}$$

Bei Parametrisierung durch die Bogenlänge:  $\mathbf{r} = \mathbf{r}(s(t))$ 

$$\hat{\mathbf{t}} = \frac{\frac{d\mathbf{r}}{ds} \frac{d\mathbf{s}}{dt}}{\frac{ds}{dt}} = \frac{d\mathbf{r}}{ds}$$
 ist automatisch normiert

Im allgemeinen Fall ändert  $\hat{\mathbf{t}}(s)$  seine Richtung:

$$\left|\frac{d\hat{\mathbf{t}}(s)}{ds}\right|=:\kappa(s) \qquad \textit{Kr\"{u}mmung}, \qquad \rho:=\frac{1}{\kappa} \quad \textit{Kr\"{u}mmungsradius}$$

#### Beispiele

#### 1. Kreisbewegung

$$\hat{\mathbf{t}} = \frac{d\mathbf{r}}{ds} = \begin{pmatrix} -\sin(\frac{S}{R}) \\ \cos(\frac{S}{R}) \\ 0 \end{pmatrix} \Rightarrow \frac{d\hat{\mathbf{t}}}{ds} = \frac{1}{R} \begin{pmatrix} -\cos(\frac{S}{R}) \\ -\sin(\frac{S}{R}) \\ 0 \end{pmatrix}$$

$$\Rightarrow \kappa = \left| \frac{d\hat{\mathbf{t}}}{ds} \right| = \frac{1}{R}, \qquad \rho = R \qquad \text{(hängt nicht von } s \text{ ab)}$$

#### 2. Schraubenlinie

$$\hat{\mathbf{t}} = \begin{pmatrix} -\frac{R\omega}{v} \sin(\frac{\omega s}{v}) \\ \frac{R\omega}{v} \cos(\frac{\omega s}{v}) \\ \frac{b}{v} \end{pmatrix} \qquad v = \sqrt{R^2 \omega^2 + b^2}$$

$$\ddot{\mathbf{U}}$$

$$\ddot{\mathbf{U}}$$

$$\ddot{\mathbf{b}} = \hat{\mathbf{t}} \cdot \hat{\mathbf{b}} \cdot \hat{\mathbf{b}}$$

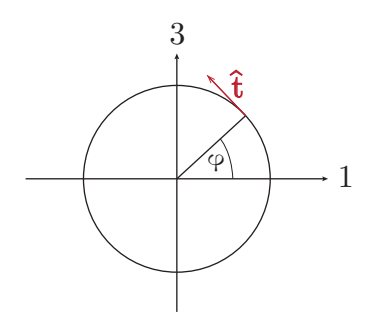


Abbildung 1.25: Veranschaulichung des Tangentialeinheitsvektors

$$\frac{d\hat{\mathbf{t}}}{ds} = \begin{pmatrix} -\frac{R\omega^2}{v^2} \cos(\frac{\omega s}{v}) \\ -\frac{R\omega^2}{v^2} \sin(\frac{\omega s}{v}) \\ 0 \end{pmatrix}$$

$$\Rightarrow \kappa = \frac{R\omega^2}{v^2} = \frac{R\omega^2}{R^2\omega^2 + b^2} = \frac{1}{R + \frac{b^2}{R\omega^2}} < \frac{1}{R}$$

$$\rho = R + \frac{b^2}{R\omega^2} > R \quad \text{für } b \neq 0$$

Die Krümmung der Schraubenlinie ist kleiner als beim Kreis (der Krümmungsradius ist größer), weil die Bahnkurve gestreckt wurde.

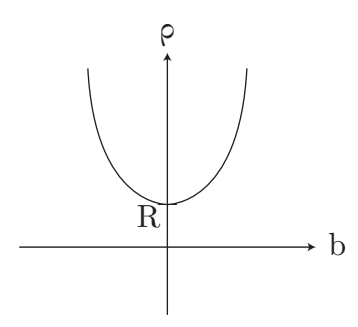


Abbildung 1.26: Krümmungsradius einer Schraubenlinie

#### **Definition Normaleneinheitsvektor**

$$\hat{\mathbf{n}} = \frac{\frac{d\hat{\mathbf{t}}}{ds}}{\left|\frac{d\hat{\mathbf{t}}}{ds}\right|} = \rho \frac{d\hat{\mathbf{t}}}{ds} \Rightarrow \frac{d\hat{\mathbf{t}}}{ds} = \kappa \hat{\mathbf{n}}$$

Die von  $\hat{\mathbf{t}}$  und  $\hat{\mathbf{n}}$  aufgespannte Ebene heißt *Schmiegeebene*. Erfolgt die Bewegung in einer festen Ebene, dann ist dies die Schmiegeebene. Im allgemeinen Fall dreht sich das Dreibein aus der Schmiegeebene heraus. Dann ändert sich auch der Binormaleneinheitsvektor.

$$\hat{\mathbf{b}} = \hat{\mathbf{t}} \times \hat{\mathbf{n}} \Rightarrow \frac{d\hat{\mathbf{b}}}{ds} = \frac{d\hat{\mathbf{t}}}{ds} \times \hat{\mathbf{n}} + \hat{\mathbf{t}} \times \frac{d\hat{\mathbf{n}}}{ds} \Rightarrow \frac{d\hat{\mathbf{b}}}{ds} \perp \hat{\mathbf{t}}$$

Außerdem gilt:

$$\frac{d\hat{\mathbf{b}}}{ds} \perp \hat{\mathbf{b}} \Rightarrow \frac{d\hat{\mathbf{b}}}{ds} = -\tau \cdot \hat{\mathbf{n}} \qquad (\text{da ONS})$$

au Torsion oder Windung  $\sigma = \frac{1}{\tau}$  Torsionsradius

Bewegungsgleichungen für das Dreibein:

$$\boxed{\frac{d\hat{\mathbf{t}}}{ds} = \kappa \hat{\mathbf{n}}}, \qquad \boxed{\frac{d\hat{\mathbf{b}}}{ds} = -\tau \hat{\mathbf{n}}}$$

Was ist mit  $\frac{d\hat{\mathbf{n}}}{ds}$ ?

$$\begin{split} \hat{\mathbf{b}} \times \hat{\mathbf{t}} &= -\hat{\mathbf{t}} \times \hat{\mathbf{b}} = -\hat{\mathbf{t}} \times (\hat{\mathbf{t}} \times \hat{\mathbf{n}}) \stackrel{Entwicklungs-}{\underset{satz}{=}} - (\hat{\mathbf{t}}(\hat{\mathbf{t}} \cdot \hat{\mathbf{n}}) - \hat{\mathbf{n}}(\hat{\mathbf{t}} \cdot \hat{\mathbf{t}})) \\ &= \hat{\mathbf{n}} \\ \Rightarrow \frac{d\hat{\mathbf{n}}}{ds} &= \frac{d\hat{\mathbf{b}}}{ds} \times \hat{\mathbf{t}} + \hat{\mathbf{b}} \times \frac{d\hat{\mathbf{t}}}{ds} = -\tau (\hat{\mathbf{n}} \times \hat{\mathbf{t}}) + \kappa (\hat{\mathbf{b}} \times \hat{\mathbf{n}}) \\ \Rightarrow \boxed{\frac{d\hat{\mathbf{n}}}{ds} = \tau \hat{\mathbf{b}} - \kappa \hat{\mathbf{t}}} \end{split}$$
Frenet'sche Formeln

Allgemeine Formeln (ohne Beweis):

$$\kappa = \frac{|\dot{\mathbf{r}} \times \ddot{\mathbf{r}}|}{|\dot{\mathbf{r}}|^3}, \qquad \tau = \frac{\det(\dot{\mathbf{r}}, \ddot{\mathbf{r}}, \ \ddot{\mathbf{r}})}{|\dot{\mathbf{r}} \times \ddot{\mathbf{r}}|^2}$$

Bei Parametrisierung nach der Bogenlänge ergibt sich:

$$\kappa = |\ddot{\mathbf{r}}|, \qquad \tau = \frac{\det(\dot{\mathbf{r}}, \ddot{\mathbf{r}}, \ddot{\mathbf{r}})}{\kappa^2}$$

Ohne Beweis: Krümmung und Torsion sind invariant unter orientierungserhaltender Umparametrisierung. Bei einer orientierungsumkehrenden Umparametrisierung bleibt  $\kappa$  gleich und  $\tau$  ändert sein Vorzeichen.

#### Beispiele

1. Kreisbewegung  $\hat{\mathbf{b}} = \mathbf{e}_3$ 

$$\Rightarrow \frac{d\hat{\mathbf{b}}}{ds} = 0 \Rightarrow \tau = 0$$

2. Schraubenlinie

Normalenvektor 
$$\hat{\mathbf{n}} = \begin{pmatrix} -\cos(\frac{\omega s}{v}) \\ -\sin(\frac{\omega s}{v}) \\ 0 \end{pmatrix}$$
 (wie bei Kreisbewegung)

Binormalenvektor  $\hat{\mathbf{b}} = \begin{pmatrix} \frac{b}{v}\sin(\frac{\omega s}{v}) \\ -\frac{b}{v}\cos(\frac{\omega s}{v}) \\ -\frac{b}{v}\cos(\frac{\omega s}{v}) \end{pmatrix} \neq \mathbf{e}_3$  für  $b \neq 0$ 

Torsion  $\tau = \frac{b\omega}{v^2} = \frac{b\omega}{R^2\omega^2 + b^2} \stackrel{b\to 0}{\to} 0$ 

- 3. Geradlinige Bewegung:  $\kappa = \tau = 0$
- 4. Wurfparabel:  $\tau = 0$
- 5. Elliptische Schraubenlinie:

$$\mathbf{r} = \begin{pmatrix} a_1 \cos(\omega t) \\ a_2 \sin(\omega t) \\ bt \end{pmatrix}$$

6. Zykloide

$$r(\varphi) = \begin{pmatrix} R\varphi + R\sin\varphi\\ R + R\cos\varphi\\ 0 \end{pmatrix} = R \begin{pmatrix} \varphi + \sin\varphi\\ 1 + \cos\varphi\\ 0 \end{pmatrix}$$

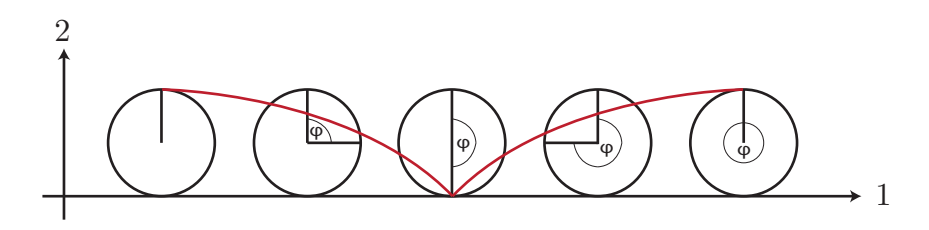


Abbildung 1.27: Zykloide

7. Gekrümmte Schraubenlinie: Bewegung auf der Oberfläche eines Torus

$$\mathbf{r}(\varphi, \vartheta) = \begin{pmatrix} (a + R\cos\vartheta)\cos\varphi\\ (a + R\cos\vartheta)\sin\varphi\\ R\sin\vartheta \end{pmatrix}$$

z.Bsp:  $\varphi = \omega_1 t$ ,  $\vartheta = \omega_2 t$ 

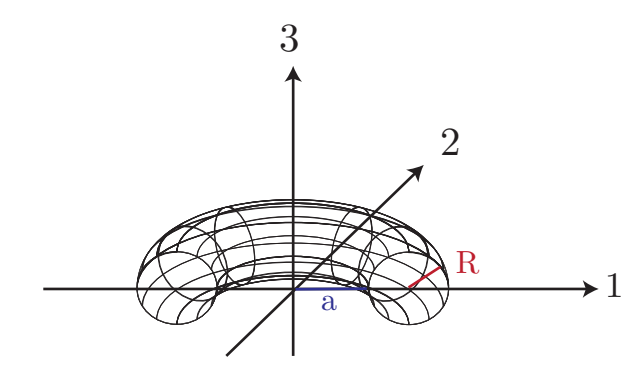


Abbildung 1.28: Torus

## Exkurs: Anwendungen von Raumkurven außerhalb der Klassischen Mechanik

1. Polymerphysik

Polymere sind Kettenmoleküle, z.Bsp. Polyethylen (PE)  $\begin{bmatrix} H & H \\ | & | \\ -C - C - \\ | & | \\ H & H \end{bmatrix}_n$ Bogenlänge L = Länge des Polymers



Abbildung 1.29: Polymer als Kette

Energie des Polymers: Funktion von  $L, \kappa, \tau$ 

Wichtigstes Modell in der Polymerphysik: semiflexible Kette

$$\mathcal{H} = \frac{k}{2} \int_0^L ds \, \kappa(s)^2 = \frac{k}{2} \int_0^L ds \, (\frac{d\hat{\mathbf{t}}}{ds})^2 \quad \text{(Kratky und Porod '49)}$$

k Biegesteifigkeit (elastische Konstante)

 $|\hat{\mathbf{t}}| = 1$  Parametrisierung nach der Bogenlänge (L = const)

#### 2. Superstringtheorie

Dimension 
$$d = 1$$
 (Zeit) + 9 (Raum) = 10

Jedes Teilchen ist ein eindimensionales Objekt im Raum (String). Strings

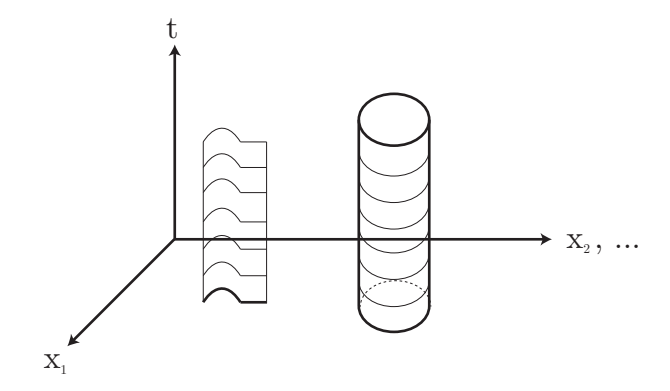


Abbildung 1.30: Weltflächen in der Stringtheorie.

können offen oder geschlossen sein.

$$S = -\frac{T_0}{c} \int d\tau \, ds \sqrt{-\gamma} \qquad \text{mit} \quad \begin{bmatrix} S & \textit{Wirkung} \text{ (skalare Gr\"oße)} \\ \tau & \text{Zeit} \\ s & \text{Bogenl\"ange} \\ T_0 & \text{Spannung} \\ c & \text{Lichtgeschwindigkeit} \\ \gamma & \text{Metrik} \end{bmatrix}$$

Hierbei handelt es sich um ein Integral über Weltflächen.

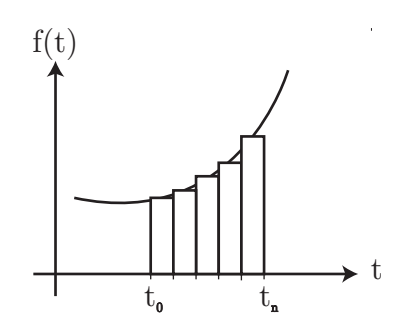
## 1.5 Von Beschleunigung zu Bahnkurve

Da die Beschleunigung als die zweifache Ableitung der Bahnkurve folgt, muss die Umkehrung eine zweifache Integration sein.

**Integral** einer Funktion f(t):

$$\int_{t_0}^{t_n} f(t) dt = \lim_{n \to \infty} \sum_{i=1}^n \triangle t f(\frac{t_{i-1} + t_i}{2})$$

Geometrisch handelt es sich um den Flächeninhalt unter der Kurve.



Beziehung zur Ableitung:

$$\frac{d}{dt} \int_{t_0}^t dt' f(t') = f(t)$$

$$\int_{t_0}^{t_n} \frac{df(t)}{dt} dt = f(t_n) - f(t_0)$$
Hauptsatz der Differential-
und Integralrechnung

Die Übertragung auf vektorwertige Funktionen erfolgt wieder komponentenweise:

$$\int_{t_0}^{t_n} \mathbf{r}(t)dt = \begin{pmatrix} \int_{t_0}^{t_n} x_1(t) \ dt \\ \int_{t_0}^{t_n} x_2(t) \ dt \\ \int_{t_0}^{t_n} x_3(t) \ dt \end{pmatrix}$$

Für einen Massenpunkt haben wir also:

1. Ortsvektor

$$\mathbf{r}(t) = \sum_{i=1}^{3} x_i(t) \, \mathbf{e}_i$$

2. Geschwindigkeitsvektor

$$\mathbf{v}(t) = \sum_{i=1}^{3} \dot{x}_i(t) \, \mathbf{e}_i$$

3. Beschleunigungsvektor

$$\mathbf{a}(t) = \sum_{i=1}^{3} \ddot{x}_i(t) \, \mathbf{e}_i$$

Um den Beschleunigungsvektor (komponentenweise) integrieren zu können, benötigen wir noch Anfangsbedingungen:

$$\mathbf{v}(t_0) = \text{const.} = \mathbf{v}_0, \quad \mathbf{r}(t_0) = \text{const.} = \mathbf{r}_0$$

Gegeben:  $\mathbf{a}(t)$ 

$$\Rightarrow \mathbf{v}(t) = \mathbf{v}_0 + \int_{t_0}^t dt'' \, \mathbf{a}(t'')$$

$$\Rightarrow \left[ \mathbf{r}(t) = \mathbf{r}_0 + \mathbf{v}_0(t - t_0) + \int_{t_0}^t dt' \, \left[ \int_{t_0}^{t'} dt'' \, a(t'') \right] \right]$$

Die Richtigkeit dieser Formel kann durch Ableitung überprüft werden:

$$\dot{\mathbf{r}}(t) = \mathbf{v}_0 + \int_{t_0}^t dt'' \, \mathbf{a}(t'')$$

$$\ddot{\mathbf{r}}(t) = \mathbf{a}(t)$$

Auch die Anfangsbedingungen stimmen:

$$\mathbf{r}(t_0) = \mathbf{r}_0, \quad \dot{\mathbf{r}}(t_0) = \mathbf{v}(t_0) = v_0 \qquad \checkmark$$

#### Beispiele

1. verschwindende Beschleunigung: a(t) = 0

$$\Rightarrow \mathbf{v}(t) = \mathbf{v}_0$$
  
\Rightarrow \mathbf{r}(t) = \mathbf{r}\_0 + \mathbf{v}\_0(t - t\_0)

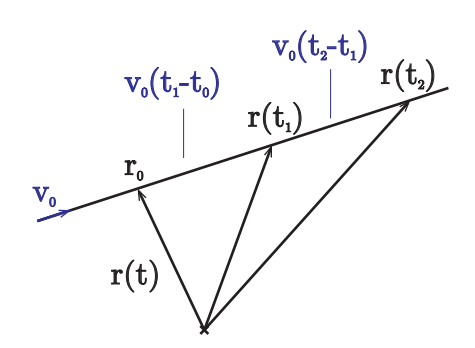


Abbildung 1.31: geradlinige Bewegung

geradlinig: in Richtung von  $\mathbf{v}_0$ 

gleichförmig: in gleichen Intervallen werden gleiche Strecken zurückgelegt.

Beispiel: Raumschiff

#### 2. konstante Beschleunigung: $\mathbf{a}(t) = \mathbf{a}_0$

$$\Rightarrow \mathbf{v}(t) = \mathbf{v}_0 + \mathbf{a}_0(t - t_0)$$

$$\Rightarrow \mathbf{r}(t) = \mathbf{r}_0 + \mathbf{v}_0(t - t_0) + \int_{t_0}^t dt' \, \mathbf{a}_0(t' - t_0)$$

$$= \mathbf{r}_0 + \mathbf{v}_0(t - t_0) + \mathbf{a}_0(\frac{1}{2}t^2 - \frac{1}{2}t_0^2 - (t - t_0)t_0)$$

$$= \mathbf{r}_0 + \mathbf{v}_0(t - t_0) + \frac{1}{2}\mathbf{a}_0(t - t_0)^2$$

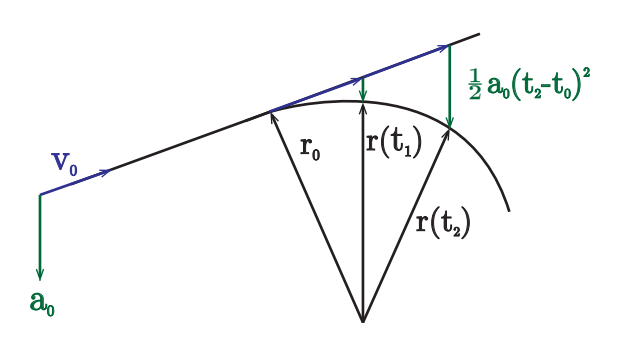


Abbildung 1.32: Wurfparabel bei glm. beschl. Bewegung

Die gleichmäßig beschleunigte Bewegung ist die Überlagerung einer geradlinig gleichförmigen Bewegung mit  $\mathbf{v}_0$  und einer geradlinig beschleunigten Bewegung mit  $\mathbf{a}_0$ .

Beispiel: Schneeball, Kanonenkugel

Ein Spezialfall ist der freie Fall:

$$\mathbf{v}_0 = 0, \ \mathbf{a}_0 = g \begin{pmatrix} 0 \\ 0 \\ -1 \end{pmatrix}, \ t_0 = 0$$

$$\Rightarrow$$
 Fallstrecke  $s = |\mathbf{x}_3(t)| = \frac{1}{2}gt^2$ 

Erbeschleunigung  $g = 9.81 \ m/s^2$ 

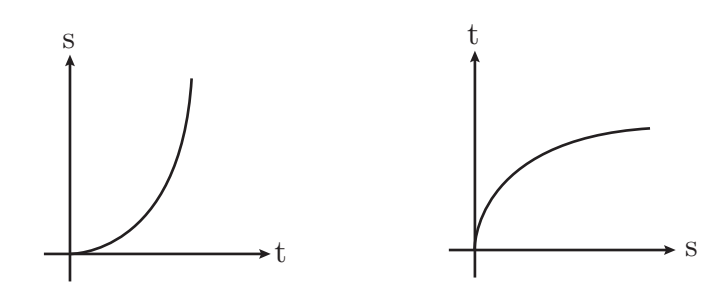


Abbildung 1.33: Weg-Zeit-Diagramm für freien Fall

# 1.6 Geschwindigkeit und Beschleunigung im mitbewegten System

$$\mathbf{v}(t) = \frac{d\mathbf{r}}{dt} = \frac{d\mathbf{r}}{ds}\frac{ds}{dt} = \hat{\mathbf{t}} \cdot v$$

 $\Rightarrow$  Geschwindigkeitsvektor ist tangential

$$\mathbf{a}(t) = \frac{d^2\mathbf{r}}{dt^2} = \frac{d\mathbf{v}}{dt} = \dot{v}\hat{\mathbf{t}} + v\frac{d\hat{\mathbf{t}}}{dt} = \dot{v}\hat{\mathbf{t}} + v\frac{d\hat{\mathbf{t}}}{ds}\frac{ds}{dt} \stackrel{Frenet}{=} \dot{v}\hat{\mathbf{t}} + v^2\kappa\hat{\mathbf{n}}$$

Die Beschleunigung liegt also in der Schmiegeebene und hat 2 Anteile:

$$a_t = \dot{v}$$
 Tangentialbeschleunigung  $a_n = \kappa v^2 = \frac{v^2}{\rho}$  Normalbeschleunigung

Eine Bewegung kann also beschleunigt sein, obwohl  $\dot{v} = 0$ . Dies spiegelt wieder, dass ein Vektor sowohl Betrag als auch Richtung hat.

**Beispiel** Kreisbewegung (gleichförmig)

$$a_t=\frac{d}{dt}(R\omega)=0$$
 da  $\omega=const.$  
$$a_n=\frac{1}{R}(R\omega)^2=R\omega^2$$
 Zentrifugalbeschleunigung

Physikalische Probleme haben oft räumliche Symmetrien, die man ausnützen kann, um Geschwindigkeit und Beschleunigung auszurechnen.

# 1.7 Mathematischer Einschub 3: Koordinatensysteme

Wenn möglich, verwendet man ein Koordinatensystem, das der Symmetrie des Problems angepasst ist. Der Übergang von einem Koordinatensystem ins andere muss wohldefiniert sein. Die drei wichtigsten Fälle werden nun vorgestellt:

#### 1. kartesische Koordinaten

$$\mathbf{r} = \begin{pmatrix} x_1 \\ x_2 \\ x_3 \end{pmatrix}$$

#### 2. Zylinderkoordinaten

$$\mathbf{r} = \begin{pmatrix} \rho \cos \varphi \\ \rho \sin \varphi \\ z \end{pmatrix}$$

Hier muss man zwischen dem Betrag  $\rho$  in der x-y-Ebene und dem Gesamtbetrag  $r=\sqrt{\rho^2+z^2}$  unterscheiden.

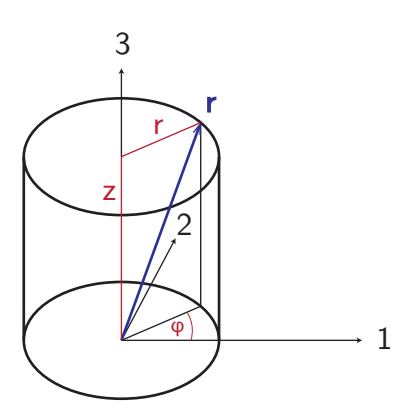


Abbildung 1.34: Zylinderkoordinaten

#### 3. Kugelkoordinaten

$$\mathbf{r} = \begin{pmatrix} r \sin \vartheta \cos \varphi \\ r \sin \vartheta \sin \varphi \\ r \cos \vartheta \end{pmatrix}$$

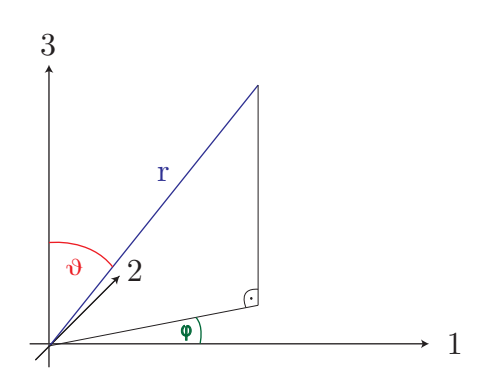


Abbildung 1.35: Kugelkoordinaten

Die drei Koordinatentupel  $(x_1, x_2, x_3), (\rho, \varphi, z)$  und  $(r, \vartheta, \varphi)$  beschreiben den gleichen Ort. Deshalb muss es Transformationen geben, die an (fast) jedem Punkt P (lokal) umkehrbar sind.

Dabei bedeutet:

 $\mathit{f\"{u}r}$   $\mathit{fast}$   $\mathit{jeden}$   $\mathit{Punkt}$ : darf in Bereichen niedriger Dimension verletzt sein  $\mathit{lokal}$ : gilt in einer Umgebung von P

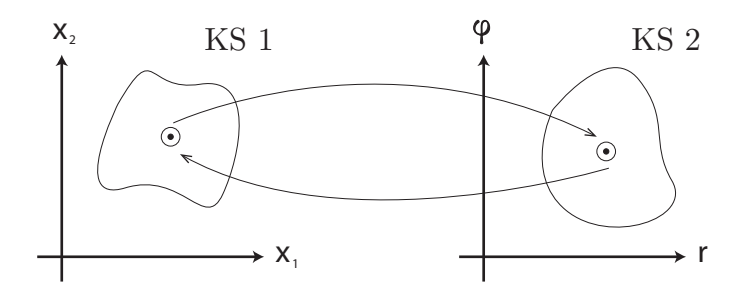


Abbildung 1.36: Veranschaulichung zur Koordinatentransformation

**Beispiel** Polarkoordinaten (Zylinderkoordinaten mit z=0 bzw. Kugelkoordinaten mit  $\vartheta=\frac{\pi}{2}$ )

$$\begin{vmatrix} x_1 = r \cos \varphi \\ x_2 = r \sin \varphi \end{vmatrix} \Rightarrow \begin{aligned} r &= \sqrt{x_1^2 + x_2^2} \\ \varphi &= \arctan \frac{x_2}{x_1} \text{ für } x_1 > 0 \text{ (sonst } +\pi) \end{aligned}$$

 $\Rightarrow$  alle Paare  $(r=0,\varphi)$  werden auf  $x_1=x_2=0$  abgebildet.

 $\Rightarrow$  Umkehrung für r=0 ist <u>nicht</u> eindeutig, aber das ist nur eine eindimensionale

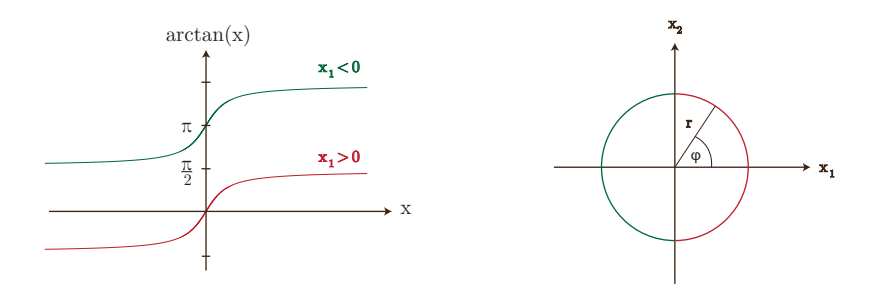


Abbildung 1.37: Berechnung des Winkels in Polarkoordinaten.

Ausnahme.

Wie stellt man die (lokale) Umkehrbarkeit sicher? Wir betrachten eine allgemeine Variablentransformation

$$y_i = y_i(x_1, x_2, x_3)$$
  $1 \le i \le 3$ 

Differentielle Änderungen in  $x_i$  müssen eindeutig mit differentiellen Änderungen in  $y_i$  zusammenhängen (und umgekehrt). Wir betrachten dazu ein beliebiges skalares Feld  $\varphi = \varphi(x_1, x_2, x_3)$ , das z.B. für eines der  $y_i$  steht. Die Abhängigkeit von  $\varphi$  von einem der drei  $x_i$  wird durch eine partielle Ableitung charakterisiert:

$$\frac{\partial \varphi}{\partial x_1} = \lim_{\Delta x_1 \to 0} \frac{\varphi(x_1 + \Delta x_1, x_2, x_3) - \varphi(x_1, x_2, x_3)}{\Delta x_1}$$

Bei einer partiellen Ableitung wird nur eine Variable geändert und die anderen bleiben fest. Die partielle Ableitung  $\partial \varphi / \partial x_1$  beschreibt also die Änderung von  $\varphi$  parallel zur Koordinatenachse  $x_1$ .

Andere Schreibweisen:

$$\left(\frac{\partial \varphi}{\partial x_1}\right)_{x_2,x_3} = \frac{\partial \varphi}{\partial x_1}|_{x_2,x_3} = \partial_{x_1}\varphi = \partial_1\varphi = \varphi_{x_1} = \varphi_1$$

**Beispiel** Radius r in Polarkoordinaten

$$\frac{\partial r}{\partial x_1} = \frac{\partial}{\partial x_1} \sqrt{x_1^2 + x_2^2} = \frac{\frac{1}{2} \cdot 2 \cdot x_1}{\sqrt{x_1^2 + x_2^2}} = \frac{x_1}{r}$$

Die Rechenregeln für die partiellen Ableitungen sind im wesentlichen gleich zu denen für normale Ableitungen. Die partielle Ableitung von Vektoren erfolgt wieder

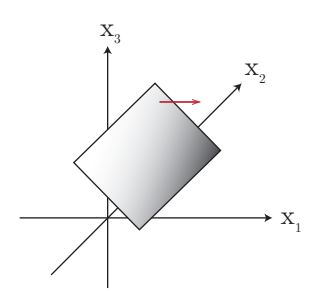


Abbildung 1.38: Veranschaulichung der partiellen Ableitung

komponentenweise.

Beispiel Coulomb- oder Gravitationskraft

$$\mathbf{F}(\mathbf{r}) = \alpha \cdot \frac{\mathbf{r}}{r^3}, \qquad r = (x_1^2 + x_2^2 + x_3^2)^{\frac{1}{2}}$$

$$\Rightarrow \frac{\partial F_1}{\partial x_1} = \frac{\partial}{\partial x_1} (\alpha \cdot \frac{x_1}{r^3}) = \alpha (\frac{1}{r^3} - x_1 \frac{\frac{3}{2} \cdot 2 \cdot x_1}{r^5}) = \alpha (\frac{1}{r^3} - \frac{3x_1^2}{r^5})$$

$$\frac{\partial F_2}{\partial x_1} = \frac{\partial}{\partial x_1} (\alpha \cdot \frac{x_2}{r^3}) = -\frac{3\alpha x_2 x_1}{r^5}$$

$$\frac{\partial F_3}{\partial x_1} = \frac{\partial}{\partial x_1} (\alpha \cdot \frac{x_3}{r^3}) = -\frac{3\alpha x_3 x_1}{r^5}$$

$$\Rightarrow \frac{\partial \mathbf{F}}{\partial x_1} = \frac{\alpha}{r^5} \begin{pmatrix} r^2 - 3x_1^2 \\ -3x_1 x_2 \\ -3x_1 x_3 \end{pmatrix}$$

Partielle Ableitung von Vektorprodukten:

$$\frac{\partial}{\partial x_i}(\mathbf{a} \cdot \mathbf{b}) = \frac{\partial \mathbf{a}}{\partial x_i} \cdot \mathbf{b} + \mathbf{a} \cdot \frac{\partial \mathbf{b}}{\partial x_i}$$
$$\frac{\partial}{\partial x_i}(\mathbf{a} \times \mathbf{b}) = \frac{\partial \mathbf{a}}{\partial x_i} \times \mathbf{b} + \mathbf{a} \times \frac{\partial \mathbf{b}}{\partial x_i}$$

#### Satz aus der Analysis (ohne Beweis)

Die gemischte partielle Ableitung ist vertauschbar (vorausgesetzt die Funktion ist zweimal stetig partiell differenzierbar):

$$\frac{\partial^2 \varphi}{\partial x_j \partial x_i} = \frac{\partial}{\partial x_j} \left( \frac{\partial \varphi}{\partial x_i} \right) = \frac{\partial}{\partial x_i} \left( \frac{\partial \varphi}{\partial x_j} \right) = \frac{\partial^2 \varphi}{\partial x_i \partial x_j}$$

Beispiel  $\varphi = x_1^3 x_2$ 

$$\Rightarrow \frac{\partial^2 \varphi}{\partial x_1 \partial x_2} = \frac{\partial}{\partial x_1} (x_1^3) = 3x_1^2 = \frac{\partial}{\partial x_2} (3x_1^2 x_2) = \frac{\partial^2 \varphi}{\partial x_2 \partial x_1} \checkmark$$

Bisher haben wir die  $(x_1, x_2, x_3)$  nur in eine Richtung geändert. Wir ändern jetzt

 $(x_1, x_2, x_3)$  mit Hilfe einer Bahnkurve  $\mathbf{r}(t), \Delta x_i = x_i(t + \Delta t) - x_i(t).$  $\Rightarrow$  Differentialquotient

$$D = \frac{\varphi(x_1 + \Delta x_1, x_2 + \Delta x_2, x_3 + \Delta x_3) - \varphi(x_1, x_2, x_3)}{\Delta t}$$

$$= \frac{1}{\Delta t} \left[ \varphi(x_1 + \Delta x_1, x_2 + \Delta x_2, x_3 + \Delta x_3) - \varphi(x_1, x_2 + \Delta x_2, x_3 + \Delta x_3) + \varphi(x_1, x_2 + \Delta x_2, x_3 + \Delta x_3) - \varphi(x_1, x_2, x_3 + \Delta x_3) + \varphi(x_1, x_2, x_3 + \Delta x_3) - \varphi(x_1, x_2, x_3) \right]$$

$$= \frac{1}{\Delta x_1} \left[ \varphi(x_1 + \Delta x_1, x_2 + \Delta x_2, x_3 + \Delta x_3) - \varphi(x_1, x_2 + \Delta x_2, x_3 + \Delta x_3) \right] \frac{\Delta x_1}{\Delta t} + \frac{1}{\Delta x_2} \left[ \varphi(x_1, x_2 + \Delta x_2, x_3 + \Delta x_3) - \varphi(x_1, x_2, x_3 + \Delta x_3) \right] \frac{\Delta x_2}{\Delta t} + \frac{1}{\Delta x_3} \left[ \varphi(x_1, x_2, x_3 + \Delta x_3) - \varphi(x_1, x_2, x_3 + \Delta x_3) \right] \frac{\Delta x_3}{\Delta t}$$

$$\stackrel{\Delta t \to 0}{\longrightarrow} \left[ \sum_{i=1}^3 \frac{\partial \varphi}{\partial x_i} \frac{dx_i}{dt} = \frac{d\varphi}{dt} \right] \quad totale \ Ableitung \ von \ \varphi \ nach \ t$$

Vergleiche Kettenregel:

$$\frac{d\varphi(x(t))}{dt} = \frac{d\varphi}{dx}\frac{dx}{dt}$$

 $\Rightarrow$  Die totale Ableitung ist eine Verallgemeinerung der Kettenregel. Sie setzt sich additiv aus den Beträgen der verschiedenen Koordinatenrichtungen zusammen.

Die totale Ableitung kann auch als Skalarprodukt geschrieben werden:

$$\frac{d\varphi}{dt} = \sum_{i=1}^{3} \frac{\partial \varphi}{\partial x_i} \frac{dx_i}{dt} = \nabla \varphi \cdot \dot{\mathbf{r}}$$

wobei  $\nabla \varphi$  Gradient von  $\varphi$ ,  $\nabla$  Nabla-Symbol

$$\nabla \varphi = \operatorname{grad} \varphi := \begin{pmatrix} \frac{\partial \varphi}{\partial x_1} \\ \frac{\partial \varphi}{\partial x_2} \\ \frac{\partial \varphi}{\partial x_3} \end{pmatrix}$$

Die drei Komponenten sind genau die drei partiellen Ableitungen.

$$\nabla = \begin{pmatrix} \frac{\partial}{\partial x_1} \\ \frac{\partial}{\partial x_2} \\ \frac{\partial}{\partial x_2} \end{pmatrix} \qquad Differential operator$$

Wir schreiben jetzt die Änderung von  $\varphi$  so, dass sie unabhängig ist von der Parametrisierung der Raumkurve  $\mathbf{r}(t)$ :

$$d\varphi = \sum_{i=1}^{3} \frac{\partial \varphi}{\partial x_i} dx_i = \nabla \varphi \cdot d\mathbf{r}$$
 totales Differential

Jetzt überlegen wir uns, in welche Richtung man  $d\mathbf{r}$  legen muss, damit sich der Wert des Feldes nicht ändert, dh damit man eine Isolinie entlang geht:

$$0 = d\varphi = \nabla \varphi \cdot d\mathbf{r} \Leftrightarrow \nabla \varphi \perp d\mathbf{r}$$

Der Gradient steht also senkrecht auf den Flächen mit  $\varphi=const.$  Er zeigt in die Richtung mit der größten Änderung in  $\varphi$  (bergaufwärts). Ein Beispiel wäre die Funktion

$$\varphi(x_1, x_2) = \frac{1}{1 + x_1^2 + x_2^2} = \frac{1}{1 + r^2}$$

Diese Funktion ist rotationssymmetrisch und die Isolinien sind somit Kreise.

**Beispiel** Radius r in Polarkoordinaten:  $r = \sqrt{x_1^2 + x_2^2}$ 

$$\nabla r = \begin{pmatrix} \frac{\partial r}{\partial x_1} \\ \frac{\partial r}{\partial x_2} \end{pmatrix} = \begin{pmatrix} \frac{x_1}{r} \\ \frac{x_2}{r} \end{pmatrix} = \frac{\mathbf{r}}{r} = \mathbf{e}_r$$

$$\frac{\partial f(r)}{\partial x_i} = \frac{df}{dr} \frac{\partial r}{\partial x_i} = f'(r) \cdot \frac{x_i}{r}$$

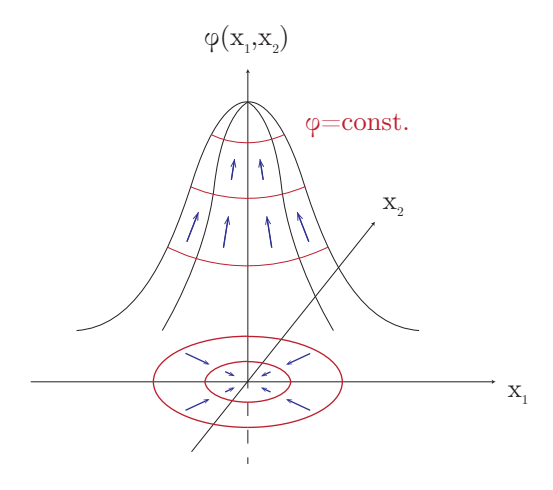


Abbildung 1.39: Gradient zu einer Funktion mit Maximum.

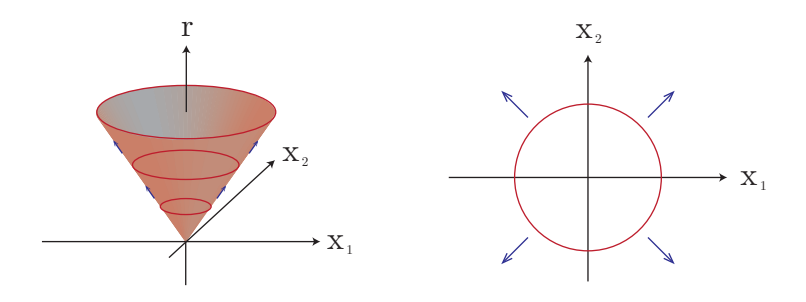


Abbildung 1.40: Gradient für den Radiusbetrag.

$$\Rightarrow \nabla f(r) = f'(r) \cdot \mathbf{e}_r$$
$$f(r) = r \Rightarrow \nabla f = \mathbf{e}_r \checkmark$$

Zurück zum ursprünglichen Problem: Wir betrachten eine Koordinatentransformation  $y_i \to x_i$ , für die wir die Umrechnungsformeln kennen (z.Bsp. Kugelkoordinaten:  $(r, \varphi, \vartheta) \to (x_1, x_2, x_3) = (r \sin \vartheta \cos \varphi, r \sin \vartheta \sin \varphi, r \cos \vartheta)$ ).

$$\frac{\underset{Diff.}{totales}}{\underset{Diff.}{\Rightarrow}} dx_i = \sum_{j=1}^3 \frac{\partial x_i}{\partial y_j} dy_j$$

In Matrix-Schreibweise:

$$\begin{pmatrix} dx_1 \\ dx_2 \\ dx_3 \end{pmatrix} = \begin{pmatrix} \frac{\partial x_1}{\partial y_1} & \frac{\partial x_1}{\partial y_2} & \frac{\partial x_1}{\partial y_3} \\ \frac{\partial x_2}{\partial y_1} & \frac{\partial x_2}{\partial y_2} & \frac{\partial x_2}{\partial y_3} \\ \frac{\partial x_3}{\partial y_1} & \frac{\partial x_3}{\partial y_2} & \frac{\partial x_3}{\partial y_3} \end{pmatrix} \begin{pmatrix} dy_1 \\ dy_2 \\ dy_3 \end{pmatrix}$$

Auf der rechten Seite wird eine Matrix mit einem Vektor multipliziert.

#### Matrixmultiplikation

$$\underline{\underline{A}} = (a_{ij})_{1 \le i \le m, 1 \le j \le r} = \begin{pmatrix} a_{11} & \dots & a_{1r} \\ \vdots & \ddots & \vdots \\ a_{m1} & \dots & a_{mr} \end{pmatrix}$$

$$\underline{\underline{C}} = \underline{\underline{A}} \cdot \underline{\underline{B}}$$

wobei man die Komponente  $c_{ij}$  folgendermaßen berechnet:

$$\left(\begin{array}{c} c_{ij} \\ \end{array}\right) = \left(\begin{array}{cccc} a_{i1} & a_{i2} & \dots & a_{ir} \\ \end{array}\right) \cdot \left(\begin{array}{cccc} b_{1j} \\ b_{2j} \\ \vdots \\ b_{rj} \end{array}\right)$$

$$c_{ij} = \sum_{k=1}^{r} a_{ik} b_{kj}$$

Voraussetzung für die Multiplikation zweier Matrizen ist: Zahl der Spalten in  $\underline{\underline{A}} = Z$ ahl der Zeilen in  $\underline{\underline{B}} = r$ . Das gilt also insbesondere, wenn eine  $n \times n$ -Matrix mit einem n-Vektor multipliziert wird.

Die Matrix  $\underline{\underline{J}} = (\frac{\partial x_i}{\partial y_j})_{1 \leq i,j \leq 3}$  heißt Funktionalmatrix oder Jacobimatrix. Eine Umkehrung der Transformation  $y_i \to x_i$  ist genau dann möglich, wenn die inverse Matrix  $\underline{J}^{-1}$  existiert.

$$\mathbf{x} = \underline{A} \cdot \mathbf{y} \Rightarrow \underline{A}^{-1} \mathbf{x} = \mathbf{y}, \underline{A} \underline{A}^{-1} = 1$$

#### Satz zur Umkehrabbildung (ohne Beweis)

 $\underline{\underline{\underline{A}}}^{-1}$  existiert genau dann, wenn  $\det \underline{\underline{\underline{A}}} \neq 0$ .

 $\Rightarrow$  Eine Koordinatentransformation ist genau dann lokal umkehrbar, wenn die Funktional- oder Jacobideterminante  $J = \det \underline{\underline{J}} = \det (\frac{\partial x_i}{\partial y_j})_{1 \leq i,j \leq 3} \neq 0$ .

#### Beispiele:

1. Polarkoordinaten  $(r, \varphi) \to (x_1, x_2) = (r \cos \varphi, r \sin \varphi)$ 

$$\underline{J} = \begin{pmatrix} \cos \varphi & -r \sin \varphi \\ \sin \varphi & r \cos \varphi \end{pmatrix}$$

$$\Rightarrow J = \cos \varphi \cdot r \cdot \cos \varphi - \sin \varphi \cdot (-r \sin \varphi) = r$$

$$\Rightarrow \text{Umkehrung möglich für } r \neq 0$$

Dies stimmt auch mit unseren zuvor gewonnenen Erkenntnissen überein:  $(r=0,\varphi)\,\,\widehat{=}\,\,(0,0)$ 

2. **Zylinderkoordinaten**  $(\rho, \varphi, z) \rightarrow (x_1, x_2, x_3) = (\rho \cos \varphi, \rho \sin \varphi, z)$ 

$$\underline{\underline{J}} = \begin{pmatrix} \cos \varphi & -\rho \sin \varphi & 0\\ \sin \varphi & \rho \cos \varphi & 0\\ 0 & 0 & 1 \end{pmatrix} \quad \Rightarrow J = \rho$$

Umkehrung möglich wie bei Polarkoordinaten für  $\rho \neq 0$ .

3. **Kugelkoordinaten**  $(r, \vartheta, \varphi) \to (x_1, x_2, x_3) = (r \sin \vartheta \cos \varphi, r \sin \vartheta \sin \varphi, r \cos \vartheta)$ 

$$\underline{\underline{J}} = \begin{pmatrix} \sin \vartheta \cos \varphi & r \cos \vartheta \cos \varphi & -r \sin \vartheta \sin \varphi \\ \sin \vartheta \sin \varphi & r \cos \vartheta \sin \varphi & r \sin \vartheta \cos \varphi \\ \cos \vartheta & -r \sin \vartheta & 0 \end{pmatrix} \Rightarrow \underline{J} = r^2 \sin \vartheta$$

Umkehrung möglich ausser für r=0 oder  $\vartheta=0,\pi$  (Nord- oder Südpol). Das sind genau die Fälle, bei denen  $\varphi$  aufgrund der Rotationssymmetrie um die z-Achse nicht eindeutig ist.

#### Verkettung von Koordinatentransformationen

$$z_{i} \longrightarrow y_{i} \longrightarrow x_{i}$$

$$\Rightarrow x_{i} = x_{i}(y_{1}(z_{1}, z_{2}, z_{3}), y_{2}(z_{1}, z_{2}, z_{3}), y_{3}(z_{1}, z_{2}, z_{3}))$$

$$\Rightarrow \frac{\partial x_{i}}{\partial z_{j}} = \sum_{k=1}^{3} \frac{\partial x_{i}}{\partial y_{k}} \frac{\partial y_{k}}{\partial z_{j}}$$

$$\Rightarrow \underline{J}^{(xz)} = \underline{J}^{(xy)} \cdot \underline{J}^{(yz)}$$

$$\Rightarrow \det \underline{J}^{(xz)} = J^{(xz)} = \det \underline{J}^{(xy)} \det \underline{J}^{(yz)} = J^{(xy)} J^{(yz)}$$

Die Gesamttransformation ist eindeutig  $(J^{(xz)} \neq 0)$ , wenn die Einzeltransformationen eindeutig sind  $(J^{(yz)}, J^{(xy)} \neq 0)$ .

Spezialfall:  $x_i = z_i$ 

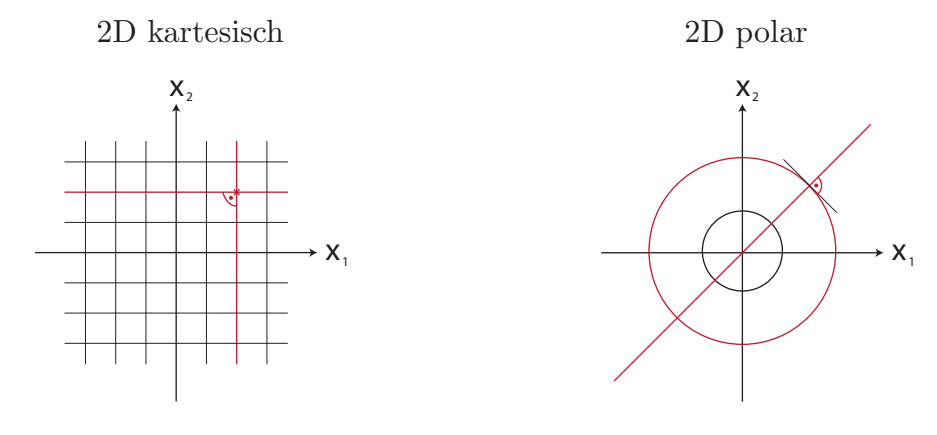
$$\Rightarrow J^{(xx)} = 1$$
$$\Rightarrow J^{(xy)} = \frac{1}{J^{(yx)}}$$

 $\Rightarrow$  Wenn die Hintransformation eindeutig ist, dann ist es auch die Rücktransformation.

Die Jacobi-Determinante hat eine wichtige geometrische Bedeutung. Wir betrachten die *lokalen* Eigenschaften von Koordinatensystemen mit Hilfe von Bahnkurven und Dreibeinen.

Koordinatenlinie = Bahnkurve, die entsteht, wenn nur eine Variable  $y_i$  variiert wird.

An jedem Ort im Raum definiert das Koordinatensystem also ein lokales Dreibein.



gradlinig-orthogonal

krummlinig-orthogonal

Abbildung 1.41: Beispiele von Koordinatenlinien

Dieses wird aufgespannt von den drei Einheitsvektoren:

$$\mathbf{e}_{y_i} = \frac{\frac{\partial \mathbf{r}}{\partial y_i}}{\left|\frac{\partial \mathbf{r}}{\partial y_i}\right|} = \frac{1}{b_{y_i}} \frac{\partial \mathbf{r}}{\partial y_i} \text{ mit } b_{y_i} := \left|\frac{\partial \mathbf{r}}{\partial y_i}\right|$$

#### Beispiele

### 1. Polarkoordinaten $(r, \varphi)$

$$b_r = 1, \quad \mathbf{e}_r = \begin{pmatrix} \cos \varphi \\ \sin \varphi \end{pmatrix}$$

$$b_{\varphi} = r, \quad \mathbf{e}_{\varphi} = \begin{pmatrix} -\sin\varphi\\\cos\varphi \end{pmatrix}$$

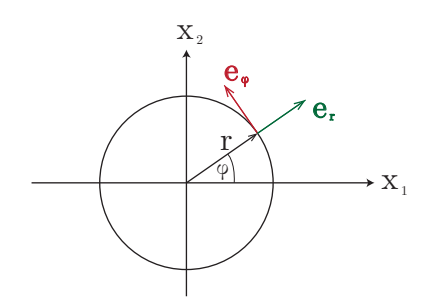


Abbildung 1.42: Basisvektoren bei Polarkoordinaten

# 2. Zylinderkoordinaten $(\rho,\varphi,z)$

 $\rho,\varphi$ wie bei Polarkoordinaten, nur dass wir jetzt  $\rho$ statt r verwenden.

$$b_z = 1, \quad \mathbf{e}_z = \begin{pmatrix} 0 \\ 0 \\ 1 \end{pmatrix}$$

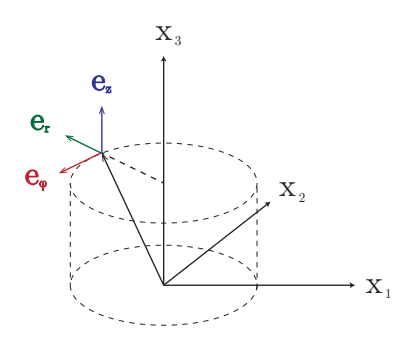


Abbildung 1.43: Basisvektoren bei Zylinderkoordinaten

#### 3. Kugelkoordinaten $(r, \vartheta, \varphi)$

$$b_r = 1, \quad \mathbf{e}_r = \begin{pmatrix} \sin \vartheta \cos \varphi \\ \sin \vartheta \sin \varphi \\ \cos \vartheta \end{pmatrix}$$

$$b_{\vartheta} = r, \quad \mathbf{e}_{\vartheta} = \begin{pmatrix} \cos \vartheta \cos \varphi \\ \cos \vartheta \sin \varphi \\ -\sin \vartheta \end{pmatrix}$$

$$b_{\varphi} = r \sin \vartheta, \quad \mathbf{e}_{\varphi} = \begin{pmatrix} -\sin \varphi \\ \cos \varphi \\ 0 \end{pmatrix}$$

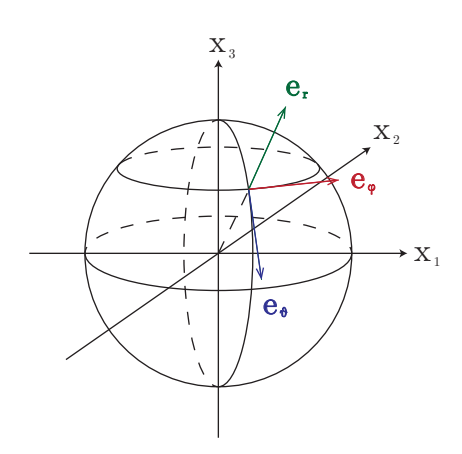


Abbildung 1.44: Basisvektoren bei Kugelkoordinaten

In allen drei Fällen gilt  $\mathbf{e}_{y_i} \cdot \mathbf{e}_{y_j} = \delta_{ij}$  (Orthonormalsysteme). Das lokale Dreibein definiert ein lokales Volumenelement: Wir berechnen das Volumen des Parallelepipeds, das von

$$\mathbf{a}_i = \frac{\partial \mathbf{r}}{\partial y_i} \, dy_i = b_{y_i} \mathbf{e}_{y_i} dy_i$$

aufgespannt wird.

$$\Rightarrow dV = \mathbf{a}_{1} \cdot (\mathbf{a}_{2} \times \mathbf{a}_{3})$$

$$= \det \begin{pmatrix} \frac{\partial x_{1}}{\partial y_{1}} dy_{1} & \frac{\partial x_{2}}{\partial y_{1}} dy_{1} & \frac{\partial x_{3}}{\partial y_{1}} dy_{1} \\ \frac{\partial x_{1}}{\partial y_{2}} dy_{2} & \frac{\partial x_{2}}{\partial y_{2}} dy_{2} & \frac{\partial x_{3}}{\partial y_{2}} dy_{2} \\ \frac{\partial x_{1}}{\partial y_{3}} dy_{3} & \frac{\partial x_{2}}{\partial y_{3}} dy_{3} & \frac{\partial x_{3}}{\partial y_{3}} dy_{3} \end{pmatrix}$$

$$= \det \begin{pmatrix} \frac{\partial x_{1}}{\partial y_{1}} & \frac{\partial x_{2}}{\partial y_{1}} & \frac{\partial x_{3}}{\partial y_{1}} \\ \frac{\partial x_{1}}{\partial y_{2}} & \frac{\partial x_{2}}{\partial y_{2}} & \frac{\partial x_{3}}{\partial y_{3}} \\ \frac{\partial x_{1}}{\partial y_{3}} & \frac{\partial x_{2}}{\partial y_{3}} & \frac{\partial x_{3}}{\partial y_{3}} \end{pmatrix} dy_{1} dy_{2} dy_{3}$$

$$= \det \begin{pmatrix} \frac{\partial x_{1}}{\partial y_{1}} & \frac{\partial x_{1}}{\partial y_{2}} & \frac{\partial x_{1}}{\partial y_{3}} \\ \frac{\partial x_{2}}{\partial y_{1}} & \frac{\partial x_{2}}{\partial y_{2}} & \frac{\partial x_{2}}{\partial y_{3}} \\ \frac{\partial x_{3}}{\partial y_{1}} & \frac{\partial x_{3}}{\partial y_{2}} & \frac{\partial x_{3}}{\partial y_{3}} \end{pmatrix} dy_{1} dy_{2} dy_{3}$$

$$= J dy_{1} dy_{2} dy_{3}$$

$$= b_{y_{1}} b_{y_{2}} b_{y_{3}} \mathbf{e}_{y_{1}} \cdot (\mathbf{e}_{y_{2}} \times \mathbf{e}_{y_{3}}) dy_{1} dy_{2} dy_{3}$$

$$= b_{y_{1}} b_{y_{2}} b_{y_{3}} dy_{1} dy_{2} dy_{3}$$

$$= b_{y_{1}} b_{y_{2}} b_{y_{3}} dy_{1} dy_{2} dy_{3}$$

Hier haben wir verwendet: skalare Faktoren können zeilenweise aus der Determinante rausgezogen werden, das Transponieren ändert die Determinante nicht und und das Spatprodukt eines ONS ist gleich 1. Das Ergebnis ist, dass die Jacobi-Determinante genau dem Volumenelement entspricht. Sie hängt mit den  $b_{y_i}$  über die einfache Beziehung

$$J = b_{y_1} b_{y_2} b_{y_3}$$

zusammen. Statt eine komplizierte Determinante auszurechnen, reicht es also, die drei Gewichte auszurechnen und miteinander zu multiplizieren.

#### Beispiele

#### 1. Polarkoodinaten

In zwei Dimensionen haben wir kein Volumen-, sondern ein Flächenelement:

$$dA = dr d\varphi r$$

Damit ergibt sich für die Kreisfläche A:

$$A = \int_0^R dr \, \int_0^{2\pi} d\varphi \, r \, = \, \left( \int_0^R r dr \right) \left( \int_0^{2\pi} d\varphi \, \right) \, = \, \frac{1}{2} \, R^2 \, 2 \, \pi \, = \, \pi R^2$$

#### 2. Zylinderkoordinaten

$$dV = \rho d\rho d\varphi dz$$

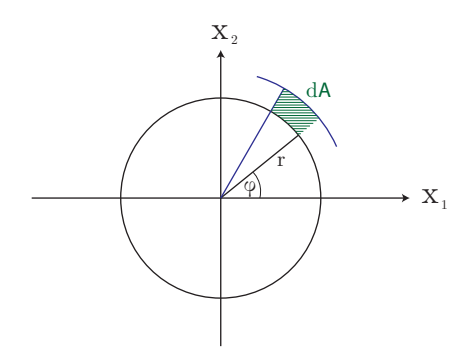


Abbildung 1.45: Flächenelement in Polarkoordinaten

Damit ergibt sich für das Zylindervolumen V:

$$V = \left( \int_0^R \rho d\rho \right) \left( \int_0^{2\pi} d\varphi \right) \left( \int_0^L dz \right) = \frac{1}{2} R^2 2 \pi L = \pi R^2 L$$

#### 3. Kugelkoordinaten

$$dV = dr \, d\vartheta \, d\varphi \, r^2 \sin \vartheta$$

Damit ergibt sich für das Kugelvolumen V:

$$V = \left( \int_0^R r^2 dr \right) \left( \int_0^{\pi} \sin \vartheta d\vartheta \right) \left( \int_0^{2\pi} d\varphi \right) = \frac{1}{3} R^3 2 2\pi = \frac{4}{3} \pi R^3$$

Die  $\vartheta$ -Integration kann über mehrere Weisen ausgeführt werden:

$$\int_0^{\pi} \sin \vartheta d\vartheta = -\int_1^{-1} d(\cos \vartheta) = \int_{-1}^1 d(\cos \vartheta) = \int_{-1}^1 dx = 2$$

Die x-Integration nach Substitution ist besonders geschickt, wenn der Rest nur von  $\cos \vartheta$  abhängt, also wenn z.B. nur Skalarprodukte zwischen Vektoren und der z-Achse vorkommen.

Teile der berechneten Volumina (z.B. Tortenstücke) können jetzt einfach durch entsprechende Einschränkung der Integralgrenzen berechnet werden. Aus den Ergebnissen für die Volumina kann man auch leicht Formeln für Schalen mit kleiner Dicke herleiten, indem man nämlich das innere vom äußeren Volumen abzieht. Im Limes sehr dünner Schalen wird das immer die Fläche mal die Dicke sein, wie man leicht durch Nachrechnen sieht für Zylinder- und Kugelschalen. Die benötigten Flächen kann man ausrechnen, indem man die Radialkomponente festhält

und nur über die Winkel integriert. Aus dem Vergleich von Volumina und Flächen sieht man auch, dass diese sich immer durch einen Faktor unterscheiden, der der Raumdimension entspricht.

Differentiale und Differentialoperatoren können in krummlinige Koordinatensysteme umgeschrieben werden.

#### Differential des Ortsvektors:

$$d\mathbf{r} = \sum_{i=1}^{3} \frac{\partial \mathbf{r}}{\partial y_i} dy_i = \sum_{i=1}^{3} b_{y_i} dy_i e_{y_i}$$

Polarkoordinaten:  $d\mathbf{r} = dr\mathbf{e}_r + r d\varphi \mathbf{e}_{\varphi}$ 

Zylinderkoordinaten:  $d\mathbf{r} = d\rho \mathbf{e}_{\rho} + r d\varphi \mathbf{e}_{\varphi} + dz \mathbf{e}_{z}$ 

Kugelkoordinaten:  $d\mathbf{r} = dr\mathbf{e}_r + r d\vartheta \mathbf{e}_\vartheta + r \sin\vartheta d\varphi \mathbf{e}_\varphi$ 

Wie schreibt sich der Gradient

$$\nabla \varphi = \begin{pmatrix} \frac{\partial \varphi}{\partial x_1} \\ \frac{\partial \varphi}{\partial x_2} \\ \frac{\partial \varphi}{\partial x_2} \end{pmatrix}$$

in krummlinig-orthogonalen Koordinaten?

$$\nabla \varphi = \sum_{i=1}^{3} (\nabla \varphi)_{y_i} \, \mathbf{e}_{y_i}$$

$$\Rightarrow (\nabla \varphi)_{y_i} = \mathbf{e}_{y_i} \cdot \nabla \varphi = \frac{1}{b_{y_i}} \frac{\partial \mathbf{r}}{\partial y_i} \cdot \nabla \varphi = \frac{1}{b_{y_i}} (\frac{\partial x_1}{\partial y_i} \frac{\partial \varphi}{\partial x_1} + \frac{\partial x_2}{\partial y_i} \frac{\partial \varphi}{\partial x_2} + \frac{\partial x_3}{\partial y_i} \frac{\partial \varphi}{\partial x_3})$$

$$= \left[ \frac{1}{b_{y_i}} \frac{\partial \varphi}{\partial y_i} = (\nabla \varphi)_{y_i} \right]$$

$$\Rightarrow \nabla = \sum_{i=1}^{3} \mathbf{e}_{y_i} \frac{1}{b_{y_i}} \frac{\partial}{\partial y_i}$$

Beispiel Kugelkoordinaten

$$\nabla = \mathbf{e}_r \frac{\partial}{\partial r} + \mathbf{e}_{\vartheta} \frac{1}{r} \frac{\partial}{\partial \vartheta} + \mathbf{e}_{\varphi} \frac{1}{r \sin \vartheta} \frac{\partial}{\partial \varphi}$$

Falls  $\varphi = \varphi(r)$  kugelsymmetrisch  $\Rightarrow$  Winkelanteile fallen weg

#### Anwendung

$$\varphi = r \quad \Rightarrow \quad \nabla r = \mathbf{e}_r \frac{\partial}{\partial r} r = \mathbf{e}_r$$

Zum Vergleich: kartesisch

$$\nabla r = \begin{pmatrix} \frac{\partial r}{\partial x_1} \\ \frac{\partial r}{\partial x_2} \\ \frac{\partial r}{\partial x_3} \end{pmatrix} = \begin{pmatrix} \frac{\partial}{\partial x_1} \\ \frac{\partial}{\partial x_2} \\ \frac{\partial}{\partial x_3} \end{pmatrix} \sqrt{x_1^2 + x_2^2 + x_3^2} = \frac{1}{r} \begin{pmatrix} x_1 \\ x_2 \\ x_3 \end{pmatrix} = \mathbf{e}_r \quad \checkmark$$

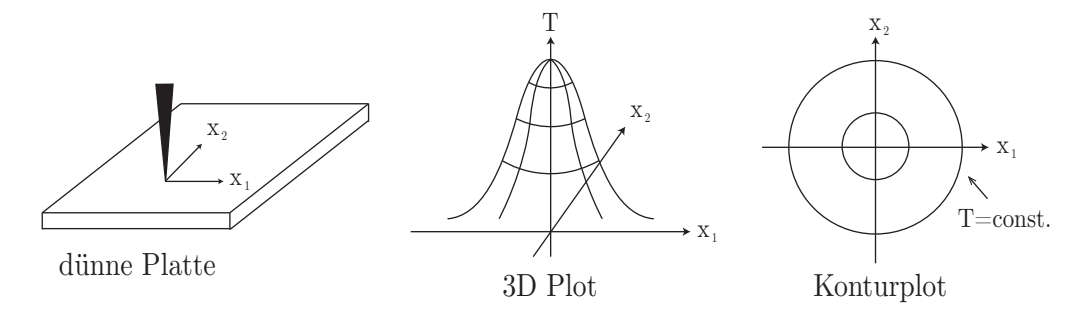


Abbildung 1.46: Skalarfeld am Beispiel Temperatur: eine dünne Platte wird in der Mitte geheizt, das Temperaturfeld ist deshalb zweidimensional und hat eine radialsymmetrische Glockenform. Diese kann entweder durch einen 3D-Plot oder einen Konturplot dargestellt werden.

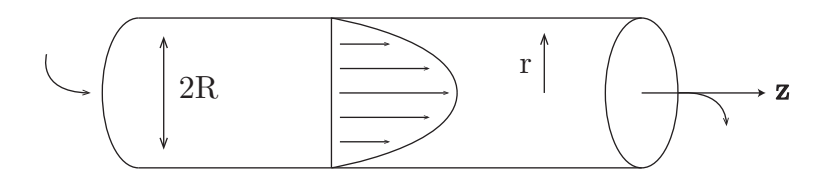


Abbildung 1.47: Vektorfeld am Beispiel Rohrströmung: die parabolische Rohrströmung ist ein einfaches und wichtiges Beispiel für ein Vektorfeld.

Bisher haben wir  $\nabla$  auf skalare Felder angewendet.  $\nabla$  kann aber auch auf Vektorfelder angewandt werden.

#### Begriffserklärung

Skalarfeld: ein Skalar, der vom Ort abhängt,  $\varphi = \varphi(\mathbf{r})$  (Beispiel: Temperatur)

Vektorfeld: ein Vektor, der vom Ort abhängt,  $\mathbf{a} = \mathbf{a}(\mathbf{r})$ 

Ein wichtiges Beispiel dafür ist die Strömung durch ein Rohr, die folgendes Strömungsfeld hat:

$$\mathbf{v} = \mathbf{e}_z \, v_0 \Big( \frac{R^2 - \rho^2}{R^2} \Big) \leftarrow \text{parabolisches Flussprofil}$$

keine  $\varphi$ -Abhängigkeit wegen Zylindersymmetrie, z tritt nur über den Einheitsvektor auf, die einzige wirklich relevante Koordinate ist die Radialkoordinate  $\rho$ , mit  $\rho^2=x_1^2+x_2^2$ .

#### Andere physikalische Beispiele für Vektorfelder

1. Gravitationsfeld  $\mathbf{F}_G(\mathbf{r})$ 

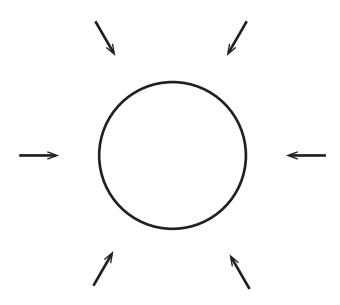


Abbildung 1.48: Gravitationsfeld

2. elektrisches Feld um eine Ladung  $\mathbf{E}(\mathbf{r})$ 

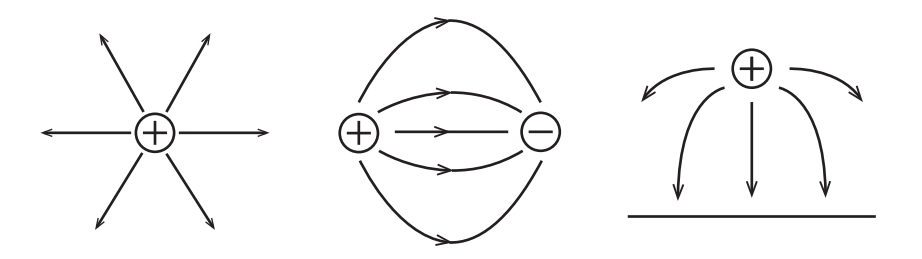


Abbildung 1.49: elektrisches Feld um eine Ladung

3. Strömungsfeld mit Verengung  $\mathbf{v}(\mathbf{r})$ 

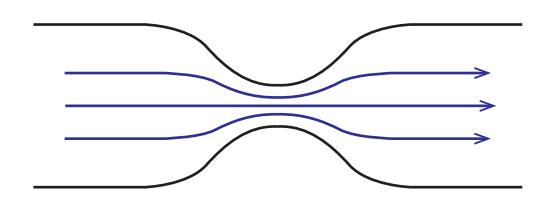


Abbildung 1.50: Strömungsfeld mit Verengung

Es gibt zwei fundamental verschiedene Möglichkeiten, den Gradienten auf ein Vektorfeld anzuwenden, die genau Skalar- und Vektorprodukt entsprechen:

1. Divergenz

$$div \mathbf{a}(\mathbf{r}) = \nabla \cdot \mathbf{a}(\mathbf{r}) = \sum_{i=1}^{3} \frac{\partial}{\partial x_i} a_i(\mathbf{r}) = \frac{\partial a_1}{\partial x_1} + \frac{\partial a_2}{\partial x_2} + \frac{\partial a_3}{\partial x_3}$$

2. Rotation

$$rot \mathbf{a}(\mathbf{r}) = \nabla \times \mathbf{a}(\mathbf{r}) = \sum_{i,j,k} \varepsilon_{ijk} (\frac{\partial}{\partial x_i} a_j) \mathbf{e}_k$$

$$= (\frac{\partial}{\partial x_2} a_3 - \frac{\partial}{\partial x_3} a_2) \mathbf{e}_1 + (\frac{\partial}{\partial x_3} a_1 - \frac{\partial}{\partial x_1} a_3) \mathbf{e}_2 + (\frac{\partial}{\partial x_1} a_2 - \frac{\partial}{\partial x_2} a_1) \mathbf{e}_3$$

$$= \det \begin{pmatrix} \mathbf{e}_1 & \mathbf{e}_2 & \mathbf{e}_3 \\ \frac{\partial}{\partial x_1} & \frac{\partial}{\partial x_2} & \frac{\partial}{\partial x_3} \\ a_1 & a_2 & a_3 \end{pmatrix}$$

Physikalische Interpretation: Divergenz beschreibt die *Quellen* des Vektorfelds. Rotation beschreibt den Grad der *Verwirbelung*. Für ein gegebenes Vektorfeld **a** nennt man

$$div \mathbf{a} = \nabla \cdot \mathbf{a}$$
 Quellenfeld von  $\mathbf{a}$   
 $rot \mathbf{a} = \nabla \times \mathbf{a}$  Wirbelfeld von  $\mathbf{a}$ 

Besondere Typen von Vektorfeldern sind

Gradientenvektorfeld:  $\mathbf{g} = \nabla \varphi$   $\varphi$  Potential

Wirbelvektorfeld:  $\mathbf{w} = \nabla \times \mathbf{a}$  a Vektorpotential

#### Rechenregeln für die Divergenz

$$\nabla \cdot (\mathbf{a} + \mathbf{b}) = \nabla \cdot \mathbf{a} + \nabla \cdot \mathbf{b}$$
$$\nabla \cdot (\alpha \mathbf{a}) = \alpha \nabla \cdot \mathbf{a}$$
$$\nabla \cdot (\varphi \mathbf{a}) = \nabla \varphi \cdot \mathbf{a} + \varphi \nabla \cdot \mathbf{a}$$

Beispiele

1. 
$$\mathbf{a}(\mathbf{r}) = \alpha$$

$$\Rightarrow \nabla \cdot \mathbf{a} = 0$$

2.  $\mathbf{a} = \alpha \mathbf{r}$ 

$$\Rightarrow \nabla \cdot \mathbf{a} = \alpha \left( \frac{\partial x_1}{\partial x_1} + \frac{\partial x_2}{\partial x_2} + \frac{\partial x_3}{\partial x_3} \right) = 3\alpha$$

3.  $\mathbf{F}(\mathbf{r}) = \alpha \frac{\mathbf{r}}{r^3}$  Coulomb- oder Gravitationskraft

$$\Rightarrow \nabla \cdot \mathbf{F} = \frac{\partial F_1}{\partial x_1} + \frac{\partial F_2}{\partial x_2} + \frac{\partial F_3}{\partial x_3} = \frac{\alpha}{r^5} (3r^2 - 3x_1^2 - 3x_2^2 - 3x_3^2) = 0 \quad \text{für } r \neq 0$$

Die Divergenz verschwindet allerdings nicht für r=0, was man mit dem Satz von Gauss zeigen kann. Wir haben also hier einen ganz speziellen Fall, nämlich eine Funktion, die fast überall verschwindet, aber nicht im Ursprung, wo eine Punktquelle sitzt.

4.  $\mathbf{a}(\mathbf{r}) = \alpha \frac{\mathbf{r}}{r^n}$  Verallgemeinerung der Beispiele 2 und 3 (n=0 bzw. n=3)  $\Rightarrow \nabla \cdot \mathbf{a} = \frac{\alpha}{r^n} (3-n)$ 

Der Fall n=3 ist also der einzige, für den die Divergenz in den Ursprung fokussiert wird.

5. Alle diese Beispiele sind kugelsymmetrisch, d.h. eigentlich wäre es angebracht, in Kugelkoordinaten zu rechnen. Verwendung der Divergenz in Kugelkoordinaten ergibt:

$$\nabla \cdot \mathbf{a} = \alpha \frac{1}{r^2 \sin \vartheta} \frac{\partial}{\partial r} (r^2 \sin \vartheta \frac{1}{r^{n-1}}) = \frac{\alpha}{r^n} (3 - n)$$

Wir bekommen also das gleiche Ergebnis wie in kartesischen Koordinaten.

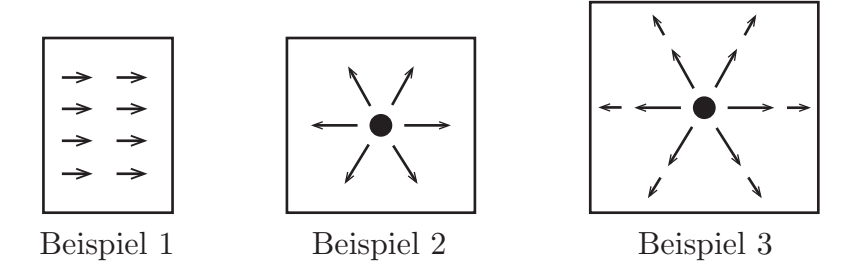


Abbildung 1.51: Veranschaulichung zu den Beispielen

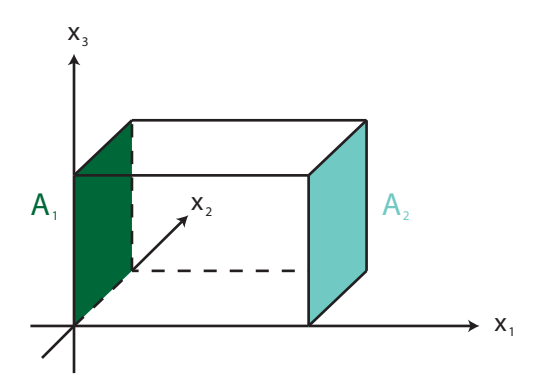


Abbildung 1.52: Durchfluss eines Feldes durch ein Volumen

#### Physikalische Bedeutung der Divergenz

$$div \mathbf{a} = \nabla \cdot \mathbf{a} = \sum_{i=1}^{3} \frac{\partial a_i}{\partial x_i}$$

Durchfluss eines Feldes durch ein Volumen  $\Delta V$  um den Punkt  $(x_1, x_2, x_3)$ :

$$D(x_1, x_2, x_3) = \lim_{\Delta V \to 0} \frac{\text{Fluss}}{\Delta V}$$

Betrachte Flüssigkeit mit Strömungsfeld  $\mathbf{v}(x_1, x_2, x_3)$  und Dichte  $\rho(x_1, x_2, x_3)$ .

$$dV = dx_1 dx_2 dx_3$$
  
# Teilchen =  $\rho dV$ 

Betrachte x-Richtung: Fluss von links nach rechts.

Reinstrom durch  $A_1$ :

$$\rho(x_1, x_2, x_3) \, \frac{dx_1 \, dx_2 \, dx_3}{dt} \, = \, \rho \, v_{x_1} \, dx_2 \, dx_3$$

Rausstrom durch  $A_2$ :

$$\rho(x_1 + dx_1, x_2, x_3) \xrightarrow{dx_1 dx_2 dx_3} \xrightarrow[Naeherung]{lineare} \left( \rho(x_1, x_2, x_3) v_{x_1} + \frac{\partial (\rho v_{x_1})}{\partial x_1} dx_1 \right) dx_2 dx_3$$

Bilanz in x-Richtung:

Rausstrom - Reinstrom = 
$$\frac{\partial(\rho v_{x_1})}{\partial x_1} dV$$

Gesamtbilanz:

$$\left[\frac{\partial(\rho v_{x_1})}{\partial x_1} + \frac{\partial(\rho v_{x_2})}{\partial x_2} + \frac{\partial(\rho v_{x_3})}{\partial x_3}\right] dV \Rightarrow D = \nabla \cdot (\rho \mathbf{v})$$

Hierbei ist  $\rho \mathbf{v}$  die Impulsstromdichte. Allgemein folgt also, dass die Divergenz den Durchfluss eines Vektorfeldes durch den Ort  $\mathbf{r}$  beschreibt, wobei im speziellen Fall von Strömungsfeldern die Impulsstromdichte relevant ist.

$$\nabla \cdot \mathbf{a} > 0$$
 Quelle,  $\nabla \cdot \mathbf{a} < 0$  Senke,

Solange es keine Quellen oder Senken gibt, werden die Strömungsfelder divergenzfrei sein.

#### Höhere Ableitungen

Der Gradient kann auch verwendet werden, um höhere Ableitungen von Skalarund Vektorfeldern zu definieren, zum Beispiel:

$$\nabla(\nabla \cdot \mathbf{a}), \quad \nabla \cdot (\nabla \times \mathbf{a}), \ etc.$$

Besonders wichtig ist die Divergenz eines Gradientenfeldes:

$$div \ grad \varphi = \nabla \cdot (\nabla \varphi) =: \Delta \varphi$$

 $\Delta$  Laplace-Operator = symmetrische zweite Ableitung in drei Dimensionen

$$\Delta \varphi = \begin{pmatrix} \frac{\partial}{\partial x_1} \\ \frac{\partial}{\partial x_2} \\ \frac{\partial}{\partial x_3} \end{pmatrix} \cdot \begin{pmatrix} \frac{\partial \varphi}{\partial x_1} \\ \frac{\partial \varphi}{\partial x_2} \\ \frac{\partial \varphi}{\partial x_3} \end{pmatrix} = \frac{\partial^2 \varphi}{\partial x_1^2} + \frac{\partial^2 \varphi}{\partial x_2^2} + \frac{\partial^2 \varphi}{\partial x_3^2}$$

#### Divergenz in krummlinigen Koordinaten

$$\mathbf{a} = \sum_{i=1}^{3} a_{y_i} \mathbf{e}_{y_i}$$

Sowohl  $\mathbf{a}_{y_i}$  als auch  $\mathbf{e}_{y_i}$  sind Funktionen von  $y_i$ .

$$\Rightarrow div \mathbf{a} = \nabla \cdot \mathbf{a} = \left(\sum_{i=1}^{3} \mathbf{e}_{y_i} \frac{1}{b_{y_i}} \frac{\partial}{\partial y_i}\right) \cdot \left(\sum_{j=1}^{3} a_{y_j} \mathbf{e}_{y_j}\right)$$
$$= \sum_{i,j} \frac{1}{b_{y_i}} (\mathbf{e}_{y_i} \cdot \mathbf{e}_{y_j}) \frac{\partial a_{y_j}}{\partial y_i} + \sum_{i,j} \frac{a_{y_j}}{b_{y_i}} (\mathbf{e}_{y_i} \cdot \frac{\partial \mathbf{e}_{y_j}}{\partial y_i})$$

Das Skalarprodukt im zweiten Term wird über einen Umweg ausgerechnet:

$$\frac{\partial^{2} \mathbf{r}}{\partial y_{i} \partial y_{j}} = \frac{\partial^{2} \mathbf{r}}{\partial y_{j} \partial y_{i}}$$

$$\Rightarrow \frac{\partial}{\partial y_{i}} (b_{y_{j}} \mathbf{e}_{y_{j}}) = \frac{\partial}{\partial y_{j}} (b_{y_{i}} \mathbf{e}_{y_{i}})$$

$$\Rightarrow b_{y_{j}} \frac{\partial \mathbf{e}_{y_{j}}}{\partial y_{i}} + \frac{\partial b_{y_{j}}}{\partial y_{i}} \mathbf{e}_{y_{j}} = b_{y_{i}} \frac{\partial \mathbf{e}_{y_{i}}}{\partial y_{j}} + \frac{\partial b_{y_{i}}}{\partial y_{j}} \mathbf{e}_{y_{i}}$$

$$\mathbf{e}_{y_{i},\times} \times b_{y_{j}} (\mathbf{e}_{y_{i}} \cdot \frac{\partial \mathbf{e}_{y_{j}}}{\partial y_{i}}) + \frac{\partial b_{y_{j}}}{\partial y_{i}} (\mathbf{e}_{y_{i}} \cdot \mathbf{e}_{y_{j}}) = b_{y_{i}} (\mathbf{e}_{y_{i}} \cdot \frac{\partial \mathbf{e}_{y_{i}}}{\partial y_{i}}) + \frac{\partial b_{y_{i}}}{\partial y_{i}} (\mathbf{e}_{y_{i}} \cdot \mathbf{e}_{y_{j}})$$

Der erste Term auf der linken Seite ist gesucht, nach ihm wollen wir auflösen. Das Skalarprodukt im zweiten Term auf der linken Seite gibt ein Kronecker-Delta. Der erste Term auf der rechten Seite fällt weg, da  $\mathbf{e}_{y_i}$  ein Einheitsvektor ist. Das Skalarprodukt im zweiten Term auf der rechten Seite gibt 1. Damit finden wir:

$$\mathbf{e}_{y_i} \cdot \frac{\partial \mathbf{e}_{y_j}}{\partial y_i} = \frac{1}{b_{y_j}} \left( \frac{\partial b_{y_i}}{\partial y_j} - \frac{\partial b_{y_j}}{\partial y_i} \delta_{ij} \right) = \begin{cases} 0 & \text{für } i = j \\ \frac{1}{b_{y_j}} \frac{\partial b_{y_i}}{\partial y_j} & \text{für } i \neq j \end{cases}$$

Mit diesem Zwischenergebnis gilt also, dass das gesuchte Endergebnis neun verschiedene Terme hat:

$$\nabla \cdot \mathbf{a} = \sum_{i=1}^{3} \frac{1}{b_{y_i}} \frac{\partial a_{y_i}}{\partial y_i} + \sum_{i,j}^{i \neq j} \frac{a_{y_j}}{b_{y_i} b_{y_j}} \frac{\partial b_{y_i}}{\partial y_j}$$

$$= \frac{1}{b_{y_1} b_{y_2} b_{y_3}} \left[ \frac{\partial}{\partial y_1} (b_{y_2} b_{y_3} a_{y_1}) + \frac{\partial}{\partial y_2} (b_{y_3} b_{y_1} a_{y_2}) + \frac{\partial}{\partial y_3} (b_{y_1} b_{y_2} a_{y_3}) \right]$$

Die Divergenz in krummlinig-orthogonalen Koordinaten ist also eine komplizierte, aber hochsymmetrische Kombination der Gewichte  $b_{y_i}$  und Komponenten  $a_{y_i}$ . Interessanterweise taucht hier auch wieder die Jacobi-Determinante  $J = b_{y_1}b_{y_2}b_{y_3}$  auf. Die Divergenz ist eine Verallgemeinerung der Ableitung erster Ordnung, d.h. es gibt natürlich Ableitungen erster Ordnung.

Gradient in Divergenz einsetzen:

$$a_{y_i} = \frac{1}{b_{y_i}} \frac{\partial}{\partial y_i}$$

$$\Rightarrow \boxed{\nabla^2 \varphi = \Delta \varphi = \frac{1}{b_{y_1} b_{y_2} b_{y_3}} \left[ \frac{\partial}{\partial y_1} \left( \frac{b_{y_2} b_{y_3}}{b_{y_1}} \frac{\partial \varphi}{\partial y_1} \right) + \frac{\partial}{\partial y_2} \left( \frac{b_{y_3} b_{y_1}}{b_{y_2}} \frac{\partial \varphi}{\partial y_2} \right) + \frac{\partial}{\partial y_3} \left( \frac{b_{y_1} b_{y_2}}{b_{y_3}} \frac{\partial \varphi}{\partial y_3} \right) \right]}$$

Der Laplace-Operator ist also auch wieder eine hochsymmetrische Kombination von Gewichten und Komponenten, und wieder kommt J vor. Er ist eine Verallgemeinerung der Ableitung zweiter Ordnung, d.h. es muss auch immer zweimal abgeleitet werden.

#### Beispiele

#### 1. Zylinderkoordinaten

$$b_{\rho} = 1, \quad b_{\varphi} = \rho \quad b_z = 1$$

$$\Rightarrow \Delta \phi = \frac{1}{\rho} \left[ \frac{\partial}{\partial \rho} \rho \frac{\partial \phi}{\partial \rho} + \frac{\partial}{\partial \varphi} \frac{1}{\rho} \frac{\partial \phi}{\partial \varphi} + \frac{\partial}{\partial z} \rho \frac{\partial \phi}{\partial z} \right]$$
$$= \frac{1}{\rho} \left[ \frac{\partial \phi}{\partial \rho} + \rho \frac{\partial^2 \phi}{\partial \rho^2} + \frac{1}{\rho} \frac{\partial^2 \phi}{\partial \varphi^2} + \rho \frac{\partial^2 \phi}{\partial z^2} \right]$$

Radialanteil nach Produktregel:  $\frac{1}{\rho} \frac{\partial \phi}{\partial \rho} + \frac{\partial^2 \phi}{\partial \rho^2}$ 

#### 2. Kugelkoordinaten

$$b_r = 1, \quad b_{\vartheta} = r \quad b_{\varphi} = r \sin \vartheta$$

$$\Rightarrow \Delta \phi = \frac{1}{r^2 \sin \vartheta} \left[ \frac{\partial}{\partial r} r^2 \sin \vartheta \frac{\partial \phi}{\partial r} + \frac{\partial}{\partial \vartheta} \sin \vartheta \frac{\partial \phi}{\partial \vartheta} + \frac{\partial}{\partial \varphi} \frac{1}{\sin \vartheta} \frac{\partial \phi}{\partial \varphi} \right]$$
Radialanteil nach Produktregel: 
$$\frac{\partial^2 \phi}{\partial r^2} + \frac{2}{r} \frac{\partial \phi}{\partial r}$$

#### Anwendung: Laplace in Kugelkoordinaten

Der Laplace-Operator in Kugelkoordinaten ist essentiell für die Lösung von Problemen in der Elektrodynamik (insbesondere Streuprobleme in der Optik), für die Lösung des Wasserstoffatoms in der Quantenmechanik sowie für viele weitere Probleme, z.B. in der Kontinuumsmechanik. Hier drei einfache Ergebnisse, die wir jetzt schnell bekommen können:

$$(1) \phi = r \qquad \Rightarrow \Delta \phi = \frac{1}{r^2} \frac{\partial}{\partial r} r^2 \frac{\partial}{\partial r} r = \frac{2}{r}$$

$$(2) \phi = \frac{1}{r} \qquad \Rightarrow \Delta \phi = \frac{1}{r^2} \frac{\partial}{\partial r} r^2 \frac{\partial}{\partial r} \frac{1}{r} = 0 \quad \text{für } r \neq 0$$

$$(3) \phi = \frac{e^{-\alpha r}}{r} \Rightarrow \Delta \phi = \frac{1}{r^2} \frac{\partial}{\partial r} r^2 \frac{\partial}{\partial r} \phi = \frac{1}{r^2} \frac{\partial}{\partial r} r^2 \left( \frac{e^{-\alpha r}(-\alpha)r - e^{-\alpha r}}{r^2} \right)$$

$$= -\frac{1}{r^2} (e^{-\alpha r}(-\alpha)(1 + \alpha r) + e^{-\alpha r}(\alpha)) = \alpha^2 \frac{e^{-\alpha r}}{r}$$

$$= \alpha^2 \phi$$

In (2) handelt es sich um das Coulomb- bzw. Gravitationspotential und in (3) um das Yukawa-Potential, das z.B. in der Elektrostatik und in der Kernphysik vorkommt. Mit diesen Rechnungen haben wir auch Lösungen für Differentialgleichungen wie  $\Delta \phi = 0$  (für  $r \neq 0$ ) und  $\Delta \phi = \alpha^2 \phi$  gefunden.

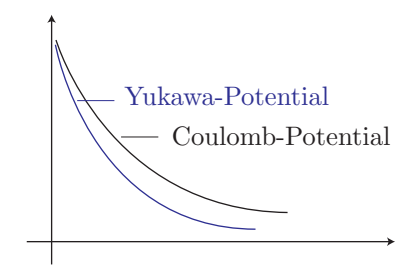


Abbildung 1.53: Yukawa- und Coulombpotential

# 1.8 Geschwindigkeit und Beschleunigung in krummlinigen Koordinaten

Im allgemeinen Fall gilt:

$$\mathbf{v}(t) = \sum_{i=1}^{3} v_{y_i} \, \mathbf{e}_{y_i}$$

$$\mathbf{a}(t) = \sum_{i=1}^{3} a_{y_i} \, \mathbf{e}_{y_i}$$

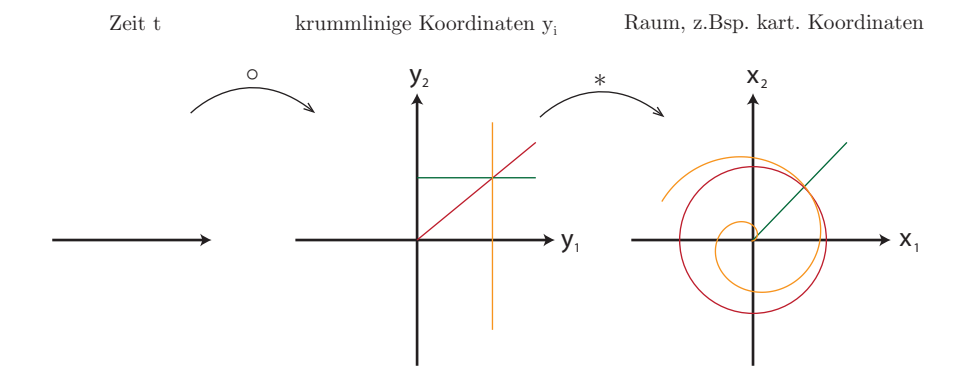


Abbildung 1.54: Wir betrachten jetzt die Verkettung von zwei Abbildungen: von der Zeit geht es über die krummlinigen Koordinaten in den kartesischen Raum.

Wie rechnen wir  $v_{y_i}$  und  $a_{y_i}$  aus?

#### Totales Differential des Ortsvektors

$$d\mathbf{r} = \sum_{i=1}^{3} \frac{\partial \mathbf{r}}{\partial y_i} dy_i = \sum_{i=1}^{3} b_{y_i} \mathbf{e}_{y_i} dy_i$$

$$\Rightarrow \mathbf{v} = \frac{d\mathbf{r}}{dt} = \sum_{i=1}^{3} b_{y_i} \mathbf{e}_{y_i} \underbrace{\dot{y}_i}_{\circ}$$

$$\Rightarrow \boxed{v_{y_i} = b_{y_i} \dot{y}_i}$$

Die  $a_{y_i}$  müssen für die gewünschten Koordinatensysteme explizit ausgerechnet werden.

#### Beispiele

#### 1. Polarkoordinaten

$$b_r = 1, \quad b_{\varphi} = r$$
  
 $\Rightarrow v_r = \dot{r}, \quad v_{\varphi} = r \dot{\varphi}$   
 $\Rightarrow \mathbf{v} = \dot{r} \mathbf{e}_r + r \dot{\varphi} \mathbf{e}_{\varphi}$ 

Außerdem:

$$\mathbf{r} = r\mathbf{e}_r \Rightarrow \dot{\mathbf{r}} = \mathbf{v} = \dot{r}\,\mathbf{e}_r + r\,\dot{\mathbf{e}}_r$$
  
  $\Rightarrow \left[\dot{\mathbf{e}}_r = \dot{\varphi}\,\mathbf{e}_{\varphi}\right]$ 

Erinnerung: Einheitsvektor  $\mathbf{e}^2 = 1 \Rightarrow \mathbf{e} \cdot \dot{\mathbf{e}} = 0 \Rightarrow \dot{\mathbf{e}} \perp \mathbf{e}$ 

#### Allgemein:

$$\mathbf{e}_{y_i} \cdot \mathbf{e}_{y_j} = \delta_{ij} \Rightarrow \dot{\mathbf{e}}_{y_i} \cdot \mathbf{e}_{y_j} + \mathbf{e}_{y_i} \cdot \dot{\mathbf{e}}_{y_j} = 0$$

$$\Rightarrow \dot{\mathbf{e}}_{y_i} \cdot \mathbf{e}_{y_j} = -\mathbf{e}_{y_i} \cdot \dot{\mathbf{e}}_{y_j}$$

$$i = j \Rightarrow \dot{\mathbf{e}}_{y_i} \cdot \mathbf{e}_{y_i} = -\mathbf{e}_{y_i} \cdot \dot{\mathbf{e}}_{y_i} = -\dot{\mathbf{e}}_{y_i} \cdot \mathbf{e}_{y_i} \Rightarrow \dot{\mathbf{e}}_{y_i} \cdot \mathbf{e}_{y_i} = 0$$

Wir wissen:  $\dot{\mathbf{e}}_{\varphi}$  muss senkrecht auf  $\mathbf{e}_{\varphi}$  stehen

$$\Rightarrow \dot{\mathbf{e}}_{\varphi} = \alpha \cdot \mathbf{e}_{r}$$

$$\Rightarrow \alpha = \mathbf{e}_{r} \cdot \dot{\mathbf{e}}_{\varphi} = -\dot{\mathbf{e}}_{r} \cdot \mathbf{e}_{\varphi} = -\dot{\varphi}\mathbf{e}_{\varphi} \cdot \mathbf{e}_{\varphi} = -\dot{\varphi}$$

$$\Rightarrow \left[\dot{\mathbf{e}}_{\varphi} = -\dot{\varphi}\mathbf{e}_{r}\right]$$

$$\Rightarrow \mathbf{a} = \dot{\mathbf{v}} = \ddot{r}\mathbf{e}_{r} + \dot{r}\dot{\mathbf{e}}_{r} + (\dot{r}\dot{\varphi} + r\ddot{\varphi})\mathbf{e}_{r} + r\dot{\varphi}\dot{\mathbf{e}}_{\varphi}$$

Mit  $\mathbf{e}_r = \dot{\varphi} \, \mathbf{e}_{\varphi}$  und  $\dot{\mathbf{e}}_{\varphi} = -\varphi \, \mathbf{e}_r$  ergibt sich:

$$\Rightarrow \mathbf{a} = \mathbf{e}_r(\ddot{r} - r\dot{\varphi}^2) + \mathbf{e}_{\varphi}(2\dot{r}\dot{\varphi} + r\ddot{\varphi})$$

$$\Rightarrow \boxed{a_r = \ddot{r} - r\dot{\varphi}^2, \quad a_{\varphi} = 2\dot{r}\dot{\varphi} + r\ddot{\varphi}}$$

#### Anwendung

a) gleichförmige Kreisbewegung

$$r=R=const.,\;\varphi=\omega t,\;\dot{\varphi}=\omega$$

$$\Rightarrow v_r = 0, \ v_\varphi = R\omega, \ v = \sqrt{\mathbf{v}^2} = \sqrt{v_r^2 + v_\varphi^2} = R\omega$$
 
$$a_r = -R\omega^2, \ a_\varphi = 0, \ a = \sqrt{a_r^2 + a_\varphi^2} = R\omega^2 \qquad \text{Zentrifugalbeschl.}$$

b) nichtgleichförmige Kreisbewegung  $r = R = const., \ \ddot{\varphi} \neq 0$ 

$$\Rightarrow a_{\varphi} = R\ddot{\varphi} \Rightarrow a = R\sqrt{\dot{\varphi}^4 + \ddot{\varphi}^2}$$

Dimensionen:  $[a] = \frac{L}{T^2}$ 

c) Spiralbewegung 
$$\dot{\varphi} = \omega = const., \ r = c \cdot t$$

$$\Rightarrow v_r = c, \ v_{\varphi} = c \, t \, \omega$$

$$a_r = -c \, t \, \omega^2, \ a_{\omega} = 2c \omega$$

#### 2. Zylinderkoordinaten

$$b_{\rho} = 1, \ b_{\varphi} = \rho, \ b_{z} = 1$$
  
 $\Rightarrow v_{\rho} = \dot{\rho}, \ v_{\varphi} = \rho \, \dot{\varphi}, \ v_{z} = \dot{z}$ 

Rechnung zeigt:

$$\dot{\mathbf{e}}_z = 0, \ \dot{\mathbf{e}}_\rho = \dot{\varphi}\mathbf{e}_\varphi, \ \dot{\mathbf{e}}_\varphi = -\dot{\varphi}\dot{\mathbf{e}}_r$$

- $\rightarrow$  wie bei Polarkoordinaten
- $\rightarrow$  2D Beschleunigung gleich wie oben, ausserdem  $a_z=\ddot{z}$

#### 3. Kugelkoordinaten

$$b_r = 1, \ b_{\vartheta} = r, \ b_{\varphi} = r \sin \vartheta$$
 
$$v_r = \dot{r}, \ v_{\vartheta} = r \, \dot{\vartheta}, \ v_{\varphi} = r \sin \vartheta \, \dot{\varphi}$$

Ergebnis für die  $\dot{\mathbf{e}}_{y_i}$ :

$$\begin{pmatrix} \dot{\mathbf{e}}_r \\ \dot{\mathbf{e}}_{\vartheta} \\ \dot{\mathbf{e}}_{\varphi} \end{pmatrix} = \begin{pmatrix} 0 & \dot{\vartheta} & \sin\vartheta\,\dot{\varphi} \\ -\dot{\vartheta} & 0 & \cos\vartheta\dot{\varphi} \\ -\sin\vartheta\,\dot{\varphi} & -\cos\vartheta\,\dot{\varphi} & 0 \end{pmatrix} \begin{pmatrix} \mathbf{e}_r \\ \mathbf{e}_{\vartheta} \\ \mathbf{e}_{\varphi} \end{pmatrix}$$

Ergebnis für die Beschleunigung:

$$\begin{split} a_r &= \ddot{r} - r \,\dot{\vartheta}^2 - r \sin^2 \vartheta \,\dot{\varphi}^2 \\ a_\vartheta &= r \ddot{\vartheta} + 2 \dot{r} \dot{\vartheta} - r \sin \vartheta \cos \vartheta \dot{\varphi}^2 \\ a_\varphi &= r \sin \vartheta \ddot{\varphi} + 2 \sin \vartheta \dot{r} \dot{\varphi} + 2 r \cos \vartheta \,\dot{\vartheta} \dot{\varphi} \end{split}$$

# 2 Dynamik des Massenpunktes

#### 2.1 Die Newtonsche Gesetze

Die Dynamik befasst sich mit Kräften als <u>Ursache</u> der Bewegung. Die Rolle der Kräfte wird durch die drei Newtonsche Gesetze beschrieben. Formal handelt es sich dabei um ein Axiomensystem, dessen Aussagen innerhalb der Theorie nicht weiter begründet werden (das historische Vorbild von Newton waren die *Elemente* von Euklid). In der Newtonschen Mechanik geht es darum, die Konsequenzen dieser drei Gesetze herzuleiten. Der letzte Massstab ist dabei wie immer in der Physik das Experiment.

#### 1. Lex Prima, Trägheitsgesetz

Jeder Körper verharrt im Zustand der Ruhe oder der gleichförmigen Bewegung, wenn er nicht durch Kräfte gezwungen wird, seinen Zustand zu ändern. Bemerkungen: Wichtig ist, dass die Bewegungs änderung, nicht die Bewegung selbst einer Kraft bedarf. Das ist der Unterschied zu Aristoteles, der noch meinte, dass jede Bewegung eine Kraft benötigt. Für Aristoteles war eben die Ruhe der Referenzzustand, und für die Newton ist es die gleichförmige Bewegung. Newton führt hier die richtigen Referenzgrößen ein:

- a) gleichförmige Bewegung für Körper
- b) Inertialsystem für Bezugssystem

Ein auf der Erde ruhendes Labor ist für viele Zwecke ein geeignetes Inertialsystem, ansonsten denken wir an den Fixsternhimmel als geeignetes Intertialsystem.

Ein Zustand gleichförmiger Bewegung ist experimentell schwer zu realisieren.

- → Dreckeffekte eliminieren (z.Bsp. Reibung, Scheinkräfte)
- $\rightarrow$  Es war die historische Leistung von Galileo Galilei, zu zeigen, dass man auf der Erde die Reibungskräfte entfernen muss, um das Trägheitsgesetz experimentell zu beweisen.
- $\rightarrow$  Es war die historische Leistung von Isaac Newton, zu erkennen, dass auf der Erde und im Weltraum die gleichen Bewegungsgesetze gelten. Im Weltraum gibt es keine Reibung, da findet man das Trägheitsgesetz also in Reinform.

#### 2. Lex Seconda, Bewegungsgesetz

Die Änderung der Bewegung ist der Einwirkung der bewegenden Kraft proportional und erfolgt in deren Richtung.

Bemerkungen: Die Kraft ist also ein Vektor, er hat Richtung und Betrag.  $\ddot{A}nderung\ der\ Bewegung = \ddot{A}nderung\ der\ Geschwindigkeit = Beschleunigung$ 

$$\Rightarrow \mathbf{F} = m \frac{d\mathbf{v}}{dt} = m\mathbf{a}$$

m ist die  $tr\"{a}ge\ Masse$ , eine skalare Eigenschaft des Körpers, die sein Beharrungsvermögen gegenüber Bewegungsänderungen beschreibt.

In manchen Situationen ändert sich die Masse, zum Beispiel

#### a) Relativitätstheorie

$$m = \frac{m_0}{\sqrt{1 - (\frac{v}{c})^2}} = \begin{cases} m_0 & v << c \\ \infty & v \le c \end{cases}$$

#### b) Verbrennungsprozesse: Auto, Rakete

Dann benötigen wir eine allgemeinere Formulierung des 2. Gesetzes:

$$\mathbf{F} = \frac{d}{dt}(m\mathbf{v}) = \dot{\mathbf{p}}$$

 $\mathbf{p} = m\mathbf{v}$  ist der *Impuls*. Das 2. Gesetz ist die historische Leistung von Isaac Newton, der dafür sogar die Infinitesimalrechnung erfunden hat (zeitgleich und unabhängig von Gottfried Wilhelm Leibniz). Wenn die Masse bekannt ist, kann man also aus der Beschleunigung (Kinematik) auf die Kräfte schließen (Dynamik). Mathematisch gesehen haben wir es mit einer gewöhnlichen Differentialgleichung zweiter Ordnung zu tun. Höhere Ableitungen treten in der Klassischen Mechanik glücklicherweise nicht auf. In diesem Gesetz werden Ursache (Kräfte) und Wirkung (Bewegung) getrennt. Das hat Aristoteles auch schon gemacht, aber er hat Kräfte mit Geschwindigkeit in Verbindung gebracht, nicht mit Beschleunigung, weil er im falschen Referenzsystem war (siehe erstes Gesetz). Mit dem 2. Gesetz kann dann aus der Kinematik (a) auf die Dynamik ( $\mathbf{F}$ ) geschlossen werden und umgekehrt.

#### 3. Lex Tertia, Reaktionsgesetz

Die Wirkungen zweier Körper aufeinander sind stets gleich und von entgegengesetzter Richtung.

**Bemerkungen** Die zwei Kraftvektoren sind also anti-parallel zueinander:

$$\mathbf{F}_{12} = -\mathbf{F}_{21}$$
  $actio = reactio$ 

#### 2 Dynamik des Massenpunktes



Abbildung 2.1: Wirkungen zweier Körper aufeinander

Das 3. Gesetz ist so wichtig, weil die Reziprokität einen Energieaustausch ermöglicht und damit zur Energieerhaltung führt. Das 3. Gesetz erlaubt es uns auch, Massen zu messen:

$$m_1\mathbf{a}_1 = -m_2\mathbf{a}_2 \Rightarrow \frac{m_1}{m_2} = \left|\frac{a_2}{a_1}\right|$$

Als Masseneinheit führen wir das Kilogram (kg) ein.

$$\rightarrow$$
 Krafteinheit  $\frac{kg \ m}{s^2} = N$  Newton

Wenn ein 1 kg Körper in 1 s gleichmässig um die Geschwindigkeit 1 m/s beschleunigt wird, dann wirkt eine konstante Kraft von 1 N.

#### 4. Superpositionsprinzip (4. Gesetz)

Verschiedene Kräfte addieren sich linear:

$$\mathbf{F} = \sum_{i=1}^n \mathbf{F}_i$$

Dieses Gesetz ist vor allem wichtig, um Mehrteilchensysteme als geschlossene Systeme behandeln zu können. Ausserdem sagt es, dass verschiedene Arten von Kräften sich nicht gegenseitig beeinflussen.

Insgesamt hat Newton mit seinen Gesetzen die Physik als Disziplin begründet. Wichtige Elemente waren Abstraktion (Reibungskräfte vernachlässigen, Trägheit als wesentliches Element), Vereinheitlichung (Himmel und Erde haben die gleichen Bewegungsgesetze) und Mathematisierung (ein mathematisches System, mit dem man rechnen kann).

### 2.2 Grundschema der Klassischen Mechanik

Kräfte treten idR als Kraftfelder  $\mathbf{F} = \mathbf{F}(\mathbf{r}, \dot{\mathbf{r}}, t)$  auf. Eine Abhängigkeit von der Beschleunigung oder höheren Ableitungen gibt es idR nicht.

#### 1. Freier Fall

Hierbei handelt es sich um den einfachsten Fall.

$$\mathbf{F}_s = m_s \mathbf{g} = const.$$
 
$$\begin{bmatrix} \mathbf{g} = (0,0,-1) \\ g = 9,81 \text{ } m/s^2 \text{ Erbeschleunigung} \\ m_s \text{ schwere Masse} \end{bmatrix}$$

Experimentelle Beobachtung: träge = schwere Masse,  $m_s = m \Rightarrow 2$ . Gesetz:  $m \mathbf{a} = m \mathbf{g} \Rightarrow \mathbf{a} = \mathbf{g} \Rightarrow$  Alle Körper fallen gleich schnell (in einem Inertialsystem und im Vakuum). Bei Reibung muss typischerweise noch ein Term in der Geschwindigkeit eingefügt werden, der aber nicht von der Masse abhängt (z.B. Stokes-Reibung in einer Flüssigkeit, Reibungskoeffizient geht linear in Ausdehnung, aber nicht mit der Masse). Deshalb werden größere Massen weniger stark von der Reibung abgebremst (z.B. beim Ski- oder Radfahren).

#### 2. Gravitationskraft

Wir verwenden das Zentralfeld aus dem Kinematik-Kapitel

$$\mathbf{F}(\mathbf{r}) = f(r)\mathbf{e}_r$$

und für die Abstandsabhängigkeit

$$f(r) = -\gamma \, \frac{mM}{r^2} \qquad \qquad \left[ \, \gamma = 6,667 \cdot 10^{-11} \, m^3 / kg \, s^2 \, \, \text{Gravitationskonstante} \right]$$

Newton hat die  $1/r^2$ -Abhängigkeit aus dem 3. Keplerschen Gesetz erschlossen:  $r^3\omega^2=const$  für die Planeten auf ihren Umlaufbahnen, also bei der Annahme einer Kreisbewegung  $a=r\omega^2=const/r^2$ . Die kinematische Beschleunigung muss also durch eine entsprechende Zentripetalkraft balanciert werden. Da Massen nur positiv sein können, ist die Gravitation immer anziehend. Dies wird durch das Minuszeichen im Kraftgesetz ausgedrückt.

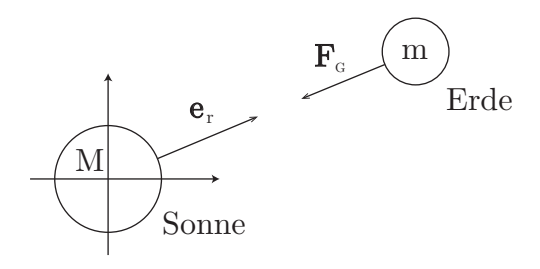


Abbildung 2.2: Veranschaulichung zur Gravitationskraft

#### 2 Dynamik des Massenpunktes

#### 3. Coulombkraft

Wir haben wieder das gleiche Zentralfeld wie bei der Gravitation, aber die Vorfaktoren sind andere:

$$f(r) = \frac{q_1 q_2}{4\pi \varepsilon_0 r^2} \qquad \qquad \begin{bmatrix} 4\pi & \text{Konvention im SI-System} \\ \varepsilon_0 = 8.85 \cdot 10^{-12} C^2 / Nm^2 & \text{elektrische Feldkonstante} \end{bmatrix}$$

Die Coulombkraft ist anziehend oder abstossend je nach Vorzeichen der Ladungen. Im Gegensatz zur Gravitationskraft können sich Ladungen gegenseitig ausgleichen.



anziehend bei entgegengesetzter Ladung

Abbildung 2.3: Veranschaulichung zur Coulombkraft

#### 4. Harmonischer Oszillator

$$\mathbf{F}(\mathbf{r}) = -k\mathbf{r}$$

Es gibt eine lineare Kraft, die das Teilchen immer in den Ursprung zurückzieht, mit der Federkonstante k. In einer Dimension hat man also

$$m\ddot{x} + kx = 0$$

Mit der Definition  $\omega_0 = \sqrt{k/m}$  haben wir

$$\ddot{x} + \omega_0^2 x = 0$$

Für die Anfangsbedingungen x(0) = 0 und  $v(0) = v_0$  ist die Lösung

$$x(t) = \frac{v_0}{\omega_0} \sin \omega_0 t$$

wie man leicht nachrechnet durch Einsetzen. Der harmonische Oszillator schwingt also mit einer reinen Sinuswelle und mit einer klaren Frequenz. Wenn man Reibung und äußere Anregung dazunimmt, dann hat man

$$m\ddot{x} + \xi \dot{x} + kx = F_{ext}(t)$$

mit dem Reibungskoeffizienten  $\xi$ . Diese Fälle werden wir später noch im Detail diskutieren.

#### 5. Lorentzkraft

$$\mathbf{F} = q \big[ \mathbf{E}(\mathbf{r}, t) + \mathbf{v} \times \mathbf{B}(\mathbf{r}, t) \big]$$
 \begin{align\*} \mathbb{E} & \text{elektrische Feldstärke} \\ \mathbb{B} & \text{magnetische Induktion} \end{align\*}

Die Lorentzkraft wirkt auf geladene Teilchen in elektromagnetischen Feldern und ist eines der wenigen Beispiele für eine Geschwindigkeits-abhängige Kraft.

Die Kombination der drei Newtonschen Gesetze mit den typischen Kraftfeldern führt zum

#### Grundschema der Klassischen Mechanik

#### Schritt 1: Aufstellen der Bewegungsgleichung

Ziel ist es, die Bewegungsgleichung  $\mathbf{F} = m \mathbf{a} = m \ddot{\mathbf{r}}$  aufzustellen. Mathematisch gesehen handelt es sich dabei um ein drei-dimensionales System gewöhnlicher Differentialgleichungen zweiter Ordnung:

$$m\ddot{x}_i - F_i(\dot{x}_1, \dot{x}_2, \dot{x}_3, x_1, x_2, x_3, t) = 0 \quad 1 \le i \le 3$$

**Begriffserklärung** Sei x(t) eine Funktion von t. Dann ist die n-te Ableitung  $x^{(n)}(t) = \frac{d^n}{dt^n} x(t)$ . Eine gewöhnliche Differentialgleichung n-ter Ordnung ist eine Beziehung

$$f(x^{(n)}(t), x^{(n-1)}(t), \dots, \dot{x}(t), x(t), t) = 0$$

Beispiel: 
$$x^{(5)}(t) + 3\dot{x}(t)x(t) + 3t = 0$$

**Abkürzungen** Differentialgleichung = Dgl. / DGL / DG gewöhnliche Dgl. = ODE = ordinary differential equation

#### Klassifikation

gewöhnlich Es gibt nur <u>eine</u> unabhängige Variable.

partiell Es gibt <u>mehrere</u> unabhängige Variablen.

PDE = partial differential equation = partielle Dgl. Beispiel für PDE:

$$\Delta \phi = \frac{\partial^2 \phi}{\partial x_1^2} + \frac{\partial^2 \phi}{\partial x_2^2} + \frac{\partial^2 \phi}{\partial x_3^2} = f(x_1, x_2, x_3)$$

z.Bsp. 
$$\Delta \phi = 0, \Delta \phi = \alpha^2 \phi$$

Viele zentrale Gleichungen der Physik sind PDEs: Maxwell-Gleichungen, Schrödinger-Gleichung, Navier-Stokes-Gleichung.

explizit

Die Dgl. ist auflösbar nach der höchsten Ableitung:

$$x^{(n)}(t) = g(x^{(n-1)}(t), \dots, \dot{x}(t), x(t), t)$$

Ansonsten heißt die Dgl. implizit.

linear

Eine Dgl. ist linear, wenn f linear ist (also z.B. f(x) = 1 + x, aber nicht  $f(x) = x^2$ ).

 $\Rightarrow$  Operatorschreibweise

$$L^{(n)}(t)x(t) = h(t), \quad L^{(n)}(t) = \sum_{i=0}^{n} f_i(t)\frac{d^i}{dt^i}$$

Beispiel:

$$x^{(5)}(t) + 3x(t) + 3t = 0 \Rightarrow L = \frac{\partial^5}{\partial t^5} + 3, \quad h(t) = -3t$$

Für die Lösung linearer ODEs gibt es viele mächtige Werkzeuge aus der Mathematik.

Gegenbeispiel:  $\dot{x}(t)x(t)$  ist ein nicht-linearer Term  $\Rightarrow x^{(5)}(t) + 3\dot{x}(t)x(t) + 3t = 0$  ist eine nicht-lineare Dgl.

Nicht-lineare ODEs sind in der Regel sehr schwer zu lösen, da es dafür keine Systematik gibt.

homogen

Keine Terme ohne x(t), also z.B. h(t)=0 im linearen Fall. Andernfalls heißt die Dgl. inhomogen.

#### Schritt 2: Mathematische Lösung

Die mathematische Lösung der Dgl. erfolgt analytisch (mit Methoden wie der Separation der Variablen) oder numerisch (z.Bsp. Euler-oder Runge-Kutta-Verfahren).

#### Schritt 3: Physikalische Interpretation

Das gewonnene Ergebnis muss physikalisch Sinn machen. Wann immer möglich, sollten Dimensionsbetrachtungen und bekannte Grenzfälle zur Prüfung der Lösung durchgeführt werden.

## 2.3 Energie- und Drehimpulserhaltung

Im Prinzip könnte man jetzt durch die obigen Beispiele gehen und in jedem Fall mathematisch die entsprechenden Differentialgleichungen lösen. Um aber die physikalische Einsicht zu vertiefen und die Lösungen zu vereinfachen, lohnt es sich, erst einmal nach Erhaltungsgrößen zu suchen. In der fortgeschrittenen theoretischen Physik werden Erhaltungsgrößen und Symmetrien dann das Konstruktionsprinzip für neue Theorien.

#### Energie in 1D

Sei die Kraft F = F(x) nur vom Raum abhängig.

$$\Rightarrow m\ddot{x} = F(x) \qquad | \dot{x}$$

$$\Rightarrow m\ddot{x}\dot{x} = F \dot{x}$$

$$\Rightarrow \frac{d}{dt} \left(\frac{1}{2}m\dot{x}^2\right) = -\frac{dV(x(t))}{dt} \quad \text{mit } V(x) = -\int_{x_0 \text{ (beliebig)}}^x F(x') \, dx'$$

Zum Beispiel hätten wir für den harmonischen Oszillator F = -kx und damit  $V(x) = kx^2/2$ , aber diese Betrachtung ist richtig für alle Kraftgesetze, die nur von x abhängen. Wir betrachten nun die Arbeit, die nötig ist, um einen Massenpunkt um eine Strecke dx gegen eine äußere Kraft zu bewegen:

$$dW = -F dx [W wegen work$$

Die Arbeit definieren wir als positiv, dW > 0, falls sie entgegen der Richtung der Kraft wirkt, d.h. falls sign F = -sign dx. Dann wird an dem Teilchen Arbeit geleistet. Andernfalls ist die Arbeit negativ, dW < 0, das Teilchen leistet Arbeit. Die Arbeit, die nötig ist, um das Teilchen auf einem endlichen Wegstück von  $x_1$  nach  $x_2$  zu bewegen, ist

$$W_{21} = -\int_{x_1}^{x_2} F(x') dx' = V(x_2) - V(x_1)$$
 [V Potential oder potentielle Energie

also genau die Differenz des Potentials. Das Potential beschreibt die potentielle Möglichkeit des Teilchens, Arbeit zu leisten.

Beispiel Schwerefeld

$$F_g = -mg$$

$$\Rightarrow V(x) = mg x + C$$

$$\Rightarrow W_{21} = V(x_2) - V(x_1) = mg(x_2 - x_1)$$

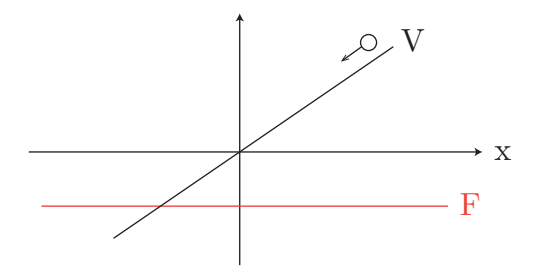


Abbildung 2.4: Schwerefeld: das Potential steigt mit der Höhe, die Kraft ist gerade der negative Gradient.

Je höher das Teilchen, desto mehr Potential hat es. Ein Plot des Potentials entspricht genau dem Höhenprofil (bis auf eine beliebige additive Konstante).

Eine Integration der Bewegungsgleichung ergibt

$$\frac{m}{2}\dot{x}^{2} = -V(x) + \underbrace{E}_{\text{Integr.konst.}}$$

$$= T \text{ Energie}$$

$$\Rightarrow T + V = E$$
Energieerhaltung (für  $F = F(x)$ )

Für Kräfte, die nur vom Ort abhängen, ist die mechanische Energie erhalten. Das ist <u>nicht</u> der 1. Hauptsatz der Thermodynamik, der auch nicht-mechanische Energieformen einschließt (Wärme), dann ist die Energie in jedem Fall erhalten. Energie, Arbeit und Potential haben die gleiche Einheit:

$$[E] = Nm = \frac{kg \ m^2}{s^2} = J$$
 Joule

Die Energieerhaltung bedeutet eine starke Einschränkung der mögl. Teilchenbewegung, die man ohne Rechnung aus einem Plot des Potentials erschliessen kann. Wegen  $T \geq 0$  sind Bereiche mit V > E (klassisch) verboten (in der Quantenmechanik ist das anders). Die Punkte mit E = V sind Umkehrpunkte mit T = 0 und deshalb v = 0. Die Extrema mit V'(x) = 0 sind mögliche Ruhepunkte. In einer Mulde um ein Minimum gibt es bei entsprechender kinetischer Energie Oszillationen. Wenn ein Teilchen gegen eine Potentialbarriere anläuft und dann umkehrt, spricht man von Streuung (in höheren Dimensionen würde das Teilchen typischerweise zur Seite weggestreut werden).

Die Energieerhaltung erlaubt auch eine Lösung der Bewegungsgleichung:

$$\frac{m}{2}\dot{x}^2 = E - V(x) \implies \dot{x} = \sqrt{\frac{2}{m}(E - V(x))}$$

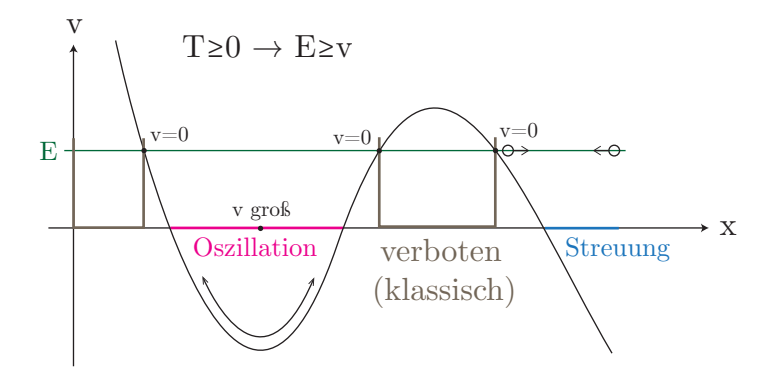


Abbildung 2.5: Aus der Potentiallandschaft kann die Teilchenbewegung qualitativ vorhergesagt werden.

Durch Separation der Variablen erhält man:

$$\frac{dx}{\sqrt{\frac{2}{m}(E - V(x))}} = dt \implies \left[ t - t_0 = \int_{x_0}^x \frac{dx'}{\sqrt{\frac{2}{m}(E - V(x'))}} \right]$$

Die allgemeine Lösung erhält man durch Auswertung des Integrals und Umkehrung von t = t(x) nach x = x(t).

Beispiel Harmonischer Oszillator

$$V(x) = \frac{1}{2}kx^2$$
,  $t_0 = 0$ ,  $x_0 = 0$ ,  $E = \frac{1}{2}mv_0^2$ 

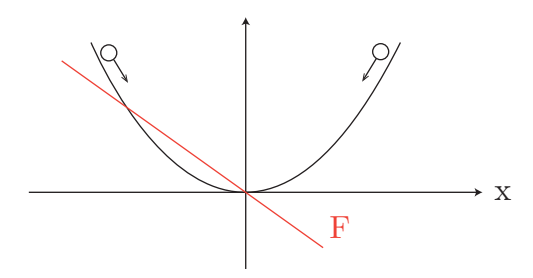


Abbildung 2.6: Harmonischer Oszillator

$$\Rightarrow t = \int_0^x \frac{dx'}{\sqrt{\frac{2}{m}(\frac{1}{2}mv_0^2 - \frac{1}{2}kx^2)}} = \int_0^x \frac{dx'}{\sqrt{v_0^2 - \omega_0^2 x'^2}} = \int_0^x \frac{dx'}{v_0\sqrt{1 - \frac{\omega_0^2}{v_0^2}x'^2}}$$

Mit der Variablensubsitution  $u = \frac{\omega_0}{v_0} x'$ ,  $dx' = \frac{v_0}{\omega_0} du$  ergibt sich:

$$t = \int_0^u \frac{\frac{v_0}{\omega_0} du}{v_0 \sqrt{1 - u^2}} = \int_0^u \frac{\frac{1}{\omega_0} du}{\sqrt{1 - u^2}} = \frac{1}{\omega_0} \arcsin u = \frac{1}{\omega_0} \arcsin \frac{\omega_0 x}{v_0}$$

$$\Rightarrow \left[ x(t) = \frac{v_0}{\omega_0} \sin(\omega_0 t) \right]$$

Das ist genau die Lösung, die wir für den harmonischen Oszillator mit den gegebenen Anfangsbedingungen  $(x(0) = 0, v(0) = v_0)$  schon berechnet haben.

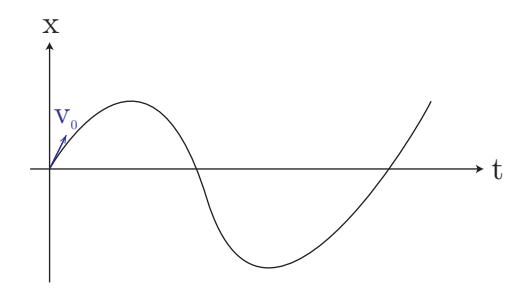


Abbildung 2.7: Bei den verwendeten Anfangsbedingungen für den harmonischen Oszillator ohne Reibung (also mit Energieerhaltung) ergibt sich eine reine Sinusschwingung.

## Energie in 3D

Wir betrachten jetzt beliebige Kraftfelder  $\mathbf{F} = \mathbf{F}(\mathbf{r}, \dot{\mathbf{r}}, t)$ . Die Arbeit, um einen Massenpunkt von  $P_1$  nach  $P_2$  zu bringen, beträgt:

$$W_{21} = -\int_{P_1}^{P_2} \mathbf{F}(\mathbf{r}, \dot{\mathbf{r}}, t) \cdot d\mathbf{r}$$
 Linien-, Weg- oder Kurvenintegral

Um dieses Integral auszuwerten, benötigen wir eine parametrisierte Raumkurve  $\mathbf{r}(\alpha)$ . Dann gilt:

$$W_{21} = -\int_{\alpha_1}^{\alpha_2} \mathbf{F}(\mathbf{r}(\alpha), \dot{\mathbf{r}}(\alpha), t(\alpha)) \cdot \frac{d\mathbf{r}(\alpha)}{d\alpha} d\alpha \qquad (z.Bsp. \ \alpha = t)$$

Dieses Integral hängt im Allgemeinen ab von:

1) Kraftfeld 
2) Endpunkte 
$$P_1, P_2$$
 
3) Bewegungszustand 
4) Weg  $C$ 

$$\Rightarrow W_{21} \neq W_{21}(\mathbf{r}_1, \mathbf{r}_2)$$

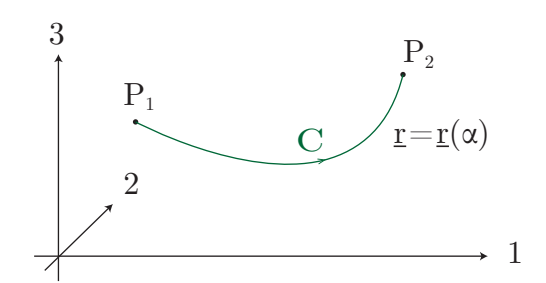


Abbildung 2.8: Der Weg zwischen zwei Punkten wird durch eine parametrisierte Raumkurve beschrieben.

#### Beispiel für Wegabhängigkeit

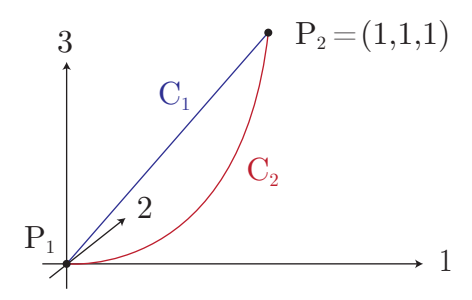


Abbildung 2.9: Unterschiedliche Wege mit unterschiedlichem Arbeitsintegral

$$C_{1}: \mathbf{r}_{\alpha} = (\alpha, \alpha, \alpha) \qquad 0 \leq \alpha \leq 1$$

$$C_{2}: \mathbf{r}_{\alpha} = (\alpha, \alpha^{2}, \alpha^{3}) \qquad 0 \leq \alpha \leq 1$$

$$\mathbf{F} = \begin{pmatrix} 2x_{1}^{2} - 3x_{2} \\ 4x_{2}x_{3} \\ 3x_{1}^{2}x_{3} \end{pmatrix}$$

$$W_{C_{1}} = -\int_{0}^{1} \begin{pmatrix} 2\alpha^{2} - 3\alpha \\ 4\alpha^{2} \\ 3\alpha^{3} \end{pmatrix} \cdot \begin{pmatrix} 1 \\ 1 \\ 1 \end{pmatrix} d\alpha = -\int_{0}^{1} (2\alpha^{2} - 3\alpha + 4\alpha^{2} + 3\alpha^{3}) d\alpha$$

$$= -\left[ -\frac{3}{2}\alpha^{2} + \frac{6}{3}\alpha^{3} + \frac{3}{4}\alpha^{4} \right]_{0}^{1} = -\frac{5}{4}$$

$$W_{C_{2}} = -\int_{0}^{1} \begin{pmatrix} 2\alpha^{2} - 3\alpha^{2} \\ 4\alpha^{5} \\ 3\alpha^{5} \end{pmatrix} \cdot \begin{pmatrix} 1 \\ 2\alpha \\ 3\alpha^{2} \end{pmatrix} = -\frac{325}{168}$$

$$\Rightarrow W_{C_1} = -\frac{5}{4} \neq -\frac{325}{168} = W_{C_2}$$

$$\Rightarrow$$
 in 1D:  $dW = -F dx$ 

in 3D: 
$$\delta W = -\mathbf{F} \cdot d\mathbf{r}$$
 kein totales Differential

Wir betrachten die Bewegungsgleichung in 3D:

$$m\ddot{\mathbf{r}} = \mathbf{F} \qquad |\dot{\mathbf{r}}|$$

$$\Rightarrow \frac{d}{dt}(\frac{1}{2}m\dot{\mathbf{r}}^2) = \mathbf{F} \cdot \dot{\mathbf{r}} = -\frac{dW}{dt} \text{ mit } W = -\int_{t_0}^t \mathbf{F}(\mathbf{r}(t'), \dot{\mathbf{r}}(t'), t') \cdot \dot{\mathbf{r}}(t') dt'$$

Formal sieht das aus wie in 1D, aber das Arbeitsintegral kann jetzt vom Weg abhängen. Nur für eine bestimmte Unterklasse von Kraftfeldern gibt es keine Wegabhängigkeit. Dies sind die konservativen Kräfte, für die es ein skalares Feld  $V(\mathbf{r})$  gibt, so dass:

$$\mathbf{F} = -\nabla V(\mathbf{r})$$

$$\Rightarrow \mathbf{F} \cdot \dot{\mathbf{r}} = -\nabla V(\mathbf{r}) \cdot \dot{\mathbf{r}} = -\left(\frac{\partial V}{\partial x_1} \frac{dx_1}{dt} + \frac{\partial V}{\partial x_2} \frac{dx_2}{dt} + \frac{\partial V}{\partial x_3} \frac{dx_3}{dt}\right) = -\frac{dV}{dt}$$

$$\Rightarrow W_{21} = -\int_{\mathbf{r}_1}^{\mathbf{r}_2} \mathbf{F} \cdot d\mathbf{r} = -\int_{t_1}^{t_2} \mathbf{F} \cdot \dot{\mathbf{r}} dt = V(\mathbf{r}_2) - V(\mathbf{r}_1)$$

Die Arbeit hängt somit nur von den Endpunkten des Weges ab, sie ist also wegunabhängig.

$$\Rightarrow \dot{T}(\dot{\mathbf{r}}) + \dot{V}(\mathbf{r}) = 0 \qquad T = \frac{1}{2}m\dot{\mathbf{r}}^2$$

$$\Rightarrow \boxed{T + V = E = const.}$$

Für konservative Kräfte gilt also wieder die Energieerhaltung. Kräfte sind entweder konservativ ( $\dot{E}=0$ ) oder dissipativ ( $\dot{E}\neq0$ ), d.h.

$$\mathbf{F} = \mathbf{F}_{\mathrm{kons}} + \mathbf{F}_{\mathrm{diss}}$$

$$\Rightarrow \dot{E} = \dot{T} + \dot{V} = \mathbf{F}_{\text{diss}} \cdot \dot{\mathbf{r}}$$

Konservative Kräfte  $\mathbf{F} = -\nabla V(\mathbf{r})$  dürfen nicht von  $\dot{\mathbf{r}}$  oder t abhängen. Deshalb sind Reibungskräfte oder explizit zeitabhängige äußere Kräfte dissipativ. Es stellt sich nun die Frage, wie man konservative Kräfte erkennt. Dafür gibt es verschiedene Kriterien, die nun im Folgenden aufgelistet werden. Es ist zu beachten, dass alle Kriterien äquivalent zueinander sind.

1) 
$$\mathbf{F} = -\nabla V(\mathbf{r})$$
  
2)  $\mathbf{F} \cdot \dot{\mathbf{r}} = -\frac{dV(\mathbf{r}(t))}{dt}$   
3)  $\nabla \times \mathbf{F} = rot \ \mathbf{F} = -(\nabla \times \nabla V) = \mathbf{0}$   
4) Wegunabhängigkeit

Wegen

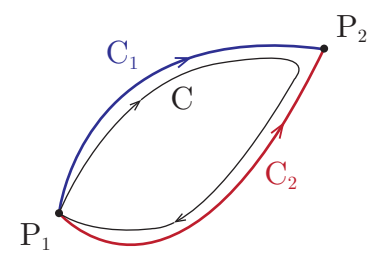


Abbildung 2.10: Der geschlossener Weg C kann in zwei Teilstrecken zerlegt werden.

$$0 = \oint_C dV = \oint_C \nabla V \cdot d\mathbf{r} = -\oint_C \underbrace{\mathbf{F} \cdot d\mathbf{r}}_{\text{Arbeit}}$$

leistet ein konservatives Feld auf einem geschlossenen Weg keine Arbeit.

$$\Rightarrow 0 = -\int_{C_1} \mathbf{F} \cdot d\mathbf{r} - \int_{-C_2} \mathbf{F} \cdot d\mathbf{r} = -\int_{C_1} \mathbf{F} \cdot d\mathbf{r} + \int_{C_2} \mathbf{F} \cdot d\mathbf{r}$$

$$\Rightarrow -\int_{C_2} \mathbf{F} \cdot d\mathbf{r} = -\int_{C_1} \mathbf{F} \cdot d\mathbf{r}$$

D.h. die Arbeit von  $P_1$  nach  $P_2$  ist wegunabhängig.

#### Beispiele für konservative Kräfte

1. Homogenes Kraftfeld (z.Bsp. Schwerefeld)

$$\mathbf{F} = \mathbf{A} = const. \Rightarrow V(\mathbf{r}) = -\mathbf{A} \cdot \mathbf{r}$$

Speziell beim Schwerefeld ergibt sich:

$$\mathbf{F}_{G} = \mathbf{A} = m\mathbf{g} = m \begin{pmatrix} 0 \\ 0 \\ -g \end{pmatrix}$$

$$\Rightarrow V(\mathbf{r}) = -m \begin{pmatrix} 0 \\ 0 \\ -g \end{pmatrix} \begin{pmatrix} x_{1} \\ x_{2} \\ x_{3} \end{pmatrix} = mgx_{3}$$

2. radialsymmetrisches Zentralfeld

$$\mathbf{F}(\mathbf{r}) = f(r)\mathbf{e}_r$$
$$V(r) = -\int_{r_0}^r f(r') dr'$$

Diese Stammfunktion in 1D existiert immer.

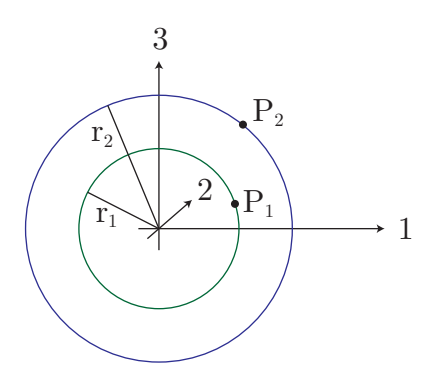


Abbildung 2.11: Ein radialsymmetrisches Potential hängt nur vom Radiusbetrag ab, ist also konstant auf Kugelschalen.

$$\Rightarrow F = -\nabla V(r) = -\underbrace{\frac{dV}{dr}}_{-f(r)} \underbrace{\nabla r}_{\mathbf{e}_r} = f(r)\mathbf{e}_r \quad \checkmark$$

Dieses Kraftfeld ist immer konservativ, da V(r) immer existiert. Wichtige physikalische Fälle sind:

a) Gravitations- bzw Coulombkraft:  $V(r) = -\frac{\alpha}{r}$ 

b) Harmonische Kraft:  $V(r) = \frac{1}{2}k\mathbf{r}^2$ 

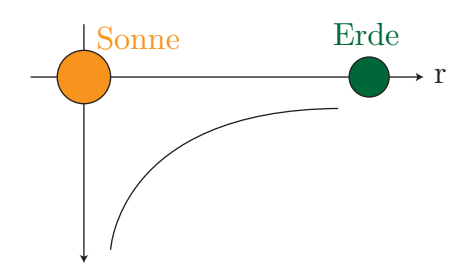


Abbildung 2.12: Die Gravitationskraft zwischen Sonne und Erde ist konservativ.

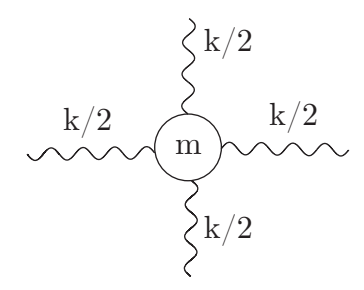


Abbildung 2.13: Die harmonische Kraft in einem Federsystem ist konservativ.

### Drehimpuls in 3D

$$m \ddot{\mathbf{r}} = \mathbf{F} \qquad | \mathbf{r} \times .$$
  
 $\Rightarrow m(\mathbf{r} \times \ddot{\mathbf{r}}) = \mathbf{r} \times \mathbf{F}$ 

Links steht wieder eine Zeitableitung.

$$\frac{d}{dt}(\mathbf{r}\times\mathbf{p})=m\frac{d}{dt}(\mathbf{r}\times\dot{\mathbf{r}})=m(\underbrace{\dot{\mathbf{r}}\times\dot{\mathbf{r}}}_{0}+\mathbf{r}\times\ddot{\mathbf{r}})=m\,\mathbf{r}\times\ddot{\mathbf{r}}$$

$$\mathbf{p} = m\dot{\mathbf{r}}$$
 Impuls,  $\mathbf{L} = \mathbf{r} \times \mathbf{p}$  Drehimpuls,  $\mathbf{r} \times \mathbf{F} = \mathbf{M}$  Drehimpulssatz 
$$\frac{d\mathbf{L}}{dt} = \mathbf{M}$$
 Drehimpulssatz 
$$\frac{d\mathbf{L}}{dt} = \mathbf{0}$$
 Drehimpulserhaltung für  $\mathbf{M} = \mathbf{0}$ 

Dies kann in zwei Fällen vorliegen:

1) 
$$\mathbf{F} = 0$$
 (trivial) 2)  $\mathbf{F} \parallel \mathbf{r}$  (Zentralfeld)

Somit gilt für radialsymmetrische Zentralfelder sowohl Energie- als auch Drehimpulserhaltung.

## 2.4 Die drei Kepler'schen Gesetze

Die drei folgenden Gesetze sind nach dem Astronomen JOHANNES KEPLER (1571-1630) benannt und waren einer der Ausgangspunkte für Newtons Entdeckung des Gravitationsgesetzes:

- 1. Die Planetenbahnen sind Ellipsen, mit der Sonne in einem der beiden Brennpunkte.
- 2. Der Fahrstrahl überstreicht in gleichen Zeiten gleiche Flächen.
- 3. Die Quadrate der Umlaufzeiten verhalten sich wie die Kuben der großen Halbachsen.

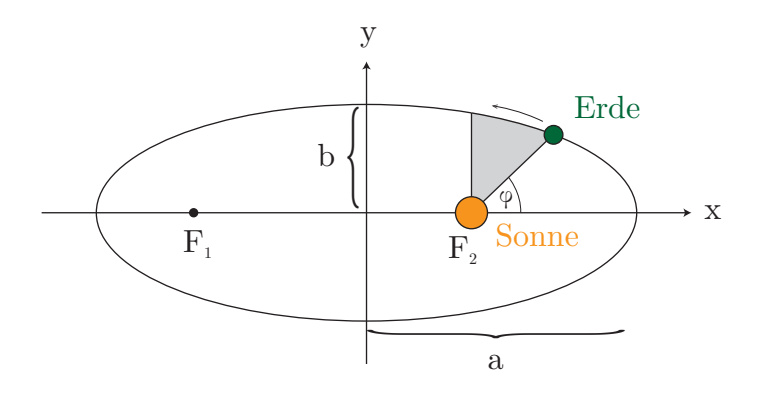


Abbildung 2.14:

Wie wir unten sehen werden, sind diese drei Gesetze eine Konsequenz von Energieund Drehimpulserhaltung, die für die Gravitationskraft gilt. Die Gravitationskraft zweier Massen berechnet sich nach Newton durch:

$$\mathbf{F}_G = -\frac{m_1 m_2 \gamma}{r^2} \, \mathbf{e}_r = -\frac{\alpha}{r^2} \, \mathbf{e}_r \qquad \begin{bmatrix} m_1, m_2 & \text{Massen} \\ \gamma & \text{Gravitationskonstante} \\ r & \text{Abstand der Massen} \end{bmatrix}$$

Dieses Kraftfeld besitzt ein Potential:

$$\mathbf{F}_G = -\nabla V(r) \text{ mit } V(r) = -\frac{\alpha}{r}$$

Es handelt sich also um ein konservatives System, deshalb gilt Energieerhaltung, T+V=E=const. Da die Gravitationskraft ausserdem eine Zentralkraft ist, gilt mit  $\mathbf{M}=\mathbf{0}$  auch Drehimpulserhaltung,  $\mathbf{L}=const.$  Eine unmittelbare Konsequenz der Drehimpulserhaltung ist es, dass die Bewegung in einer Ebene erfolgt:

$$\mathbf{r} \cdot \mathbf{L} = m \, \mathbf{r} (\mathbf{r} \times \dot{\mathbf{r}}) = 0$$

Das ist die Bestimmungsgleichung für eine Ebene. Da  ${\bf L}$  konstant ist, ändert sich diese Ebene nicht.

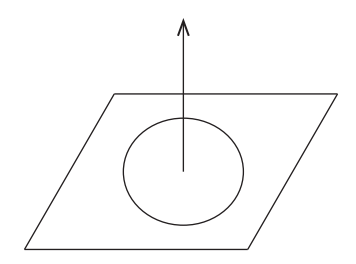


Abbildung 2.15:

## 2. Kepler'sches Gesetz (Flächensatz)

Für die vom Fahrstrahl überstrichene Fläche gilt:

$$dS = \frac{1}{2} |\mathbf{r}(t) \times \mathbf{r}(t + dt)| = |\mathbf{r}(t) \times (\mathbf{r}(t) + \dot{\mathbf{r}}(t)dt)|$$
$$= \frac{1}{2} |\mathbf{r}(t) \times \dot{\mathbf{r}}(t)| dt$$

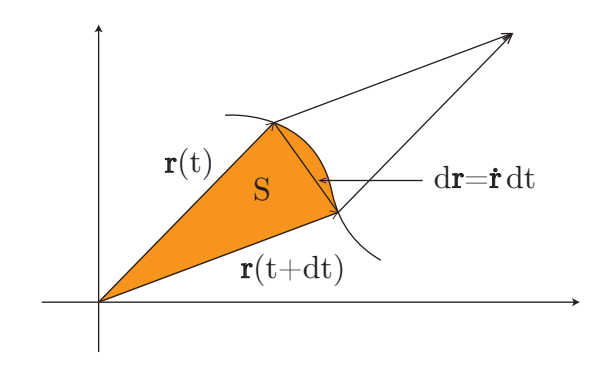


Abbildung 2.16:

Damit folgt:

$$\frac{dS}{dt} = \frac{1}{2m} |\mathbf{L}| \qquad \checkmark$$

## 1. Kepler'sches Gesetz (Ellipsensatz)

Wir betrachten jetzt die Bewegungsgleichung in der Ebene. Dazu bieten sich Polarkoordinaten an:

$$\mathbf{r} = r \, \mathbf{e}_r$$

$$\dot{\mathbf{r}} = \dot{r} \, \mathbf{e}_r + r \, \dot{\varphi} \, \mathbf{e}_{\omega}$$

Damit folgt für den Drehimpuls:

$$\mathbf{L} = m \left( \mathbf{r} \times \dot{\mathbf{r}} \right)$$

$$= m \left( r \, \mathbf{e}_r \times r \, \dot{\varphi} \, \mathbf{e}_{\varphi} \right)$$

$$= m \, r^2 \, \dot{\varphi} \, \mathbf{e}_z$$

$$\Rightarrow \left[ L^2 = m^2 r^4 \dot{\varphi}^2 \right]$$

Unter Verwendung dieser Beziehung ergibt sich für die Energie:

$$E = \frac{m}{2}\dot{\mathbf{r}}^2 + V(r) = \frac{m}{2}(\dot{r}^2 + r^2\dot{\varphi}^2) + V(r) = \frac{m}{2}\dot{r}^2 + V_{\text{eff}}(r)$$
mit 
$$V_{\text{eff}}(r) = V(r) + \frac{m}{2}r^2\dot{\varphi}^2 = V(r) + \frac{L^2}{2mr^2}$$

Damit haben wir effektiv ein 1D-Problem erhalten, die Winkelanteile sind auf-

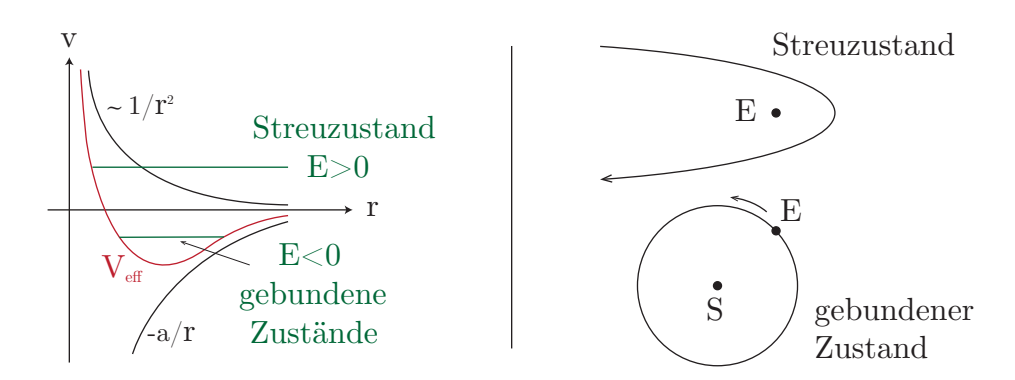


Abbildung 2.17:

grund der Drehimpulserhaltung eliminiert. Der dadurch entstehende Term heisst Zentrifugalbarriere, da er das Teilchen vom Ursprung fern hält. Die Lösung erfolgt formal wie beim Vorgehen im 1D-Fall:

$$\dot{r} = \sqrt{\frac{2}{m}(E - V_{\text{eff}}(r))} = \frac{dr}{dt}$$

$$\Rightarrow t - t_0 = \int_{r_0}^r \frac{dr'}{\sqrt{\frac{2}{m}(E - V_{\text{eff}}(r))}} \Rightarrow r = r(t) \text{ nach Umkehrung}$$

Für  $\varphi = \varphi(t)$  gibt es eine analoge Formel. Allerdings sind dies aufgrund der Form von  $V_{\text{eff}}(r)$  sehr komplizierte Integrale.

Dehalb ist die Lösung einfacher mit folgendem Vorgehen:

- Betrachte  $r = r(\varphi)$  statt r = r(t). Damit wird der Fokus weniger auf die Dynamik als vielmehr auf die Geometrie der Bahnkurve gelegt.
- Betrachte  $s = \frac{1}{r} = s(\varphi)$ . Das effektive Potential wird dann ein Polynom von s.

$$\frac{ds}{d\varphi} = \frac{d}{dt} \left(\frac{1}{r}\right) \frac{dt}{d\varphi} = -\frac{\dot{r}}{r^2} \frac{1}{\dot{\varphi}} = -\frac{\dot{r}}{r^2} \frac{mr^2}{L} = -\dot{r} \frac{m}{L}$$

$$\Rightarrow \dot{r} = -\frac{L}{m} \frac{ds}{d\varphi}$$

$$\Rightarrow E = \frac{m}{2} \dot{r}^2 + \frac{L^2}{2mr^2} - \frac{\alpha}{r} = \frac{L^2}{2m} \left[ \left(\frac{ds}{d\varphi}\right)^2 + s^2 \right] - \alpha s$$

Hier bedienen wir uns eines kleinen Tricks: Wir differenzieren obige Gleichung auf beiden Seiten nach  $\varphi$ :

$$\Rightarrow 0 = \frac{L^2}{2m} \left[ 2 \frac{ds}{d\varphi} \frac{d^2s}{d\varphi^2} + 2s \frac{ds}{d\varphi} \right] - \alpha \frac{ds}{d\varphi}$$

$$\Rightarrow \left[ \frac{d^2s}{d\varphi^2} + s = \frac{\alpha m}{L^2} =: \frac{1}{k} \right]$$

Dies ist die Differentialgleichung eines harmonischen Oszillators mit konstanter äußerer Kraft. Die allgemeine Lösung lautet (mehr dazu später im Einschub über Differentialgleichungen):

$$s(\varphi) = \underbrace{A\sin\varphi + B\cos\varphi}_{\text{allg. Lsg. der hom. Dgl.}} + \underbrace{\frac{1}{k}}_{\text{spez. Lsg. der inhom. Dgl.}}$$

Die Konstanten A und B folgen aus den Anfangsbedingungen. Wir wählen das Koordinatensystem so, dass der sonnennächste Punkt (r minimal, s maximal) bei  $\varphi = 0$  liegt.

$$\Rightarrow \frac{ds}{d\varphi}|_{\varphi=0} = 0 = A$$

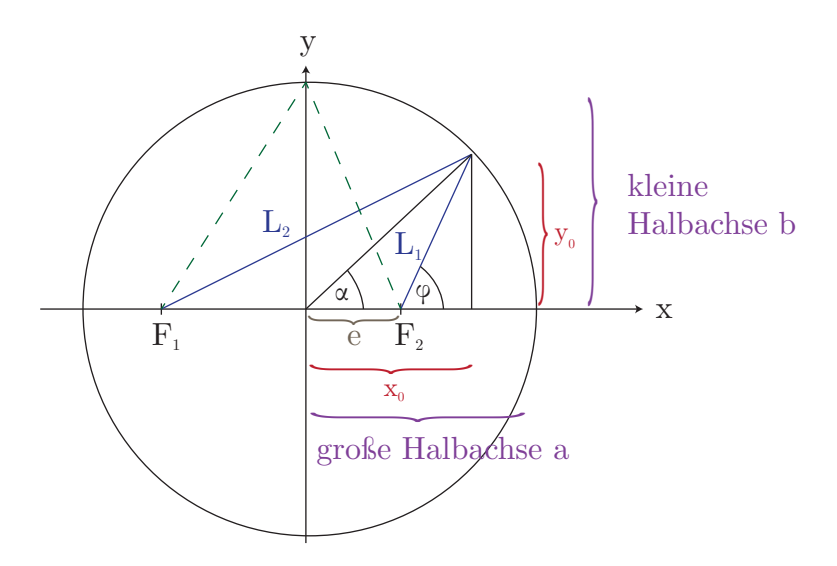


Abbildung 2.18:

Mit  $\varepsilon := kB$  ergibt sich:

$$\frac{1}{r} = \frac{1}{k} (1 + \varepsilon \cos \varphi)$$

Im folgenden werden wir zeigen, dass dies für  $0<\varepsilon<1$  die Bestimmungsgleichung für eine Ellipse ist.

Eine Ellipse ist dadurch charakterisiert, dass für ihre Punkte die Summe der Abstände zweier Brennpunkte konstant ist. Am sonnennächsten Punkt findet man

$$L_1 + L_2 = 2a$$

Am obersten Punkt findet man

$$a^2 = e^2 + b^2$$

Kartesische Koordinaten: Wechsel vom Brenn- zum Mittelpunkt

$$y^{2} + (x - e)^{2} = L_{1}^{2}$$
$$y^{2} + (x + e)^{2} = L_{2}^{2}$$

Aus diesen zwei Gleichungen wollen wir nun eine Beschreibung der Ellipse mittels kartesischer Koordinaten herleiten.

Die Subtraktion beider Gleichungen ergibt:

$$L_2^2 - L_1^2 = 4ex = \underbrace{(L_2 + L_1)}_{2a} (L_2 - L_1) \implies L_2 - L_1 = \frac{2ex}{a}$$

Quadration beider Seiten liefert:

$$L_2^2 + L_1^2 - 2L_2L_1 = \frac{4e^2x^2}{a^2}$$
 (1)

Ferner gilt wegen  $L_1 + L_2 = 2a$ :

$$(L_1 + L_2)^2 = 4a^2 \implies L_2^2 + L_1^2 + 2L_1L_2 = 4a^2$$
 (2)

Addition der Gleichungen (1) und (2) ergibt:

$$\frac{4e^2x^2}{a^2} + 4a^2 = 2(L_1^2 + L_2^2) = 2(2y^2 + 2x^2 + 2e^2)$$

$$\Rightarrow a^2x^2 - e^2x^2 + a^2y^2 = a^4 - a^2e^2$$

Unter Verwendung von  $b^2 = a^2 - e^2$  erhält man die gesuchte *Mittelpunktsgleichung*:

$$\boxed{\frac{x^2}{a^2} + \frac{y^2}{b^2} = 1}$$

Damit ist auch klar, dass die Polarkoordinaten vom Mittelpunkt aus folgendermassen lauten:

$$\mathbf{r} = \begin{pmatrix} a\cos\alpha\\b\sin\alpha \end{pmatrix}$$

$$\Rightarrow \frac{x^2}{a^2} + \frac{y^2}{b^2} = \cos^2\alpha + \sin^2\alpha = 1 \quad \checkmark$$

Für unsere Rechnung benötigen wir aber die Polarkoordinaten vom Brennpunkt aus:  $r = r(\varphi)$  wobei  $r = L_1$ .

$$L_2^2 - L_1^2 = 4ex = 2a(L_2 - L_1)$$

$$\Rightarrow L_1 = L_2 - \frac{2ex}{a} = (2a - L_1) - \frac{2ex}{a}$$

$$\Rightarrow L_1 = a - \frac{e}{a}x = a - \frac{e}{a}(e + L_1\cos\varphi)$$

$$\Rightarrow L_1(1 + \frac{e}{a}\cos\varphi) = a - \frac{e^2}{a} = \frac{b^2}{a}$$

Wir definieren:

$$\varepsilon := -\frac{e}{a}$$
 Exzentrität  $k := -\frac{b^2}{a}$ 

Für die Exzentrität gilt  $0 < \varepsilon < 1$  (bei  $\varepsilon \to 0$  nähert sich die Ellipse einem Kreis an und bei  $\varepsilon \to 1$  einer unendlich langen Zigarre). Mit  $r = L_1$  erhalten wir nun die gesuchte Ellipsengleichung:

$$\boxed{\frac{1}{r} = \frac{1}{k}(1 + \varepsilon\cos\varphi)} \quad \checkmark$$

Tatsächlich handelt es sich dabei um die allgemeine Gleichung für Kegelschnitte. Im Falle  $\varepsilon > 1$  ergeben sich Hyperbeln und Parablen, also die Streuzustände des Gravitationspotentials.

Die geometrischen Grössen können nun mit den physikalischen Grössen in Bezug gesetzt werden:

$$k = \frac{b^2}{a} = \frac{L^2}{\alpha m}$$

Energie am sonnennächsten Punkt:  $r(\varphi = 0) = r_0 = a - e$ .

$$E(\varphi = 0) = \frac{L^2}{2m} \left[ \left( \frac{ds}{d\varphi} \right)^2 + s^2 \right] - \alpha s = \frac{L^2}{2mr_0^2} - \frac{\alpha}{r_0} = \alpha \left( \frac{k}{2r_0^2} - \frac{1}{r_0} \right)$$
$$= \alpha \left( \frac{(a^2 - e^2)}{2a(a - e)^2} - \frac{1}{(a - e)} \right) = -\frac{\alpha}{2a} < 0$$

$$\Rightarrow a = -\frac{\alpha}{2E}, \quad b = \sqrt{\frac{L^2 a}{\alpha m}} = \frac{L}{\sqrt{-2mE}}$$

Die große Halbachse a folgt also aus der mechanischen Gesamtenergie E. Da wir gebundene Zustände (Ellipsen) betrachten, gilt E < 0. Die kleine Halbachse b folgt dann mit dem Drehimpuls L.

## 3. Kepler'sches Gesetz

Dieses Gesetz folgt aus den ersten beiden. Wir werden das 2. Kepler'sche Gesetz auf die in einem Umlauf überstrichene Fläche S an:

$$S = \pi ab = T \frac{L}{2m}$$

wobei  $\pi ab$  die Ellipsenfläche und T die Umlaufzeit ist.

$$\Rightarrow \frac{T^2}{a^3} = \frac{\pi^2 a^2 b^2 4m^2}{L^2 a^3} = \frac{4\pi^2 m^2 k}{L^2} = \frac{4\pi^2 m}{\alpha} = \frac{4\pi^2}{m_s \gamma} = const. \quad \checkmark$$

Mit der Sonnenmasse  $m_s$  und der Gravitationskonstante  $\gamma$  ist diese Konstante für alle Planeten gleich.

## 2.5 Annahme von Punktteilchen

Bisher haben wir nur die Wechselwirkung zwischen punktförmigen Massen betrachtet. Warum ist dies für ausgedehnte Körper wie Planeten überhaupt gerechtfertigt?

Sei  $\mathbf{F}(\mathbf{r})$  die Gravitationskraft, die ein ausgedehnten Körper auf eine Punktmasse

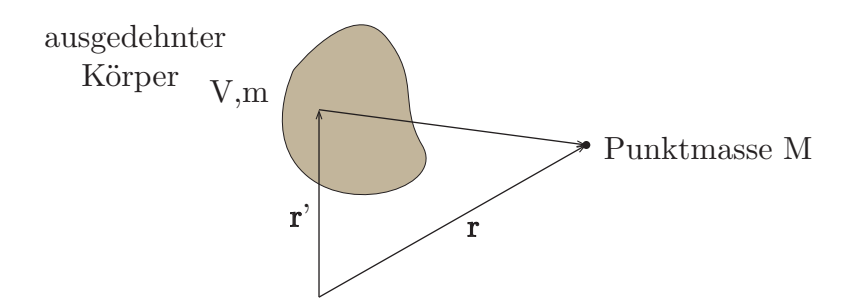


Abbildung 2.19: Gravitative Wechselwirkung zwischen einem ausgedehnten Körper und einer Punktmasse.

mit Masse M an der Position  $\mathbf{r}$  ausübt. Wegen dem Superpositionsprinzip folgt diese als ein Volumenintegral über die Massenverteilung mit Dichte  $\rho(\mathbf{r}')$  im ausgedehnten Körper:

$$\mathbf{F}(\mathbf{r}) = \int dv' (-\gamma M \rho(\mathbf{r}') \frac{\mathbf{r} - \mathbf{r}'}{|\mathbf{r} - \mathbf{r}'|^3})$$

Diese Kraft besitzt das Potential

$$V(r) = \int dv'(-\gamma M \rho(\mathbf{r}') \frac{1}{|\mathbf{r} - \mathbf{r}'|}), \qquad \nabla V = -\mathbf{F}(\mathbf{r})$$

da Integral und Ableitung hier vertauschen. Man betrachte die Divergenz:

$$\nabla \cdot \mathbf{F}(\mathbf{r}) = -\Delta V(\mathbf{r}) \stackrel{\text{ohne Beweis}}{=} -4\pi \gamma M \rho(\mathbf{r})$$

Der Gauß'sche Satz (benannt nach CARL FRIEDRICH GAUSS) besagt:

$$\int_{\partial V} \mathbf{F} \cdot d\mathbf{A} = \int_{V} \nabla \mathbf{F} \cdot dV$$

Der Gauß'sche Satz erlaubt es uns also, ein Volumenintegral in ein Flächenintegral umzuwandeln. Das ist ähnlich wie beim Stokes'schen Satz, der ein Flächenintegral in ein Linienintegral umwandelt. Wir betrachten jetzt eine Kugel mit konstanter Dichte  $\rho_0$ . Dann muss das Kraftfeld rotationssymmetrisch sein,  $\mathbf{F}(\mathbf{r}) = f(r)\mathbf{e}_r$ .

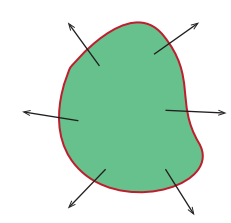


Abbildung 2.20: Nach Gauss kann das Flächenintegral über das Vektorfeld an der Oberfläche in ein Volumenintegral über den Körper umgewandelt werden.

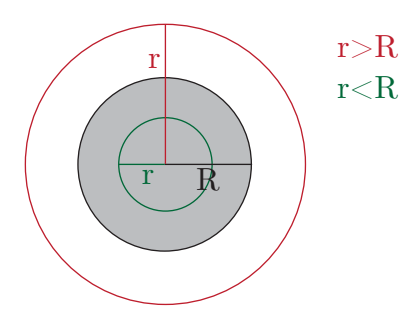


Abbildung 2.21: Geometrie für die Berechnung der Kraft: wir betrachten sowohl Massenpunkte ausserhalb als auch innerhalb der Kugel mit konstanter Dichte und Radius R.

Die skalare Kraft f(r) kann mit dem Gauß'schen Satz berechnet werden. Wir betrachten erst den Fall, dass der Massenpunkt ausserhalb der Kugel liegt, r > R:

$$\int \mathbf{F} d\mathbf{A} = \int f(r) \mathbf{e}_r r^2 d\Omega = 4\pi r^2 f(r) = \int \nabla \mathbf{F} dV = -4\pi \gamma M \underbrace{\rho_0 \frac{4\pi}{3} R^3}_{m}$$

$$\Rightarrow \boxed{f(r) = -\gamma M m \frac{1}{r^2}}$$

Die ausintegrierte Wechselwirkung ist also genau die, die auch zwischen zwei Punktteilchen herrscht. Das berechtigt zur Annahme, in der Planetenbewegung Punktteilchen anzunehmen.

Im Falle r < R ist die Rechnung ganz ähnlich:

$$4\pi r^2 f(r) = -4\pi \gamma M \rho_0 \underbrace{\frac{4\pi}{3} r^3}_{m \frac{r^3}{R^3}} \frac{R^3}{R^3}$$

$$\Rightarrow \boxed{f(r) = -\gamma Mm \frac{r}{R^3}}$$

Das wäre also zum Beispiel die Kraft, die ein Teilchen erfährt, das in einem Schacht in die Erde eingeführt wird. Die Wechselwirkung genau in der Mitte (r=0) verschwindet, wie es aus Symmetriegründen auch sein muss. Sie steigt dann linear mit r an, bis der Radius R erreicht ist (also für die Erde die Erdoberfläche). Dann fällt sie mit  $f(r) \sim -1/r$  wie für ein Punktteilchen ab.

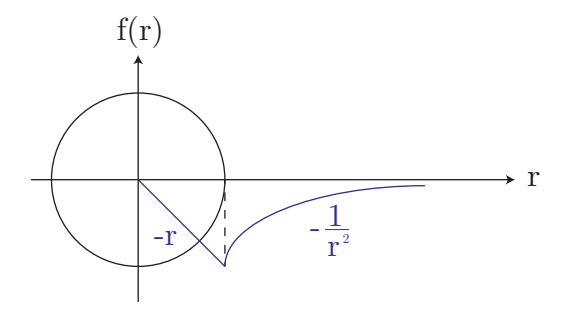


Abbildung 2.22: Die Wechselwirkung zwischen einem Punktteilchen und einer Kugel konstanter Dichte ist innerhalb der Kugel linear mit dem Abstand und geht dann in die Wechselwirkung zwischen zwei Punktteilchen über.

## Beispiel Fall durch die Erde

Im Film *Total Recall* bauen die Menschen einen Schacht durch den Erdkern, um in einem Aufzug schnell auf die andere Seite zu gelangen, genauer von England nach Australien. Diese Idee ist genial, weil man dafür keine Energie benötigen würde, aber auch total unrealistisch, weil man nicht durch den Erdkern bohren kann. Solch eine Durchquerung dauert im Film 15 Minuten. Ist dies realistisch? Einsetzen der Kraft im Inneren der Erde in das zweite Newtonsche Gesetz ergibt:

$$m\ddot{r} = -\gamma mM \frac{r}{R^3}$$

Nach kürzen der Masse m ergibt der Vergleich mit der Form des harmonischen Oszillators

$$m\ddot{r} + \omega^2 r = 0$$

die Schwingungsfrequenz für diesen Fall:

$$\omega = \sqrt{\frac{\gamma M}{R^3}}$$

Ein Fall auf die andere Seite entspricht genau einer halben Kosinus-Schwingung, man beginnt mit verschwindender Geschwindigkeit und kommt am Schluss auch wieder genau zum Stehen. Einsetzen liefert mit  $T_{\rm Fall}=\frac{1}{2}\frac{2\pi}{\omega}$  eine Fallzeit von ca. 40 Minuten. Der Film hat also die Fallzeit zu positiv dargestellt, aber die Größenordnung stimmt.

## 3.1 Fallgesetze

#### Freier Fall

$$\ddot{x}(t) = -g$$

Dies ist eine gewöhnliche, lineare, inhomogene Dgl. 2. Ordnung. Die Lösung dieser Dgl. ist einfach, aber es ist wichtig, die Konzepte dahinter im Detail zu verstehen. Wir beginnen mit einer *Verdoppelung der Variablen*, d.h. statt x betrachten wir x und  $y = \dot{x}$ . Dann haben wir zwei Differentialgleichungen:

$$\dot{x} = v, \ \dot{v} = -g$$

Die Differentialgleichung 2. Ordnung für x wurde also durch Verdoppelung der Variablen  $x \to (x, v)$  in zwei Differentialgleichungen 1. Ordnung überführt. In Matrixschreibweise kann es auch folgendermaßen geschrieben werden:

$$\begin{pmatrix} \dot{x} \\ \dot{v} \end{pmatrix} = \underbrace{\begin{pmatrix} 0 & 1 \\ 0 & 0 \end{pmatrix} \begin{pmatrix} x \\ v \end{pmatrix}}_{\text{homogen}} + \underbrace{\begin{pmatrix} 0 \\ -g \end{pmatrix}}_{\text{inhomogen}}$$

Wir lösen erst die Gleichung für v:

$$\frac{dv}{dt} = -g \underset{\text{Variablen}}{\overset{\text{Separation der}}{\Rightarrow}} dv = -g dt \Rightarrow \int dv = -g \int dt + C_1$$

$$\Rightarrow v = -gt + C_1$$

Damit lösen wir die Gleichung für x:

$$\dot{x} = v = -gt + C_1 \implies x = -\frac{1}{2}gt^2 + C_1t + C_2$$

Definiert man nun  $v(0) =: v_0 \Rightarrow C_1 = v_0, \quad x(0) =: x_0 \Rightarrow C_2 = x_0$ , so folgt:

$$x = x_0 + v_0 t - \frac{1}{2} g t^2$$

Dieses Ergebnis ist die Wurfparabel ohne Horizontalgeschwindigkeit, die wir schon in der Kinematik hergeleitet hatten.

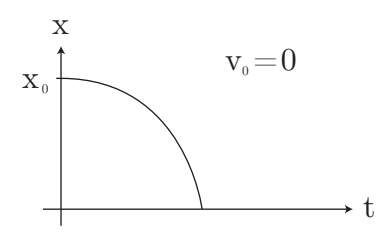


Abbildung 3.1: Freier Fall mit verschwindender Anfangsgeschwindigkeit

## Fall mit Stoke'scher Reibung

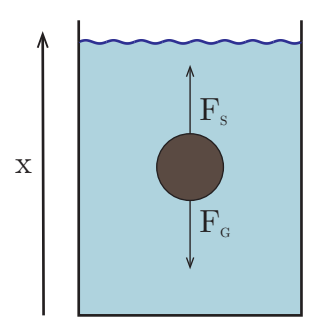


Abbildung 3.2: Kräfte auf fallende Kugel in Flüssigkeit

Die Stokes-Kraft  $F_s$  ist die Reibungskraft, die eine Flüssigkeit auf eine Kugel ausübt, die sich mit einer Geschwindigkeit v bewegt. Sie wird in der Hydrodynamik aus der Stokes-Gleichung (Navier-Stokes-Gleichung bei kleiner Reynoldszahl, also bei hoher Viskosität der Flüssigkeit) berechnet:

$$F_s = 6\pi \eta R v \Rightarrow F_s = \xi v \,, \\ \xi = 6\pi \eta R \qquad \qquad \begin{bmatrix} \eta & \text{Viskosit\"at} \\ R & \text{Kugelradius} \\ v & \text{Geschwindigkeit} \\ \xi & \text{Reibungskoeffizient} \end{bmatrix}$$

Bewegungsgleichung:

$$m\ddot{x} = -mq - \xi \dot{x} \implies m\dot{v} = -mq - \xi v$$

Wir haben also wieder eine inhomogene lineare ODE 1. Ordnung für v. Wir fangen mit dem homogenen Fall an:

$$\dot{v} = -\frac{\xi}{m}v$$

Das ist die Dgl. für den radioaktiven Zerfall: die differentielle Änderung ist proportional zur Zahl der Kerne:

$$\dot{N} = -\lambda N \qquad \qquad \begin{bmatrix} N & \text{\#Kerne} \\ \lambda & \text{Zerfallskonstante}, \ [\lambda] = \frac{1}{T} \end{bmatrix}$$

Separation der Variablen:

$$\frac{dN}{N} = -\lambda \, dt$$

Wegen  $\frac{dN}{N} = d \ln(N)$  ergibt sich:

$$\int d(\ln(N)) = -\lambda \int dt + C_0 \implies \ln(N) = -\lambda t + C_0$$

Anwenden der Exponentialfunktion auf beide Seiten liefert:

$$e^{\ln(N)} = N = e^{-\lambda t + C_0} = e^{-\lambda t} C_1$$
 wobei  $C_1 := e^{C_0}$ 

Mit  $N_0 = N(t = 0)$  und somit  $C_1 = N_0$  folgt:

$$N(t) = N_0 e^{-\lambda t}$$
 exponentieller Zerfall

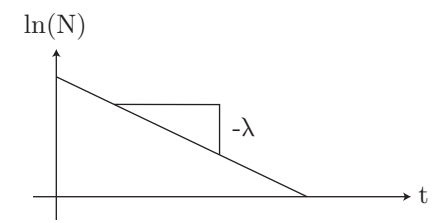


Abbildung 3.3: Radioaktiver Zerfall: die Zahl der Kerne zerfällt exponentiell.

Der komplementäre Fall ist das Populationswachstum:  $\dot{N}=r\,N$ mit r Wachstumsrate

$$\Rightarrow N(t) = N_0 e^{rt}$$
 exp. Wachstum

Zurück zur Lösung des homogenen Falls für den Fall mit Reibung: aus der Separation der Variablen ergab sich:

$$\dot{v} = -\frac{\xi}{m}v \implies v = v_0 e^{-\frac{\xi}{m}t}$$

d.h. die Geschwindigkeit zerfällt exponentiell. Weiter zum inhomogenen Fall: Separation der Variablen

$$dv = -g\left(1 + \frac{\xi v}{mg}\right)dt \Rightarrow \frac{dv}{(1 + \xi v/mg)} = -g dt$$

$$\Rightarrow \int \frac{dv}{(1 + \xi v/mg)} = \int -g dt + C_1$$

$$\Rightarrow \frac{mg}{\xi} \ln\left(1 + \frac{\xi v}{mg}\right) = -gt + C_1$$

$$\Rightarrow v = \frac{mg}{\xi} \left[e^{\xi(C_1 - gt)/mg} - 1\right] \xrightarrow{t \to \infty} v = \frac{-mg}{\xi} = -v_{\infty} \quad \text{mit} \quad v_{\infty} = \frac{mg}{\xi} > 0$$

Dieses asymptotische Ergebnis kann auch direkt aus der Differentialgleichung gewonnen werden: Steady State Bedingung  $\dot{v}=0 \Rightarrow v=-\frac{mg}{\xi}$ 

$$t_0 = 0 \Rightarrow v_0 = v_\infty \left[ e^{C_1/v_\infty} - 1 \right]$$

$$\Rightarrow \left( \frac{v_0}{v_\infty} + 1 \right) = e^{C_1/v_\infty}$$

$$\Rightarrow \left[ v = v_\infty \left[ \left( \frac{v_0}{v_\infty} + 1 \right) e^{-gt/v_\infty} - 1 \right] = (v_0 + v_\infty) e^{-gt/v_\infty} - v_\infty \right]$$

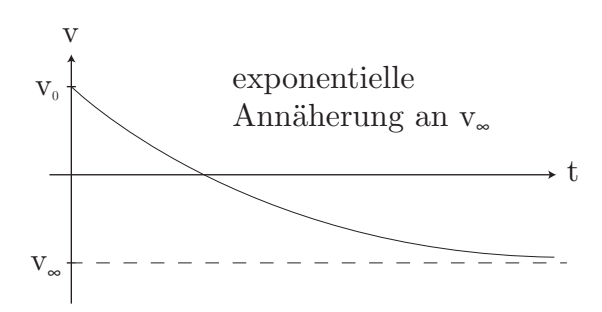


Abbildung 3.4: Beim Fall mit Stokes'scher Reibung zerfällt die Anfangsgeschwindigkeit exponentiell auf den asymptotischen Wert.

Lösung für die Position:  $\dot{x} = v = (v_0 + v_\infty)e^{-gt/v_\infty} - v_\infty$ 

$$\Rightarrow x(t) = -(v_0 + v_\infty) \frac{v_\infty}{g} e^{-gt/v_\infty} - v_\infty t + C_2$$

Im Falle t = 0:

$$\Rightarrow x_0 = -(v_0 + v_\infty) \frac{v_\infty}{g} + C_2$$

$$\Rightarrow x(t) = x_0 - v_\infty t + (v_0 + v_\infty) \frac{v_\infty}{g} (1 - e^{-gt/v_\infty})$$

Für kurze Zeiten haben wir wieder das Ergebnis der Wurfparabel (beschleunigte Bewegung), für lange Zeiten gewinnt aber die Reibung und die Bewegung erfolgt mit konstanter Geschwindigkeit. Man überprüft leicht, dass alle physikalischen Dimensionen Sinn machen.

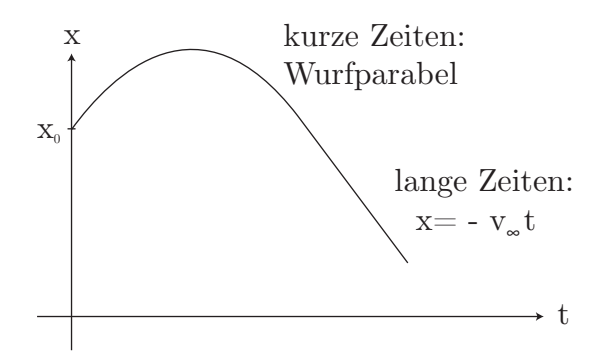


Abbildung 3.5: Beim Fall mit Stokes'scher Reibung geht die beschleunigte Bewegung für lange Zeiten in einen Fall mit konstanter Geschwindigkeit über.

Limes freier Fall ?  $\xi \to 0 \Rightarrow v_{\infty} = \frac{mg}{\xi} \to \infty$ Mit  $u = \frac{gt}{v_{\infty}} \ll 1$  bei fester Zeit t gilt:

$$e^{-gt/v_{\infty}} = e^{-u} \approx 1 - u + \frac{u^2}{2}$$
 quadr. Näherung aus Taylorreihe für  $e^{-u}$ 

Quadratische Näherung in allgemeine Lösung eingesetzt:

$$x = x_0 - v_\infty t + (v_0 + v_\infty) \frac{v_\infty}{g} \left( \frac{gt}{v_\infty} - \frac{1}{2} \left( \frac{gt}{v_\infty} \right)^2 \right)$$
$$= x_0 + v_0 t - \frac{1}{2} gt^2 \checkmark \text{ freier Fall}$$

wobei sich der lineare Term  $-v_{\infty}t$  wegkürzt und beim quadratischen Term  $v_0$  gegenüber  $v_{\infty}$  vernachlässigt werden kann.

### 3.2 Mathematischer Einschub 5: Lineare ODEs

### Allgmeine Lösung homogener Dgl.

Wir betrachten zunächst den homogenen Fall für eine lineare ODE n-ter Ordnung:

$$L^{(n)}(t)x(t) = \sum_{k=0}^{n} f_k(t) \frac{d^k x(t)}{dt^k} = 0$$

Die allgemeine Lösung ist eine Lösungsschar  $x(t|\gamma_1,\ldots,\gamma_n)$ , die von den n Integrationskonstanten  $\gamma_i$  abhängt. Typischerweise werden diese durch die Anfangsbedingungen festgelegt.

Satz von Picard-Lindelöf: die Lösung der Differentialgleichung  $\dot{x}(t) = f(t,x)$  existiert und ist eindeutig, wenn f(t,x) Lipschitz-stetig ist in x (es existiert ein Zahl L so dass  $|f(t,x_1) - f(t,x_2)| < L|x_1 - x_2|$ ).

Die Einschränkung auf die erste Ordnung ist kein Problem, weil wir ja Differentialgleichungen höherer Ordnung immer umschreiben können zu einem System von Differentialgleichungen erster Ordnung. Diese Satz sagt im wesentlichen, dass es in der Kurvenschar der Möglichkeiten alle Punkte abgedeckt sind und es keine Kreuzungen gibt.

**Superpositionsprinzip**: Mit  $x_1(t)$  und  $x_2(t)$  ist auch  $c_1x_1(t) + c_2x_2(t)$  Lösung. **Beweis:** durch Einsetzen

$$L^{(n)}(c_1x_1 + c_2x_2) = \underbrace{c_1L^{(n)}x_1}_{0} + \underbrace{c_2L^{(n)}x_2}_{0} = 0$$
 q.e.d.

Das Superpositionsprinzip legt nahe, dass die allgemeine Lösung in *Grundlösungen* zerlegt werden kann. Wir suchen also eine *Basis* für den Lösungsraum. Wie bei Vektoren definieren wir (mathematisch kann man mit Funktionen auch einen Vektorraum definieren): die m Lösungen  $x_1(t), \ldots, x_m(t)$  heißen linear unabhängig, wenn

$$\sum_{j=1}^{m} \alpha_j x_j(t) = 0$$

nur für  $\alpha_1, \ldots, \alpha_m = 0$ . Ein praktisches Kriterium, um das zu prüfen, ist das Berechnen der Wronski-Determinante. Wenn diese nirgends verschwindet, dann sind die Funktionen linear unabhängig.

**Satz** Die allgemeine Lösung einer homogenen linearen Dgl. n-ter Ordnung lässt sich als Linearkombination von genau n linear unabhängigen Lösungsvektoren schreiben (*Fundamentalsystem*).

**Beweis:** Sei m die maximale Zahl der linear unabhängigen Lösungsvektoren. Dann ist die allgemeine Lösung

$$x(t|\gamma_1,\ldots,\gamma_n) = \sum_{j=1}^m \alpha_j x_j(t)$$

Andernfalls wäre m nicht maximal.

Noch zu zeigen: m = n

 $m < n \Rightarrow x$  wäre nicht die allgemeine Lösung  $\frac{1}{2}$ 

 $m > n \implies x$  würde von mehr als n Parametern abhängen  $\frac{1}{2}$ 

$$\Rightarrow m = n$$
 q.e.d.

## Allgemeine Lösung inhomogener Dgl.

Jetzt zum inhomogenen Fall:

$$L^{(n)}(t)x(t) = h(t)$$

z. Bsp. h = -mg für Fallgesetze.

**Satz:** Sei  $x(t|\gamma_1,\ldots,\gamma_n)$  die allgemeine Lösung der homogenen Gleichung  $L^{(n)}(t)x(t)=0$  und sei  $x_0(t)$  eine spezielle Lösung der inhomogenen Gleichung, also  $L^{(n)}(t)x_0(t)=h(t)$ . Dann ist  $\bar{x}(t|\gamma_1,\ldots,\gamma_n)=x(t|\gamma_1,\ldots,\gamma_n)+x_0(t)$  die allgemeine Lösung der inhomogenen Gleichung.

Beweis: durch Einsetzen:

$$L^{(n)}\bar{x}(t) = \underbrace{L^{(n)}x(t)}_{0} + \underbrace{L^{(n)}x_{0}(t)}_{h(t)} = h(t)$$

$$\Rightarrow \bar{x}(t)$$
 ist Lösung

 $\bar{x}(t)$  ist auch die allgemeine Lösung, da es von  $\gamma_n, \dots, \gamma_n$  abhängt. q.e.d. Beispiel Stokes-Fall

$$\underbrace{\dot{v}}_{L} = \underbrace{-g}_{\text{inhomogen}} - \frac{\xi}{m} \underbrace{v}_{L}$$

homogen: g = 0

$$\Rightarrow v(t) = Ce^{-\xi/m t}$$
 [C Integrationskonstante

Inhomogen: spezielle Lösung?

Steady state: Lösung:

$$\dot{v} = 0 \Rightarrow v(t) = -v_{\infty} = -\frac{mg}{\xi}$$

⇒ Allgemeine Lösung:

$$v(t) = Ce^{-\xi/m t} - v_{\infty}$$

$$t = 0 \Rightarrow v_0 = C - v_\infty \Rightarrow v(t) = (v_0 + v_\infty)e^{-\xi/mt} - v_\infty$$

Das gleiche Ergebnis haben wir oben mit Separation der Variablen berechnet. Hier folgt es viel einfacher aus dem Satz über die allgemeine Lösung einer inhomogenen linearen ODE. Der Raum der Lösungen wird also von den Funktionen 1 und  $e^{-t}$  aufgespannt. Mit der Wronski-Determinante kann man leicht prüfen, dass diese beide wirklich linear unabhängig sind.

Damit ergibt sich folgendes Rezept:

- 1. n linear unabhängige Lösungen finden für die homogene Gleichung
- 2. eine spezielle Lösung für die inhomogene Dgl.
- 3. die Summe bilden, damit ist das Problem gelöst

### Konstante Koeffizienten

In der Klassischen Mechanik hat man es oft mit linearen Dgl. 2. Ordnung mit konstanten Koeffizienten zu tun, zB mit dem harmonischen Oszillator mit Dämpfung und äußerer Kraft:

$$a_2\ddot{x} + a_1\dot{x} + a_0x = h(t)$$

## Homogener Fall

Im homogenen Fall (h(t) = 0) verwendet man den Exponentialansatz:  $x = x_0 e^{rt}$ 

$$\Rightarrow a_2 x_0 e^{rt} r^2 + a_1 x_0 e^{rt} r + a_0 x_0 e^{rt} = 0$$

$$\Rightarrow x_0 e^{rt} \underbrace{(a_2 r^2 + a_1 r + a_0)}_{0} = 0 \qquad charakteristische Gleichung für r$$

$$\Rightarrow r_{1/2} = \frac{-a_1 \pm \sqrt{a_1^2 - 4a_2a_0}}{2a_2}$$

Allgemeine Lösung:

$$\Rightarrow x(t) = \begin{cases} c_1 e^{r_1 t} + c_2 e^{r_2 t} & \text{für } r_1 \neq r_2 \\ c_1 e^{r_1 t} + c_2 t e^{r_2 t} & \text{für } r_1 = r_2 \end{cases}$$

Achtung: negative Diskriminante möglich, die Lösungen der charakteristischen Gleichung sind dann komplex.

## Inhomogener Fall

Spezielle Lösungen beim inhomogenen Fall  $(h(t) \neq 0)$  bekommt man immer über eine Variation der Konstanten:

$$x_s(t) = C_1(t)x_1(t) + C_2(t)x_2(t)$$

Die resultierende Differentialgleichungen für die  $C_i(t)$  sind oft sehr kompliziert. Einfache Spezialfälle:

1) 
$$h(t) = const.$$
 (z.Bsp. Stokes)  $\Rightarrow x_s = \frac{h}{a_0}$  Steady State

2) 
$$h(t) = a + bt + ct^2$$
  $\Rightarrow x_s = A + Bt + Ct^2$   
3)  $h(t) = Ae^{\lambda t}$   $\Rightarrow x_s = Ce^{\lambda t}$ 

3) 
$$h(t) = Ae^{\lambda t}$$
  $\Rightarrow x_s = Ce^{\lambda t}$ 

4) 
$$h(t) = C_1 \sin(\omega t) + C_2 \cos(\omega t) \Rightarrow x_s = A \sin(\omega t) + B \cos(\omega t)$$

## 3.3 Mathematischer Einschub 6: Komplexe Zahlen

Die imaginäre Zahl  $i = \sqrt{-1}$  bildet die Grundlage, um die komplexen Zahlen zu definieren. Eine komplexe Zahl z ist von der folgenden Form

$$z = x + i y$$

In der komplexen Zahlenebene werden Real- und Imaginärteil senkrecht zueinander aufgetragen, eine komplexe Zahl kann dann als Vektor mit Betrag und Winkel interpretiert werden. Für den Betrag von z gilt:

$$r^2 = x^2 + y^2 = |z|^2$$

Für den Winkel (auch Argument oder Phase genannt) gilt:

$$\varphi = \arg(z) = \arctan \frac{y}{x}$$

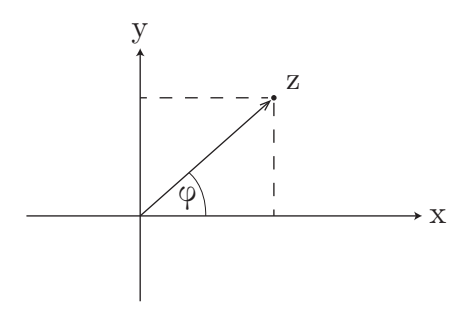


Abbildung 3.6: Vektorinterpretation in der komplexen Zahlenebene

Mit der Taylorreihe ergibt sich folgende Potenzreihe:

$$e^{i\varphi} = 1 + (i\varphi) + \frac{1}{2}(i\varphi)^2 + \frac{1}{6}(i\varphi)^3 + \dots$$

$$= 1 + i\varphi - \frac{1}{2}\varphi^2 - \frac{1}{6}i\varphi^3 + \dots$$

$$= (1 - \frac{\varphi^2}{2} + \dots) + i(\varphi - \frac{\varphi^3}{6} + \dots)$$

$$= \cos \varphi + i\sin \varphi = e^{i\varphi}$$

Obige Gleichung ist nach dem Mathematiker LEONHARD EULER benannt und heißt deshalb auch **Eulersche Formel**. Setzt man in dieser  $\varphi = \pi$ , so ergibt sich ein schöner Zusammenhang (auch *Eulersche Identität* genannt) zwischen den fünf wichtigsten Zahlen der Mathematik, also  $0, 1, \pi, e, i$ :

$$e^{i\pi} + 1 = 0$$

Durch

$$z = x + iy = r\cos\varphi + i\,r\sin\varphi$$

und der Eulerschen Formel erhält man die **Polardarstellung** einer komplexen Zahl:

$$z = re^{i\varphi}$$

Für die komplex konjugierte Zahl  $z^* = x - iy$  ergibt sich die Polardarstellung:

$$z^* = x - iy$$

$$= r \cos \varphi - i r \sin \varphi$$

$$= r \cos(-\varphi) + i r \sin(-\varphi)$$

$$= re^{-i\varphi}$$

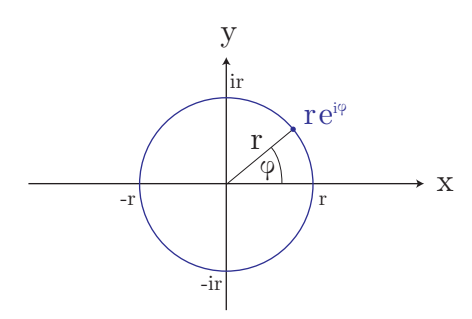


Abbildung 3.7: Darstellung einer komplexen Zahl in Polarkoordinaten

Die Beträge stimmen also überein, aber die Winkel sind gegensätzlich.

$$\begin{split} z\,z^* &= re^{i\varphi}\,re^{-i\varphi} = r^2e^{i\varphi-i\varphi} = r^2\\ \left|e^{i\varphi}\right| &= \sqrt{e^{i\varphi}e^{-i\varphi}} = 1 \ \ \text{diese Zahlen liegen auf dem Einheitskreis} \end{split}$$

Aus

$$e^{i\varphi} = \cos\varphi + i\sin\varphi$$
$$e^{-i\varphi} = \cos\varphi - i\sin\varphi$$

folgt

$$\cos \varphi = \frac{1}{2} (e^{i\varphi} + e^{-i\varphi})$$
Umkehrung der 
$$\sin \varphi = \frac{1}{2i} (e^{i\varphi} - e^{-i\varphi})$$
Euler-Formel

Vergleiche die analogen Formeln im Reelen für Kosinus und Sinus Hyperbolicus:

$$\cosh \varphi = \frac{1}{2} (e^{\varphi} + e^{-\varphi}) = \cos(i\varphi)$$
$$\sinh \varphi = \frac{1}{2} (e^{\varphi} - e^{-\varphi}) = -i\sin(i\varphi)$$

### Additions theoreme:

$$\cos(\alpha + \beta) = \text{Re } e^{i(\alpha+\beta)} = \text{Re } e^{i\alpha}e^{i\beta}$$
$$= \text{Re } (\cos\alpha + i\sin\alpha)(\cos\alpha + i\sin\beta)$$
$$= \cos\alpha \cos\beta - \sin\alpha \sin\beta$$

Analog kann auch für den Sinus verfahren werden. Es ergeben sich so auf einfache Weise die bekannten Additionstheoreme:

$$\cos(\alpha + \beta) = \cos \alpha \cos \beta - \sin \alpha \sin \beta$$
$$\sin(\alpha + \beta) = \sin \alpha \cos \beta + \cos \alpha \sin \beta$$

## 3.4 Der harmonische Oszillator

## Grundgleichung

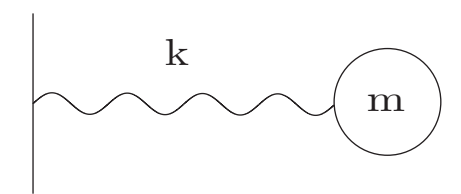


Abbildung 3.8: Harmonischer Oszillator: eine Masse m wird durch eine Feder mit Federkonstante k gehalten.

Die Masse erfährt eine lineare Rückstellkraft F, die der Auslenkung x proportional ist. Es gilt das Hooke'sche Gesetz (genannt nach ROBERT HOOKE, einem Zeitgenossen von Newton, der das Mikroskop erfunden und damit als erster Mensch Zellen beobachtet hat, aber auch wichtige Beiträge zur Mechanik geleistet hat):

$$F = -k x$$

Die Federkonstante k hat somit die Einheit:  $[k] = \frac{N}{m}$ .

$$\Rightarrow m\ddot{x} = -kx$$

$$\Rightarrow \left[\ddot{x} + \omega_0^2 x = 0\right], \quad \omega_0 = \sqrt{\frac{k}{m}}$$

Die Dgl. ist linear, homogen und hat konst. Koeffizienten.

$$\Rightarrow$$
 Exponential  
ansatz:  $x=Ae^{\alpha t}$   $\Rightarrow$   $Ae^{\alpha t}(\alpha^2+\omega_0^2)=0$ 

$$\Rightarrow\,$$
 charakt. Gleichung:  $\alpha^2+\omega_0^2=0$ 

$$\Rightarrow \alpha = \pm i \omega_0$$

$$\Rightarrow \left[ x(t) = A_{+}e^{i\omega_{0}t} + A_{-}e^{-i\omega_{0}t} \right]$$
 allg. Lösung

Man beachte: x(t) muss reell sein! Wir fordern also  $x = x^*$ :

$$A_{+}e^{i\omega_{0}t} + A_{-}e^{-i\omega_{0}t} = x = x^{*} = A_{+}^{*}e^{-i\omega_{0}t} + A_{-}^{*}e^{i\omega_{0}t}$$

$$\Rightarrow A_{+} = A_{-}^{*}, A_{-} = A_{+}^{*} \Rightarrow A_{+} = a + ib, A_{-} = a - ib$$

Es gibt also nur zwei unabhängige Parameter a und b, wie es bei einer Differentialgleichung zweiter Ordnung auch sein muss.

$$\Rightarrow \left[ x(t) = A\sin(\omega_0 t) + B\cos(\omega_0 t) \right] \qquad A = -2b, \ B = 2a$$

Aufgrund der Anfangsbedingungen ergibt sich B = x(0) und  $A = \frac{\dot{x}(0)}{\omega_0}$ . Die allg. Lösung ist in dieser Darstellung die Überlagerung von zwei Schwingungen mit gleicher Frequenz, aber verschiedenen Amplituden. Sie kann aber umgeschrieben werden zu

$$x(t) = \underbrace{\sqrt{A^2 + B^2}}_{A_0} \left( \underbrace{\frac{A}{\sqrt{A^2 + B^2}}}_{\cos \alpha} \sin(\omega_0 t) + \underbrace{\frac{B}{\sqrt{A^2 + B^2}}}_{\sin \alpha} \cos(\omega_0 t) \right)$$
$$= A_0(\cos \alpha \sin(\omega_0 t) + \sin \alpha \cos(\omega_0 t))$$

Durch Anwendung der Additionstheoreme ergibt sich:

$$x(t) = A_0 \sin(\omega_0 t + \alpha)$$

Die allg. Lösung ist also eine Schwingung mit Eigenfrequenz  $\omega_0$ , Phasenverschiebung  $\alpha$  und Amplitude  $A_0$ .

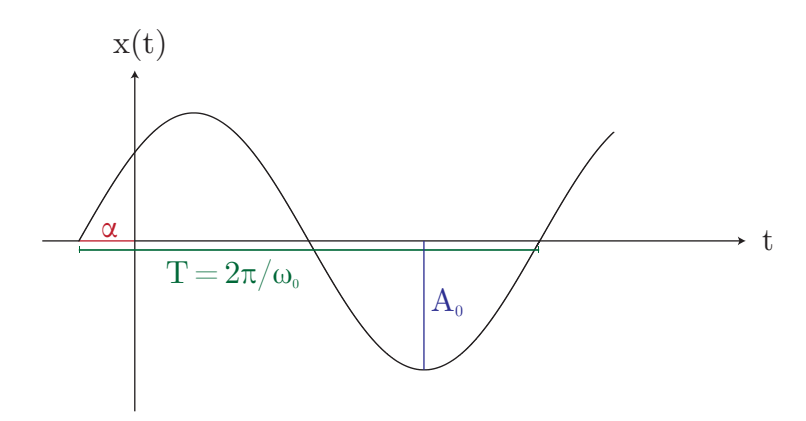


Abbildung 3.9: Die allg. Lösung des harmonischen Oszillators ist eine reine Schwingung.

Der harmonische Oszillator ist nicht nur für die Mechanik sehr wichtig, er kommt zum Beispiel auch in der Elektrodynamik und der Quantenmechanik vor.

Beispiel elektrischer Schwingkreis

$$U_L = L\dot{I}, \quad U_C = \frac{Q}{C}$$

Nach KIRCHHOFF ist die Summe der Spannungen 0, d.h.  $U_L + U_C = 0$ .

$$\Rightarrow L\dot{I} + \frac{Q}{C} = 0$$

$$\Rightarrow L\ddot{I} + \frac{1}{C}I = 0$$

$$\Rightarrow \ddot{I} + \omega_0^2 I = 0$$

$$\omega_0 = \sqrt{\frac{1}{LC}}$$

Abbildung 3.10: Veranschaulichung zum elektrischen Schwingkreis

## Gedämpfter harmonischer Oszillator

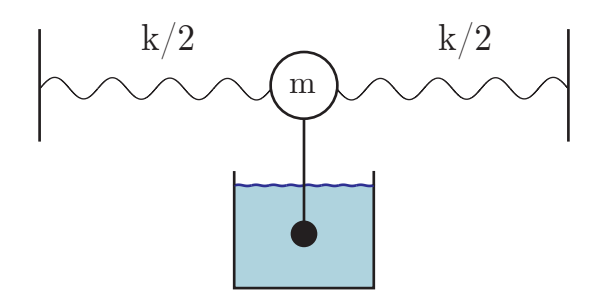


Abbildung 3.11: Möglicher Aufbau für einen gedämpften harmon. Oszillator

Wir erweitern den harmonischen Oszillator um einen Reibungsterm (ähnlich der Stokeschen Reibung bei den Fallgesetzen):

$$m\ddot{x} = -kx - \xi \dot{x}$$
 
$$\beta = \frac{\xi}{2m} \quad \text{Dämpfung}$$

$$\Rightarrow \boxed{\ddot{x} + 2\beta \dot{x} + \omega_0^2 x = 0}$$

 $\Rightarrow$  Exponentialansatz:  $x=ae^{\lambda t}$  $\Rightarrow$  charakt. Gleichung:  $\lambda^2+2\beta\lambda+\omega_0^2=0$ 

$$\Rightarrow \left[\lambda_{1/2} = -\beta \pm \sqrt{\beta^2 - \omega_0^2}\right]$$

$$\Rightarrow x = a_1 e^{\lambda_1 t} + a_2 e^{\lambda_2 t} \quad (\lambda_1 \neq \lambda_2)$$

Es können also drei Fälle eintreten:

 $eta^2 < \omega_0^2$  schwache Dämpfung  $eta^2 = \omega_0^2$  kritische Dämpfung  $eta^2 > \omega_0^2$  starke Dämpfung

Beispiel elektrischer Schwingkreis mit Widerstand

$$\dot{U}_R + \dot{U}_L + \dot{U}_C = 0$$

$$R\dot{I} + L\ddot{I} + \frac{1}{C}I = 0$$

$$\omega_0 = \sqrt{\frac{1}{LC}}, \quad \beta = \frac{R}{2L}$$

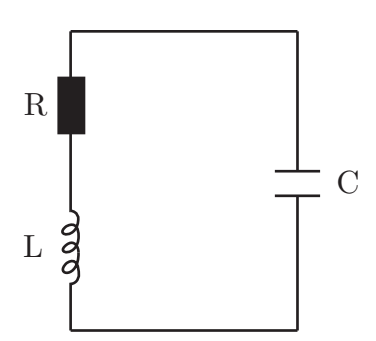


Abbildung 3.12: Der elektrische Schwingkreis mit Widerstand ist gedämpft.

#### 1. Schwache Dämpfung

$$\beta^{2} < \omega_{0}^{2} \Rightarrow \lambda_{1/2} = -\beta \pm i \,\omega, \ \omega = \sqrt{\omega_{0}^{2} - \beta^{2}}$$

$$\Rightarrow x = \underbrace{e^{-\beta t}}_{\text{Dämpfung der Amplitude Schwingung mit Frequenz }\omega < \omega_{0}} \underbrace{(a_{1}e^{i\omega t} + a_{2}e^{-i\omega t})}_{\text{Schwingung mit Frequenz }\omega < \omega_{0}}$$

Mit den Anfangsbedingungen erhält man:

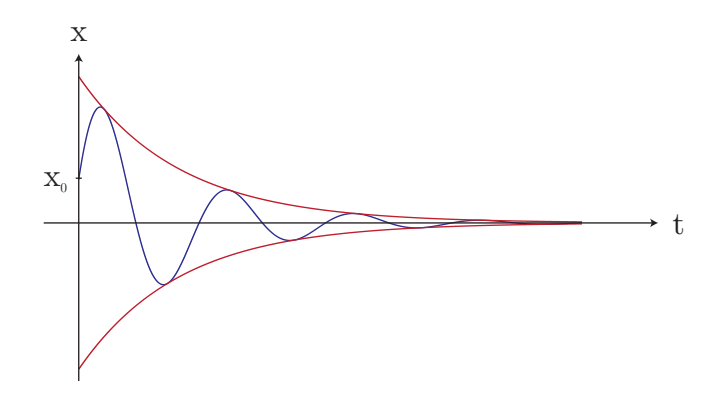


Abbildung 3.13: Schwache Dämpfung: exponentielle Dämpfung der Amplitude.

$$\Rightarrow \left[ x(t) = e^{-\beta t} (x_0 \cos(\omega t) + \frac{v_0 + \beta x_0}{\omega} \sin(\omega t)) \right]$$

Das System schwingt mit Frequenz  $\omega < \omega_0$  und die Amplitude ist exponentiell gedämpft.

#### 2. Kritische Dämpfung

$$\beta^2 = \omega_0^2 \ \Rightarrow \ \omega = 0$$

 $\Rightarrow\,$ nur eine Lösung  $\lambda=-\beta$  für die charakteristische Gleichung

 $\Rightarrow \mbox{ Fall } r_1 = r_2 \mbox{ im ME Differential$  $gleichungen}$ 

$$\Rightarrow \boxed{x(t) = e^{-\beta t} (x_0 + (v_0 + \beta x_0)t)}$$

Dies entspricht dem Limes  $\omega \to 0$  im Fall 1  $(\frac{\sin x}{x} \to 1$  für  $x \to 0)$ . Alternativ kann man diese Lösung im Sinne des mathematischen Einschubs verstehen als den Fall, in dem die beiden Lösungen der charakteristischen Gleichung entartet sind. Es gibt keine Schwingung mehr, höchstens einen Nulldurchgang bei entsprechenden Anfangsbedingungen (aperiodischer Grenzfall).

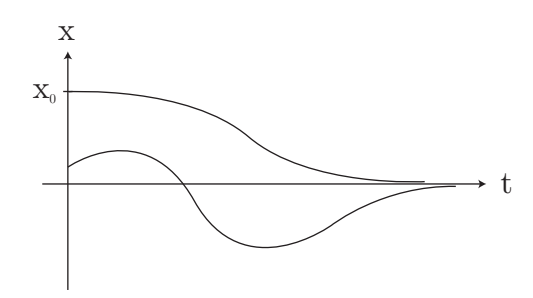


Abbildung 3.14: Kritische Dämpfung: aperiodischer Grenzfall.

### 3. Starke Dämpfung

$$\beta > \omega_0 \implies \lambda_{1/2} = -\beta \pm \gamma \quad 0 < \gamma = \sqrt{\beta^2 - \omega_0^2} < \beta$$

$$\Rightarrow x(t) = e^{-\beta t} (a_1 e^{\gamma t} + a_2 e^{-\gamma t})$$

Es liegt also ein rein exponentieller Abfall ohne Schwingung vor (Kriechfall).

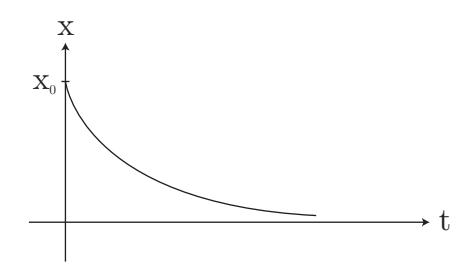


Abbildung 3.15: Starke Dämpfung: Kriechfall.

$$a_{1} = \frac{1}{2} \left( x_{0} + \frac{v_{0} + \beta x_{0}}{\gamma} \right)$$
$$a_{2} = \frac{1}{2} \left( x_{0} - \frac{v_{0} + \beta x_{0}}{\gamma} \right)$$

## Getriebener harmonischer Oszillator

Mechanisches System: das System wird von aussen mit Frequenz  $\omega$  getrieben

$$\ddot{x} + 2\beta \dot{x} + \omega_0^2 x = \frac{F_0}{m} \cos(\omega t)$$

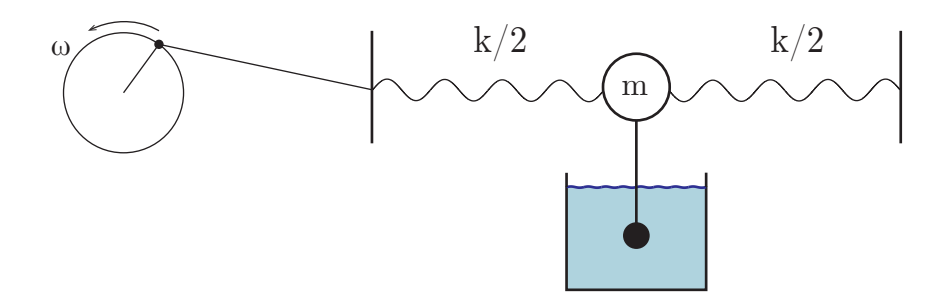


Abbildung 3.16: Getriebener harmon. Oszillator

**Beispiel** Realisierung als elektrischer Schaltkreis:  $U=U_0\sin\omega t$ 

$$\Rightarrow L\ddot{I} + R\dot{I} + \frac{I}{C} = U_0\omega\cos\omega t$$

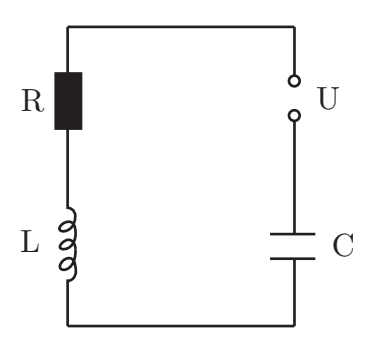


Abbildung 3.17: Der elektrische Schaltkreis für den getriebenen harmonischen Oszillator enthält eine Wechselspannung.

Um die Differentialgleichung für den getriebenen harmonischen Oszillator mit einem Exponentialansatz lösen zu können, setzen wir die Lösung einfach ins Komplexe fort:

$$\ddot{z} + 2\beta \dot{z} + {\omega_0}^2 z = \frac{F_0}{m} e^{i\omega t}$$

Als reelle Lösung nehmen wir dann x(t) = Re z(t).

Die allgemeine Lösung ist nach dem ME Differentialgleichungen die Summe der allgemeinen homogenen Lösung und einer speziellen Lösung der inhomogenen Gleichung:

$$x(t) = x_{\text{hom}}(t) + x_0(t)$$

 $x_{hom}(t)$  entspricht  $F_0=0$   $\Rightarrow$  gedämpfter harm. Oszillator  $\Rightarrow$  Lsg. zerfällt in der Zeit  $\Rightarrow$  Einschwingvorgang.  $x_0(t)$  dominiert also nach dem Einschwingen  $\Rightarrow$  wir suchen nur nach dieser Lösung. Mit dem Exponentialansatz  $z(t)=Ae^{i\omega t}=|A|e^{i\varphi}e^{i\omega t}$  bekommen wir also für die reelle Lösung nach langer Zeit:

$$x(t) = x_0(t) = |A| \operatorname{Re} \left( e^{i\varphi} e^{i\omega t} \right) = |A| \cos(\omega t + \varphi)$$

Wir benötigen also Betrag |A| und Phase  $\varphi$  von A. Wir setzen den Exponentialansatz in die Differentialgleichung ein:

$$\begin{split} \underbrace{\left[A(-\omega^{2}+2i\beta\omega+\omega_{0}^{2})-\frac{F_{0}}{m}\right]}_{=0}e^{i\omega t} &= 0 \\ \Rightarrow A = -\frac{F_{0}}{m}\frac{1}{(\omega^{2}-\omega_{0}^{2})-2i\beta\omega} = -\frac{F_{0}}{m}\frac{(\omega^{2}-\omega_{0}^{2})+2i\beta\omega}{(\omega^{2}-\omega_{0}^{2})^{2}+4\beta^{2}\omega^{2}} \\ \Rightarrow |A| &= \sqrt{AA^{*}} = \frac{F_{0}}{m}\Big(\frac{(\omega^{2}-\omega_{0}^{2})^{2}+4\beta^{2}\omega^{2}}{((\omega^{2}-\omega_{0}^{2})^{2}+4\beta^{2}\omega^{2})^{2}}\Big)^{1/2} \\ \hline |A| &= \frac{F_{0}}{m}\frac{1}{\sqrt{(\omega^{2}-\omega_{0}^{2})^{2}+4\beta^{2}\omega^{2}}} \\ |A| &\to \begin{cases} \frac{F_{0}}{m\omega_{0}^{2}} = \frac{F_{0}}{k} & \omega \to 0\\ \frac{F_{0}}{m}\frac{1}{\omega^{2}} & \omega \to \infty \end{cases} \end{split}$$

Im Limes  $\beta \to 0$  kommt es zur Resonanzkatastrophe (im Englischen resonance disaster), wenn die treibende Frequenz der Eigenfrequenz entspricht. Diese Phänomen wird in der Regel für grosse Schwingungen von Brücken verantwortlich gemacht, z.B. beim Einbruch der Brücke von Angers 1850, der Tacoma-Narrows-Brücke 1940 oder den Schwingungen der Milleniumsbrücke London 2000. Nach der Amplitude betrachten wir noch die Phasenverschiebung:

Re 
$$A = -\frac{m}{F_0} |A|^2 (\omega^2 - \omega_0^2)$$

$$\operatorname{Im} A = -2\frac{m}{F_0} \left| A \right|^2 \beta \omega < 0$$

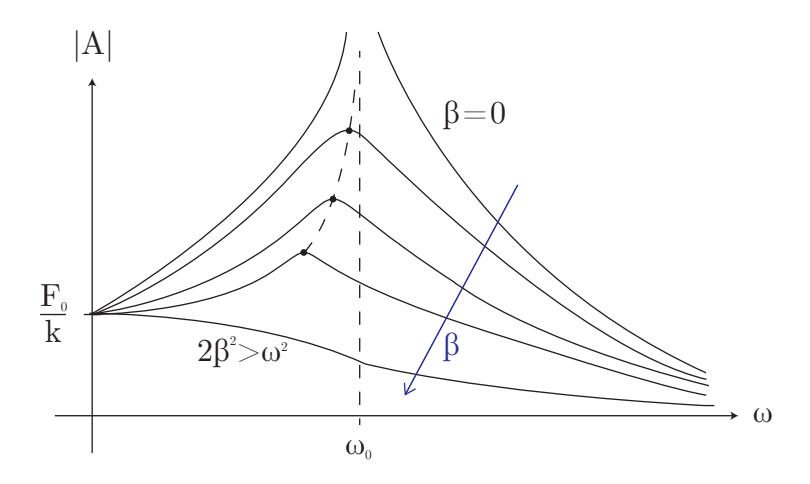


Abbildung 3.18: Amplitude des getriebenen harmonischen Oszillators.

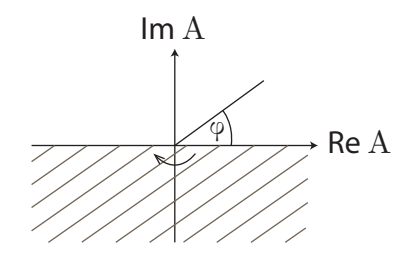


Abbildung 3.19: Da der Realteil negativ ist, hinkt die Schwingung der Anregung hinterher.

$$\varphi = \arctan \frac{\operatorname{Im} \ A}{\operatorname{Re} \ A}$$

$$\Rightarrow 0 > \varphi > -\pi$$

 $\Rightarrow$  Schwingung hinkt hinterher

$$\omega = \omega_0 \implies \text{Re } A = 0 \implies \varphi = -\frac{\pi}{2}$$

## Phasenraum

$$m\ddot{x} = -k x$$

Verdoppeln der Variablen:

$$v = \dot{x}, \quad \ddot{x} = \dot{v} = -\frac{k}{m}x = -\omega_0^2 x$$

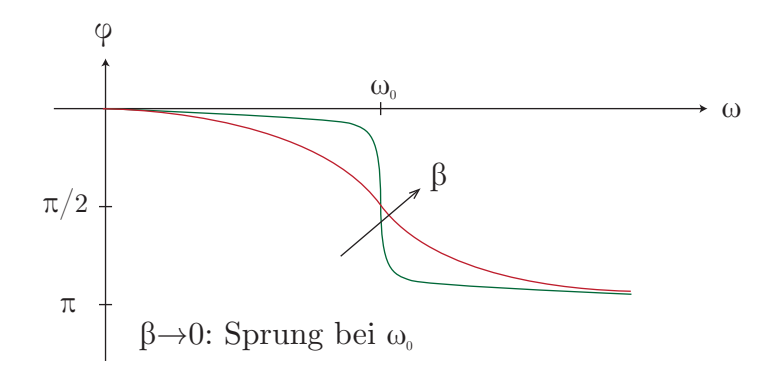


Abbildung 3.20: Je kleiner die Dämpfung, desto sprunghafter die Phasenverschiebung.

$$\Rightarrow \begin{pmatrix} \dot{x} \\ \dot{v} \end{pmatrix} = \begin{pmatrix} 0 & 1 \\ -\omega_0^2 & 0 \end{pmatrix} \begin{pmatrix} x \\ v \end{pmatrix}$$

Die (x, v)- Ebene ist der *Phasenraum* für den harmonischen Oszillator (in diesem Fall handelt es sich also um eine *Phasenebene*).  $(\dot{x}, \dot{v})$  ist das Vektorfeld, dass den Fluss des Systems durch den Phasenraum beschreibt. Das resultierende Flussdiagramm heisst *Phasenportrait*. Der harmonische Oszillator hat geschlossene Tra-

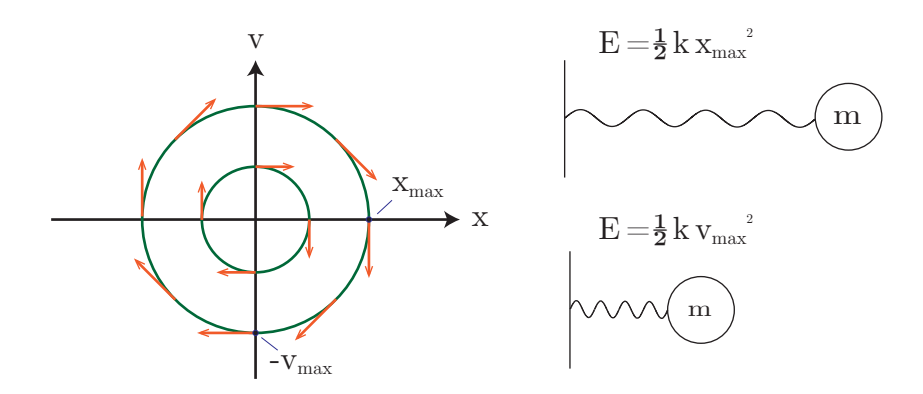


Abbildung 3.21: Phasenportrait für den harmonischen Oszillator

jektorien, die Ellipsen sind. Ellipseneigenschaft:

$$\frac{\dot{x}}{\dot{v}} = \frac{\frac{dx}{dt}}{\frac{dv}{dt}} = \frac{dx}{dv} = \frac{v}{-\omega_0^2 x}$$

$$\stackrel{\text{Separation}}{\Rightarrow} -\omega_0^2 x \, dx = v \, dv \ \Rightarrow \ \frac{1}{2}\omega_0^2 x^2 + \frac{1}{2}v^2 = const$$

$$\Rightarrow \frac{1}{2}kx^2 + \frac{1}{2}mv^2 = const = E$$

Die Energie E ist eine Erhaltungsgröße.

$$\frac{1}{2}kx^2 \quad \text{Federenergie}$$
 
$$\frac{1}{2}mv^2 \quad \text{kinetische Energie}$$

Mathematisch ist das genau die Ellipsengleichung.

Da der harmonische Oszillator linear ist, hat er keine ausgezeichnete Amplitude, diese wird durch die Anfangsbedingung gesetzt, ändert sich dann aber nicht mehr. Kleine Störungen bleiben klein, aber sie verschwinden auch nicht mehr. Bei technischen Anwendungen möchte man jedoch oft eine ausgezeichnete und robuste Amplitude implementieren. Dafür benötigt man deshalb nicht-lineare Oszillatoren.

Einfachster Fall: van der Pol Oszillator

$$\ddot{x} + \underbrace{\mu(x^2 - 1)\dot{x}}_{\text{neuer Term}} + x = 0$$

 $|x| = 1 \Rightarrow$  harmonischer Oszillator

 $|x| > 1 \Rightarrow$  positive Dämpfung

 $|x| < 1 \Rightarrow$  negative Dämpfung

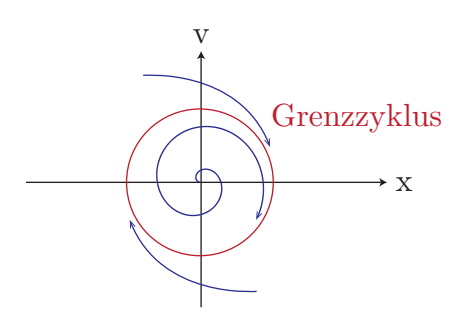


Abbildung 3.22: Phasenportrait des van der Pol Oszillators für kleines  $\mu$ . Alle Trajektorien enden im gleichen Grenzzyklus, d.h. die Amplitude ist für alle Anfangsbedingungen gleich.

Beispiel Tetrode-Schaltung von van der Pol

$$U = \frac{I^3}{3} - I$$
 mit geeigneten Einheiten

$$L\ddot{I} + U'(I)\dot{I} + \frac{1}{C}I = 0$$
 Dgl. für van der Pol Oszillator

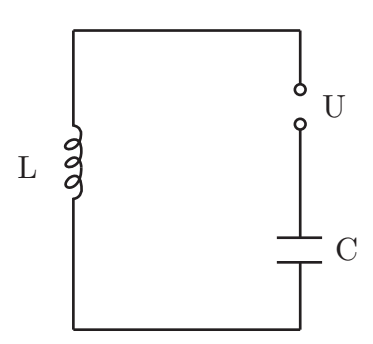


Abbildung 3.23: Die Schaltung von van der Pol mit einer passenden nicht-linearen Spannungsquelle.

### Fadenpendel

Polarkoordinaten: die Gewichtskraft kann in Radial- und Winkelanteile zerlegt werden:

$$\mathbf{F}_G = F_r \mathbf{e}_r + F_{\varphi} \mathbf{e}_r$$
$$F_r = mg \cos \varphi$$
$$F_{\varphi} = -mg \sin \varphi$$

Bewegungsgleichung:

$$m[a_r \mathbf{e}_r + a_{\varphi} \mathbf{e}_{\varphi}] = m[(\ddot{r} - r\dot{\varphi}^2)\mathbf{e}_r + (2\dot{r}\dot{\varphi} + r\ddot{\varphi})\mathbf{e}_{\varphi}]$$
$$= (F_r + F_F)\mathbf{e}_r + F_{\varphi}\mathbf{e}_{\varphi} \qquad [F_F \text{ Fadenspannung}]$$

Die Fadenspannung ist das erste Beispiel für eine Zwangskraft, die garantiert, dass eine bestimmte Randbedingung eingehalten wird. Hier ist das die konstante Fadenlänge.

$$r = l = \text{const.} \Rightarrow \ddot{r} = \dot{r} = 0$$
  
 $\Rightarrow F_F = -ml\dot{\varphi}^2 - mg\cos\varphi$ 

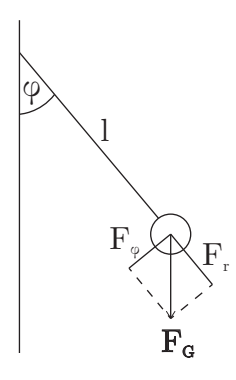


Abbildung 3.24:

Für die Lösung benötigen wir die Fadenspannung nicht explizit, wir können sie hinterher falls gewünscht ausrechnen. Wirklich relevant ist hier nur die  $\varphi$ - Richtung:

$$\begin{split} &ml\ddot{\varphi} = -mg\sin\varphi\\ &\Rightarrow l\ddot{\varphi} = -g\sin\varphi \qquad \text{(hier geht träge = schwere Masse ein)}\\ &\Rightarrow \boxed{\ddot{\varphi} + \frac{g}{l}\sin\varphi = 0} \quad \text{nicht-lineare ODE} \end{split}$$

Näherung kleiner Winkel:  $\sin \varphi \approx \varphi$ 

$$\[\ddot{\varphi} + \omega_0^2 \varphi = 0\] \quad \omega_0 = \sqrt{\frac{g}{l}}$$

Wir erhalten also wieder den harmonischen Oszillator. Aus Dimensionsgründen konnte man schon erraten, was die Eigenfrequenz sein muss. Diese hängt also nur von der Fadenlänge und nicht von der Masse ab. Dies ist der einfachste Nachweis dass träge = schwere Masse gilt.

#### 4.1 Motivation

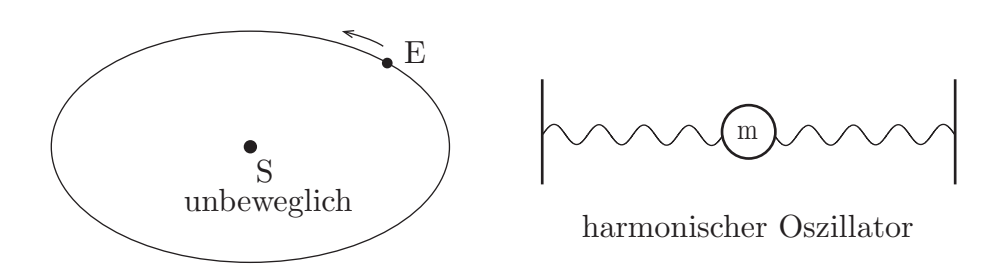


Abbildung 4.1: Die zwei wichtigsten Beispiele für Einteilchensysteme: Planetenbewegung um eine unbewegliche Sonne und der harmonische Oszillator.

Bisher haben wir in der Vorlesung nur Einteilchensysteme behandelt. Das war zum Beispiel die Bewegung der Erde um eine unbewegliche Sonne oder der harmonische Oszillator. Jetzt wenden wir uns den Mehrteilchensystemen zu. Zunächst werden verschiedene Mehrteilchensysteme vorgestellt:

#### a) 2-Körper-Probleme in der Astronomie

Darunter versteht man das Problem der Berechnung der Bewegung zweier astronomischer Objekte, die sich aufgrund der Gravitation anziehen (z.Bsp. Doppelstern, Erde/Mond, Erde/Komet, Erde/Sonne). Dieses sog. Kepler-Problem wurde von Newton gelöst. Bei mehr als zwei Objekten erfolgt die Berechnung mittels Störungstheorie oder Numerik.

#### b) Systeme mit sehr vielen Teilchen

Bei Systemen mit sehr vielen Teilchen  $(N\gg 1)$  (z.Bsp. ein makroskopisches Volumen Gas mit  $N=6\times 10^{23}$  Teilchen) sind exakte Ergebnisse über die Bewegung einzelner Teilchen weder möglich noch sinnvoll. In der *Statistischen Mechanik* werden deshalb Aussagen erarbeitet, die für Ensembles gelten (insbes. Mittelwerte und typische Abweichungen davon). Die relevan-

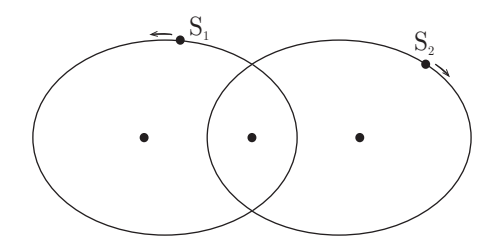


Abbildung 4.2: Beispiel für ein 2-Körper-Problem: beim Doppelstern sind die beiden Massen relativ ähnlich. Newton hat gezeigt dass sich auch für zwei Körper beide Massenpunkte auf Ellipsen bewegen.

ten Potentiale können dabei sehr unterschiedlich sein, sind aber in der Regel konservative Zentralkräfte.

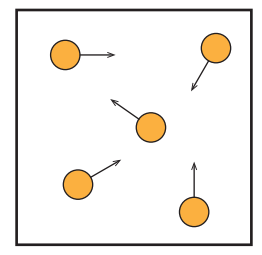


Abbildung 4.3: Die Statistische Mechanik beschäftigt sich mit Systemen mit sehr vielen Teilchen Teilchenbewegung, wie zum Beispiel einem Behälter mit Gas.

#### c) Federsysteme

Systeme von Massenpunkte, die durch Federn gekoppelt sind, kommen oft in technischen Anwendungen vor, sind aber auch Modelle für die *Molekül-physik* und die *molekulare Biophysik*. Das einfachste Beispiel ist die lineare Kette mit N=2. Bei kleinen Auslenkungen ( $\sin \varphi \approx \varphi$ ) ist die Bewegung des gekoppelten Pendels dazu äquivalent. Die lineare Kette mit N=3 ist ein Modell für Kohlendioxid  $CO_2$ .

#### d) Doppelpendel (N=2)

Schon das Doppelpendel kann zu scheinbar erratischen Bewegungen führen, die im Prinzip berechenbar sind, aber empfindlich von den Anfangsbedingungen abhängen (deterministisches Chaos). Die chaotische Bewegung des Doppelpendels wird in der Nichtlinearen Dynamik behandelt.

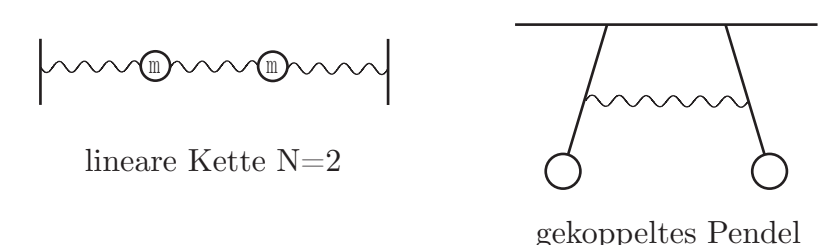


Abbildung 4.4: Das gekoppelte Pendel ist für kleine Auslenkungen äquivalent zur linearen Kette mit N=2.

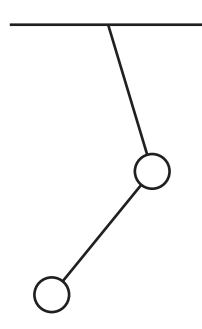


Abbildung 4.5: Das Doppelpendel hat eine chaotische Bewegung, die in der Nichtlinearen Dynamik untersucht wird.

# e) **Federsysteme mit vielen Teilchen**Modellsysteme wie der harmonische Kristall sind Thema der *Festkörperphysik*.

## 4.2 Notation

Wir betrachten ein System mit N Teilchen (z.Bsp.: Planetensystem, Molekül, Festkörper, Gas). Jedem Teilchen ordnen wir einen Index i zu  $(1 \le i \le N)$ . Dies darf nicht verwechselt werden mit  $(x_1, x_2, x_3)$  für die Koordinaten. Die Koordinaten des i-ten Teilchen bezeichnen wir deshalb ab jetzt mit  $(x_i, y_i, z_i)$ . Ferner verwenden wir folgende Bezeichnungen:

 $\mathbf{r}_i$ : Ortsvektor des i-ten Teilchens

 $m_i$ : Masse des i-ten Teilchens

 $\mathbf{F}_i$ : Gesamtkraft auf das i-te Teilchen

 $\mathbf{F}_{ij}$ : Kraft des j-ten Teilchens auf das i-te Teilchen

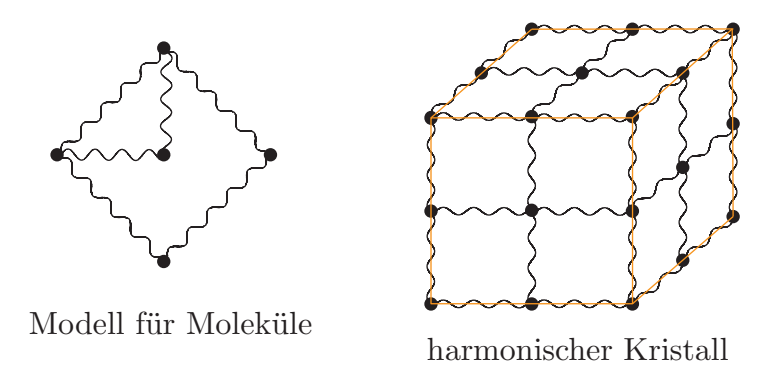


Abbildung 4.6: Federsysteme sind auch Modelle für Moleküle und Festkörper.

Die auf das i-te Teilchen wirkende Gesamtkraft  $\mathbf{F}_i$  ist dann:

$$\mathbf{F}_i = \underbrace{\mathbf{F}_i^{ext}}_{ ext{"ausere Kr"afte}} + \underbrace{\sum_{j=1}^{N} \mathbf{F}_{ij}}_{ ext{innere Kr"afte}}$$

Ein System heißt abgeschlossen, wenn es keine äusseren Kräfte gibt, also  $\mathbf{F}_i^{ext} = \mathbf{0}$ .

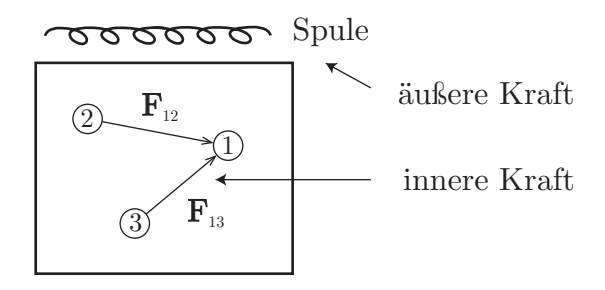


Abbildung 4.7: Auf Teilchen 1 wirken die inneren Kräfte von Teilchen 2 und 3 sowie äussere Kräfte, z.B. elektromagnetische Feldkräfte.

Anwendung des zweiten Newton'schen Gesetzes und des Superpostitionsprinzips auf einen Massenpunkt liefert:

$$m_i\ddot{\mathbf{r}}_i = \mathbf{F}_i = \mathbf{F}_i^{ext} + \sum_{j=1}^N \mathbf{F}_{ij}$$

Das ist ein System von 3N gekoppelten gewöhnlichen Differentialgleichungen. Wenn die Teilchen ausserdem Ausdehnung haben, dann gibt es insgesamt 6N

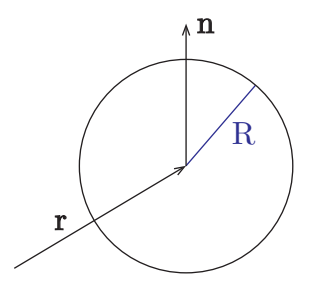


Abbildung 4.8: Teilchen mit Ausdehnung: neben dem Ortsvektor benötigen wir noch Winkel für die Orientierung.

Freiheitsgrade (also nochmals so viele für die Orientierungen). Das dritte Newton'sche Gesetz (actio = reactio) besagt für die inneren Kräfte:

$$\mathbf{F}_{ij} = -\mathbf{F}_{ji} \Rightarrow \mathbf{F}_{ii} = -\mathbf{F}_{ii} \Rightarrow \mathbf{F}_{ii} = \mathbf{0}$$

In der Newton'schen Mechanik kann also ein Teilchen keine Kraft aus sich selbst ausüben. Die Summe über die inneren Kräfte hat effektiv nur N-1 Terme.

**Beispiel** Sonnensystem: Sonne, acht Planeten (*Mein Vater erklärt mir jeden Sonntag unsere Nachbarplaneten*), deren Monde, Asteroiden, etc

$$\mathbf{F}_{i}^{ext} = 0, \quad \mathbf{F}_{ij} = -\gamma m_{i} m_{j} \frac{\mathbf{r}_{i} - \mathbf{r}_{j}}{\left|\mathbf{r}_{i} - \mathbf{r}_{j}\right|^{3}}$$

## 4.3 Erhaltungssätze

## **Impuls**

$$\sum_{i=1}^{N} \sum_{j=1}^{N} \mathbf{F}_{ij} = \sum_{i,j} \mathbf{F}_{ij} = \frac{1}{2} \left( \sum_{i,j} \mathbf{F}_{ij} + \sum_{i,j} \mathbf{F}_{ji} \right) \stackrel{\text{3.Gesetz}}{=} \frac{1}{2} \sum_{i,j} (\mathbf{F}_{ij} - \mathbf{F}_{ij}) = \mathbf{0}$$

Mit dem 2. Gesetz folgt dann:

$$\Rightarrow \sum_{i} m_{i} \ddot{\mathbf{r}}_{i} = \sum_{i} \mathbf{F}_{i}^{ext} + \underbrace{\sum_{i,j} \mathbf{F}_{ij}}_{=\mathbf{0}} = \sum_{i} \mathbf{F}_{i}^{ext} \qquad (1)$$

Der Beitrag der inneren Kräfte fällt weg.

#### Definitionen:

$$\mathbf{F}^{ext} := \sum_{i} \mathbf{F}_{i}^{ext}$$
 Gesamtkraft
$$M := \sum_{i} m_{i}$$
 Gesamtmasse
$$\mathbf{R} := \frac{1}{M} \sum_{i} m_{i} \mathbf{r}_{i}$$
 Schwerpunkt

Mit diesen Definitionen lässt sich (1) kompakt schreiben:

$$M\ddot{\mathbf{R}} = \mathbf{F}^{ext}$$

Schwerpunktsatz: Der Schwerpunkt bewegt sich so, als ob alle Masse in ihm

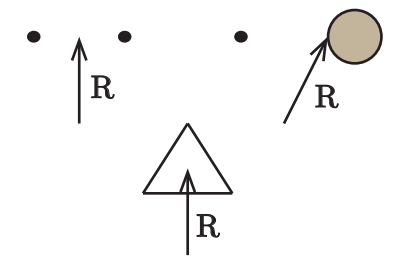


Abbildung 4.9: Schwerpunktsvektor für zwei gleich grosse Massen, zwei unterschiedliche Massen und eine kontinuierliche Massenverteilung in der Form eines Dreiecks.

vereint wäre und die äußere Gesamtkraft auf ihn wirkte. Die inneren Käfte spielen hier keine Rolle. Im abgeschlossenen System ( $\mathbf{F}^{ext} = \mathbf{0}$ ) bewegt sich der Schwerpunkt geradlinig-gleichförmig.

#### **Definition:**

$$\mathbf{P} := \sum_{i} m_{i} \dot{\mathbf{r}}_{i}$$
 Gesamtimpuls 
$$\Rightarrow \boxed{\dot{\mathbf{P}} = M\ddot{\mathbf{R}} = \mathbf{F}^{ext}}$$

Für ein abgeschlossenes System ergibt sich damit die Impulserhaltung:

$$\mathbf{F}^{ext} = 0 \implies \dot{\mathbf{P}} = \mathbf{0}$$

#### **Drehimpuls**

Wir definieren den Gesamtdrehimpuls als Summe der Einzeldrehimpulse:

$$\mathbf{L} = \sum_{i} \mathbf{L}_{i} = \sum_{i} \mathbf{r}_{i} \times \mathbf{p}_{i} = \sum_{i} m_{i} (\mathbf{r}_{i} \times \dot{\mathbf{r}}_{i})$$

$$\Rightarrow \dot{\mathbf{L}} = \sum_{i} m_{i} [(\dot{\mathbf{r}}_{i} \times \dot{\mathbf{r}}_{i}) + (\mathbf{r}_{i} \times \ddot{\mathbf{r}}_{i})] = \sum_{i} (\mathbf{r}_{i} \times \mathbf{F}_{i})$$
$$= \sum_{i} (\mathbf{r}_{i} \times \mathbf{F}_{i}^{ext}) + \sum_{i,j} (\mathbf{r}_{i} \times \mathbf{F}_{ij})$$

Für Zentralkräfte ( $\mathbf{F}_{ij} \parallel (\mathbf{r}_i - \mathbf{r}_j)$ ) verschwindet der zweite Term:

$$\sum_{i,j} \mathbf{r}_i \times \mathbf{F}_{ij} = \frac{1}{2} \sum_{i,j} \left[ (\mathbf{r}_i \times \mathbf{F}_{ij}) + (\mathbf{r}_j \times \mathbf{F}_{ji}) \right] = \frac{1}{2} \sum_{i,j} (\mathbf{r}_i - \mathbf{r}_j) \times \mathbf{F}_{ij} = \mathbf{0}$$

Damit folgt der Drehimpulssatz:

$$\Rightarrow$$
  $\dot{\mathbf{L}} = \sum_i (\mathbf{r}_i imes \mathbf{F}_i^{ext}) =: \mathbf{M}^{ext}$  Gesamtdrehmoment

Für ein abgeschlossenes System gilt Drehimpulserhaltung:

$$\mathbf{M}^{ext} = \mathbf{0} \implies \mathbf{L} = const.$$

Der Gesamtimpuls  $\mathbf{L}$  kann zerlegt werden in Schwerpunktsanteil  $\mathbf{L}_s$  und Relativanteil  $\mathbf{L}_r$ . Wir definieren Relativkoordinaten für jeden Massepunkt i:

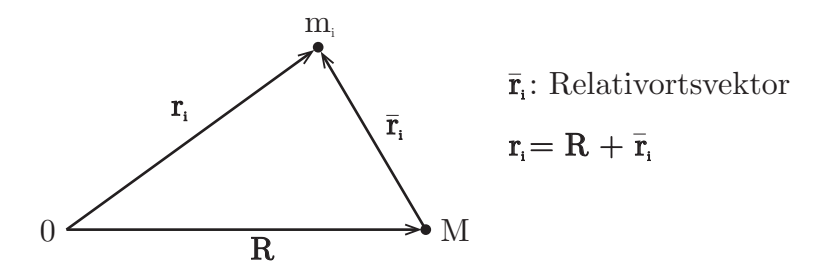


Abbildung 4.10: Definition von Relativkoordinaten

$$\mathbf{r}_i = \mathbf{R} + \bar{\mathbf{r}}_i$$

Wegen

$$\sum_{i} m_{i} \bar{\mathbf{r}}_{i} = \sum_{i} m_{i} (\mathbf{r}_{i} - \mathbf{R}) = M\mathbf{R} - M\mathbf{R} = \mathbf{0}$$

ergibt sich für die Zerlegung des Gesamtimpulses:

$$\Rightarrow \mathbf{L} = \sum_{i} m_{i} (\mathbf{r}_{i} \times \dot{\mathbf{r}}_{i}) = \sum_{i} m_{i} [(\mathbf{R} + \bar{\mathbf{r}}_{i}) \times (\dot{\mathbf{R}} + \dot{\bar{\mathbf{r}}}_{i})]$$

$$= \sum_{i} m_{i} [(\mathbf{R} \times \dot{\mathbf{R}}) + (\mathbf{R} \times \dot{\bar{\mathbf{r}}}_{i}) + (\bar{\mathbf{r}}_{i} \times \dot{\mathbf{R}}) + (\bar{\mathbf{r}}_{i} \times \dot{\bar{\mathbf{r}}}_{i})]$$

$$= \underbrace{M(\mathbf{R} \times \dot{\mathbf{R}})}_{\mathbf{L}_{s}} + (\mathbf{R} \times (\underbrace{\sum_{i} m_{i} \dot{\bar{\mathbf{r}}}_{i}})) + ((\underbrace{\sum_{i} m_{i} \bar{\mathbf{r}}_{i}}) \times \dot{\mathbf{R}}) + \underbrace{\sum_{i} m_{i} (\bar{\mathbf{r}}_{i} \times \dot{\bar{\mathbf{r}}}_{i})}_{\mathbf{L}_{r}}$$

In kompakter Schreibweise:

$$\mathbf{L} = \mathbf{L}_s + \mathbf{L}_r$$
 $\mathbf{L}_s = M(\mathbf{R} \times \dot{\mathbf{R}}) = \mathbf{R} \times \mathbf{P}$ 
 $\mathbf{L}_r = \sum_i m_i (\bar{\mathbf{r}}_i \times \dot{\bar{\mathbf{r}}}_i)$ 

Vergleich mit dem Impuls:

$$\mathbf{P} = \sum_{i} m_{i} \dot{\mathbf{r}}_{i} = \sum_{i} m_{i} (\dot{\mathbf{R}} + \underbrace{\dot{\mathbf{r}}_{i}}_{=0}) = M\dot{\mathbf{R}}$$

Der Gesamtimpuls hat nur einen Schwerpunktsanteil.

## **Energie**

Zunächst multiplizieren die Bewegungsgleichung eines einzelnen Massenpunktes skalar mit  $\dot{\mathbf{r}}_i$  und summieren anschließend über i. Es ergibt sich:

$$\sum_{i} m_{i}(\ddot{\mathbf{r}}_{i} \cdot \dot{\mathbf{r}}_{i}) = \frac{d}{dt} \underbrace{(\frac{1}{2} \sum_{i} m_{i} \dot{\mathbf{r}}_{i}^{2})}_{-T \text{ kinet Energie}} = \sum_{i} \mathbf{F}_{i} \cdot \dot{\mathbf{r}}_{i}$$

Wir unterscheiden zwischen konservativen und dissipativen Kräften:

$$\mathbf{F}_i = -\nabla_i V(\mathbf{r}_1, \dots, \mathbf{r}_N) + \mathbf{F}^{dis}$$
 [ $\nabla_i$  Gradient für das i-te Teilchen  $\Rightarrow \frac{dV}{dt} = \sum_i (\nabla_i V) \cdot \dot{\mathbf{r}}$ 

$$\Rightarrow \left[ \frac{d}{dt}(T+V) = \sum_{i} \mathbf{F}_{i}^{dis} \cdot \dot{\mathbf{r}}_{i} \right] \quad \text{Energiesatz}$$

Im Falle eines konservativen Systems folgt:

$$T + V = E = const.$$
 Die Gesamtenergie ist erhalten.

#### Definitionen:

$$x_{ij} = x_i - x_j, \quad y_{ij} = y_i - y_j, \quad z_{ij} = z_i - z_j$$

$$\nabla_{ij} = \left(\frac{\partial}{\partial x_{ij}}, \frac{\partial}{\partial y_{ij}}, \frac{\partial}{\partial z_{ij}}\right)$$

Typischerweise haben wir für die inneren Kräfte konservative Zentralkräfte, d.h. es gibt Zwei-Körper-Potentiale, die nur vom Betrag des Abstandes abhängen:

$$V_{ij} = V_{ij}(r_{ij}) \quad \text{mit } r_{ij} = |\mathbf{r}_i - \mathbf{r}_j|$$

$$\Rightarrow \mathbf{F}_{ij} = -\nabla_i V_{ij} = -\nabla_{ij} V_{ij} = +\nabla_{ji} V_{ij} = \nabla_j V_{ij} = -\mathbf{F}_{ji} = \nabla_j V_{ji}$$

$$\Rightarrow V_{ij} = V_{ji}, \quad V_{ii} = 0 \ (\mathbf{F}_{ii} = 0)$$

Die Matrix der Zwei-Körper-Potentiale ist also symmetrisch und hat eine verschwindende Diagonale. Für die Energieerhaltung bezüglich der inneren Kräfte haben wir dann:

$$\sum_{i} \mathbf{F}_{i} \cdot \dot{\mathbf{r}}_{i} = \sum_{i,j} \mathbf{F}_{ij} \cdot \dot{\mathbf{r}}_{i} = \frac{1}{2} \sum_{i,j} (\mathbf{F}_{ij} \cdot \dot{\mathbf{r}}_{i} + \mathbf{F}_{ji} \cdot \dot{\mathbf{r}}_{j}) = \frac{1}{2} \sum_{i,j} \mathbf{F}_{ij} \cdot \dot{\mathbf{r}}_{ij}$$
$$= \frac{1}{2} \sum_{i,j} (-\nabla_{ij} V_{ij}) \cdot \dot{\mathbf{r}}_{ij} = -\frac{1}{2} \frac{d}{dt} \sum_{i,j} V_{ij}$$

Wir nehmen an, dass auch die externe Kraft konservativ ist:

$$\Rightarrow \mathbf{F}_{i}^{ext} = -\nabla_{i} V_{i}^{ext}(\mathbf{r}_{i}) = -\nabla V^{ext}(\mathbf{r}_{1}, \dots, \mathbf{r}_{n}) \text{ mit } V^{ext} = \sum_{i} V_{i}^{ext}$$

Damit haben wir:

$$\sum_{i} \mathbf{F}_{i}^{ext} \cdot \dot{\mathbf{r}}_{i} = -\frac{d}{dt} \sum_{i} V_{i}^{ext}$$

Für das Gesamtpotential folgt also:

$$\Rightarrow \underbrace{V(\mathbf{r}_1, \dots, \mathbf{r}_N)}_{\text{Gesamt potential}} = \underbrace{\sum_{i} V_i^{ext}(\mathbf{r}_i)}_{V^{ext}} + \underbrace{\frac{1}{2} \sum_{i,j} V_{ij}}_{\sum_{i < j} V_{ij}}$$

Dieses Ergebnis macht Sinn, jedes Paarpotential kommt effektiv nur einmal vor.

#### Virial

Wir groß sind die relativen Beträge von kinetischer und potentieller Energie zur Gesamtenergie? Diese Frage kann für das zeitliche Mittel beantwortet werden! Wir betrachten im folgenden nur konservative Kräfte. Wir multiplizieren die Bewegungsgleichung skalar mit  $\mathbf{r}_i$  und summieren auf:

$$\Rightarrow \sum_{i} m_{i}(\ddot{\mathbf{r}}_{i} \cdot \mathbf{r}_{i}) = \sum_{i} \mathbf{F}_{i} \cdot \mathbf{r}_{i} = \underbrace{\frac{d}{dt} \sum_{i} m_{i}(\dot{\mathbf{r}}_{i} \cdot \mathbf{r}_{i})}_{\text{verschwindet idR im zeitl. Mittel}} - \underbrace{\sum_{i} m_{i} \dot{\mathbf{r}}_{i}^{2}}_{=2T}$$

Der zeitl. Mittelwert einer Funktion f(t) ist definiert durch:

$$\langle f \rangle := \lim_{\tau \to \infty} \frac{1}{\tau} \int_0^{\tau} f(t) dt$$

$$\Rightarrow \langle \frac{d}{dt} \sum_i m_i (\dot{\mathbf{r}}_i \cdot \mathbf{r}_i) \rangle = \frac{1}{\tau} \left[ \underbrace{\sum_i m_i (\dot{\mathbf{r}}_i \cdot \mathbf{r}_i)}_{(*)} \right]_0^{\tau} \to 0 \text{ (wenn (*) endlich)}$$

Dies ist z.Bsp. der Fall bei gebundener Bewegung (Planeten, Federn) aber nicht bei Streuung.

$$\Rightarrow \boxed{< T >= \frac{1}{2} < \underbrace{\sum_{i} (\nabla_{i} V \cdot \mathbf{r}_{i})}_{Virial} >} \quad Virialsatz$$

Die kinetische Energie ist im zeitlichen Mittel gleich dem halben Virial. Spezialfall: homogene Potentiale vom Grad k

$$V(\alpha \mathbf{r}_{1}, \dots, \alpha \mathbf{r}_{N}) = \alpha^{k} V(\mathbf{r}_{1}, \dots, \mathbf{r}_{N})$$

$$\frac{\partial}{\partial \alpha} V(\alpha \mathbf{r}_{1}, \dots, \alpha \mathbf{r}_{N}) = k \alpha^{k-1} V(\mathbf{r}_{1}, \dots, \mathbf{r}_{N}) = \frac{\partial V}{\partial (\alpha \mathbf{r}_{i})} \cdot \frac{\partial (\alpha \mathbf{r}_{i})}{\partial \alpha}$$

$$= \sum_{i} \frac{\partial V}{\partial (\alpha \mathbf{r}_{i})} \cdot \mathbf{r}_{i}$$

$$\stackrel{\alpha=1}{\Rightarrow} kV = \sum_{i} \frac{\partial V}{\partial \mathbf{r}_{i}} \cdot \mathbf{r}_{i}$$

$$\Rightarrow$$
  $\boxed{< T > = \frac{1}{2} k < V >}$  Virialsatz für homogene Potentiale

#### Beispiele

#### 1. Federn

$$V_{ij} = \frac{1}{2}k_{ij}r_{ij}^{2}$$

$$\Rightarrow k = 2 \Rightarrow \langle T \rangle = \langle V \rangle$$

Es ist genau gleich viel Energie in kinetischer und potentieller Energie gespeichert. Das gilt insbesondere für Moleküle oder Festkörper.

#### 2. Gravitation

$$V_{ij} = -\gamma m_i m_j \frac{1}{r_{ij}}$$

$$\Rightarrow k = -1$$

$$\Rightarrow 2 < T >= - < V >= -(E - < T >)$$

$$\Rightarrow < T >= -E \quad (E < 0 \text{ wegen gebundener Bewegung})$$

$$< V >= 2E \Rightarrow |< V >| = 2 |< T >|$$

Es ist zweimal so viel Energie in potentieller Energie gespeichert wie in kinetischer Energie.

## 4.4 Zwei-Teilchen-Systeme

Wir werden uns im folgenden als Speziallfall der Mehrteilchensysteme den Zwei-Teilchen-Systeme (N=2) zuwenden. Wir definieren Schwerpunkts- und Relativko-

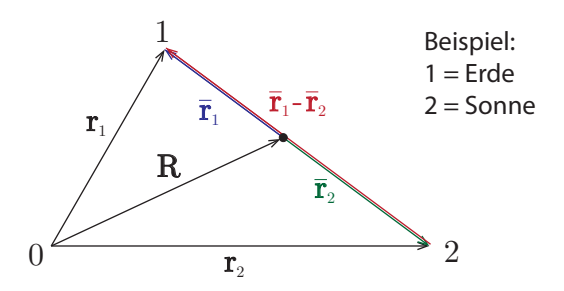


Abbildung 4.11: Ortsvektoren im Zwei-Teilchen-System, Definition von Schwerpunkts- und Relativkoordinaten

ordinaten:

$$\mathbf{R} = \frac{m_1 \mathbf{r}_1 + m_2 \mathbf{r}_2}{m_1 + m_2}, \ \mathbf{r} = \mathbf{r}_1 - \mathbf{r}_2$$

$$\Rightarrow \mathbf{r}_1 = \mathbf{R} + \underbrace{\frac{m_2}{M}}_{\mathbf{r}_1} \mathbf{r}, \qquad \mathbf{r}_2 = \mathbf{R} - \underbrace{\frac{m_1}{M}}_{\mathbf{r}_2} \mathbf{r}$$

Zur Positionsbeschreibung der Massenpunkte sind  $(\mathbf{r}_1, \mathbf{r}_2)$  und  $(\mathbf{R}, \mathbf{r})$  also äquivalent. Wie lauten die Bewegungsgleichungen für  $\mathbf{R}$  und  $\mathbf{r}$ ? Schwerpunktsatz für abgeschlossene Systeme:

$$M\ddot{\mathbf{R}} = \mathbf{F}^{ext} = \mathbf{0}$$

Relativbewegung:

$$\ddot{\mathbf{r}} = \ddot{\mathbf{r}}_1 - \ddot{\mathbf{r}}_2 = \frac{\mathbf{F}_1^{ext}}{m_1} - \frac{\mathbf{F}_2^{ext}}{m_2} + \frac{\mathbf{F}_{12}}{m_1} - \frac{\mathbf{F}_{21}}{m_2} = \frac{\mathbf{F}_1^{ext}}{m_1} - \frac{\mathbf{F}_2^{ext}}{m_2} + \underbrace{(\frac{1}{m_1} + \frac{1}{m_2})}_{=:\frac{1}{n}} \mathbf{F}_{12}$$

$$\mu = \frac{m_1 m_2}{m_1 + m_2} = \frac{m_1 m_2}{M} \qquad reduzierte \ Masse$$

In einem abgeschlossenen System gilt also für den Relativvektor:

$$\mu\ddot{\mathbf{r}} = \mathbf{F}_{12}$$

Die zwei Bewegungsgleichungen sind also entkoppelt und man erhält effektiv ein Ein-Teilchen-System. Die Erhaltungssätze sind demnach wie in Kapitel 2 (*Dynamik des Massenpunktes*).

Kinetische Energie:

$$T = \sum_{i=1,2} \frac{1}{2} m_i \dot{\mathbf{r}}_i^2 = \frac{1}{2} m_1 (\dot{\mathbf{R}} + \frac{m_2}{M} \dot{\mathbf{r}})^2 + \frac{1}{2} m_2 (\dot{\mathbf{R}} - \frac{m_1}{M} \dot{\mathbf{r}})^2$$
$$= \underbrace{\frac{1}{2} M \dot{\mathbf{R}}^2}_{T_s} + \underbrace{\frac{1}{2} \mu \dot{\mathbf{r}}^2}_{T_s} \qquad \text{(gemischte Terme heben sich auf)}$$

Drehimpuls:

$$\begin{split} \mathbf{L} &= \mathbf{L}_s + \mathbf{L}_r \\ \mathbf{L}_s &= M(\mathbf{R} \times \dot{\mathbf{R}}) = \mathbf{R} \times \mathbf{P} \\ \mathbf{L}_r &= \sum_{i=1,2} m_i (\bar{\mathbf{r}}_i \times \dot{\bar{\mathbf{r}}}_i) = \mu(\mathbf{r} \times \dot{\mathbf{r}}) \end{split}$$

Potentielle Energie:

$$V = \mathbf{V}_r = V_{12}$$

Theorem (Bertrand): Stabile, geschlossene Bahnkurven gibt es nur für die Potentiale  $-\frac{\alpha}{r}$  und  $\frac{1}{2}kr^2$ .

**Definition**: Systeme, die sich durch Erhaltungssätze auf eindimensionale Integrale reduzieren lassen, heißen *vollständig integrabel*. Das gilt für das Zwei-, aber nicht für das Drei-Körper-Problem.

## 4.5 Kepler-Problem

Zwei-Körper-Problem mit der Gravitationskraft als wirkende Kraft zwischen den zwei Massenpunkten.

$$V(\mathbf{r}_{1}, \mathbf{r}_{2}) = V_{12}(r) = -\frac{\gamma m_{1} m_{2}}{r}$$

$$\Rightarrow \mathbf{F}_{12} = -\nabla_{1} V_{12} = -\nabla_{12} V_{12} = -\gamma m_{1} m_{2} \frac{\mathbf{r}}{r^{3}}$$

$$\Rightarrow \mu \ddot{\mathbf{r}} = -\gamma m_{1} m_{2} \frac{\mathbf{r}}{r^{3}} = -\gamma \mu M \frac{\mathbf{r}}{r^{3}}$$

Es handelt sich also effektiv um ein Teilchen der Masse  $\mu$  im Gravitationspotential von M, das sich mit dem Ortsvektor  $\mathbf{r}$  um den Ursprung bewegt. Man führt demnach eine Ein-Teilchen-Rechnung durch und erhält Kegelschnitte (Ellipsen für E < 0, Hyperbeln für E > 0) als Lösung der Differentialgleichung. Wir interessieren uns hier erst einmal für gebundene Bahnen, also Ellipsen. Wenn der Vektor  $\mathbf{r}$  auf einer Ellipse läuft, dann gilt das auch für die beiden Relativvektoren  $\bar{\mathbf{r}}_1$  und  $\bar{\mathbf{r}}_2$  im Schwerpunktsystem. Im Schwerpunktsystem laufen also beide Massen gleich-

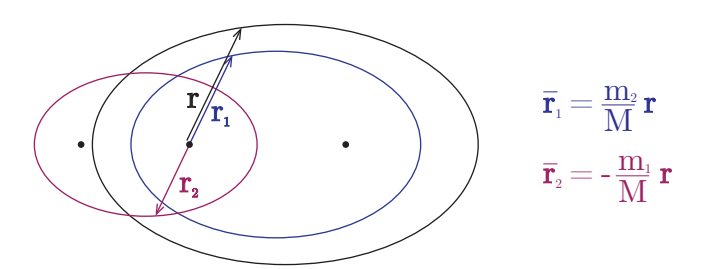


Abbildung 4.12: Im Schwerpunktsystem laufen beide Ortsvektoren gleichsinnig auf Ellipsen.

sinnig auf Ellipsen. Für die Halbachsen der Ellipsen in Abhängigkeit der Massen folgt aus der Ein-Teilchen-Rechnung:

$$a_1 = -\gamma \frac{\mu m_2}{2E_r}, \quad a_2 = -\gamma \frac{\mu m_1}{2E_r} \qquad \Rightarrow \frac{a_1}{a_2} = \frac{m_2}{m_1}$$

D.h. je größer die Masse, desto kleiner die Halbachse. Das Verhältnis der Massen von Sonne und Erde ist:  $\frac{m_S}{m_E}=3,33\cdot 10^5$ . Mit der Halbachse der Erde  $a_E=1$  AE (Astronomische Einheit) =  $1,5\cdot 10^8 km$  ergibt sich für die Halbachse der Sonne:

$$a_S = \frac{m_E}{m_S} a_E = \frac{1 \ AE}{3,33 \cdot 10^5} = 500 km$$

## 4.6 Zwei-Teilchen-Streuung

Zwei Massenpunkte bewegen sich aufeinander zu, wechselwirken für eine begrenzte Zeit und laufen wieder voneinander weg. Dieser Vorgang wird als *Streuung* oder *Stoss* bezeichnet. Streuexperimente sind zentral für die Atom-, Molekül-, Kern-

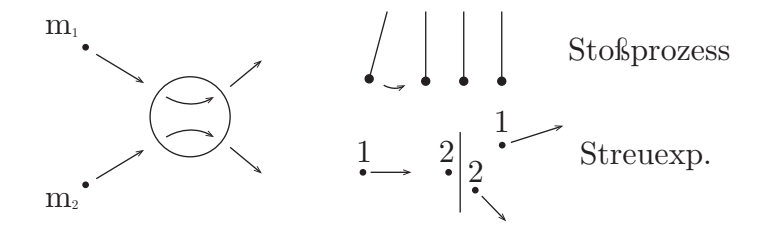


Abbildung 4.13: Bei der Zwei-Teilchen-Streuung sind die Bahnkurven ungebunden, wechselwirken aber in einem zentralen Bereich.

und Elementarteilchenphysik, da sie es erlauben, aus den experimentellen Daten auf das Wechselwirkungspotential zu schliessen (das ist ein Beispiel für ein *inverses Problem*, wobei das direkte Problem die Berechnung der Streuung aus dem Potential ist). Man muss zwei verschiedene Bezugssysteme unterscheiden:

## a) Laborsystem $\sum_L$ Hier wird das Experiment gemacht. Wir verwenden für die Koordinaten im Laborsystem die Bezeichnung: $\mathbf{r}_i$

# b) Schwerpunktsystem $\sum_{S}$ Das Schwerpunktsystem ist theoretisch einfacher zu handhaben (wenn abgeschlossen). Die Koordinaten kennzeichnen wir mit: $\bar{\mathbf{r}}_i$ , $\sum_{i} m_i \bar{\mathbf{r}}_i = \mathbf{0}$

Das vollständige Problem kann nur in Kenntnis des Potentials gelöst werden. Allerdings können im allgemeinen Fall schon aus Impuls- und Energieerhaltung weitreichende Folgerungen gezogen werden (*Impulsanalyse*).

## **Impulserhaltung**

$$\sum\nolimits_L: \quad \mathbf{p}_1+\mathbf{p}_2=\mathbf{p}_1'+\mathbf{p}_2'=const.$$

Das kommt daher, dass es keine äußeren Kräfte gibt. Dies sind drei Bestimmungsgleichungen für die sechs Unbekannte.

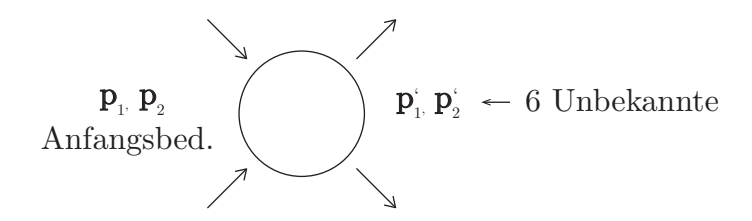


Abbildung 4.14: Die Zwei-Teilchen-Streuung hat sechs Unbekannte.

$$\sum
olimits_S: ar{\mathbf{p}}_1 + ar{\mathbf{p}}_2 = ar{\mathbf{p}}_1' + ar{\mathbf{p}}_2' = \mathbf{0}$$

Da der Schwerpunkt hier ruht, heben sich die Impulse gerade auf. Das heißt:

$$\Rightarrow \quad \bar{\mathbf{p}}_1 = -\bar{\mathbf{p}}_2, \qquad \bar{\mathbf{p}}_1' = -\bar{\mathbf{p}}_2'$$

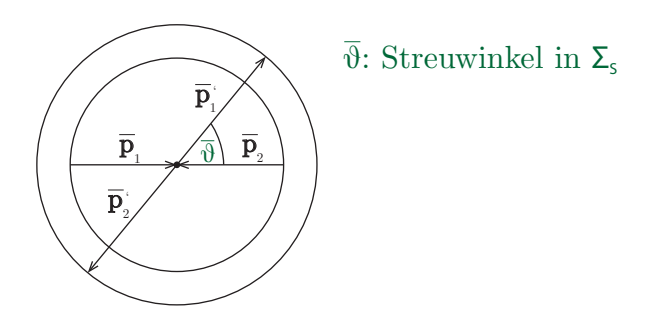


Abbildung 4.15: Einlaufende und auslaufende Impulse im Schwerpunktsystem heben sich jeweils auf.

## Energieerhaltung

$$\sum_{L}: \qquad \sum_{i=1}^{2} \frac{\mathbf{p}_{i}^{2}}{2m_{i}} = \sum_{i=1}^{2} \frac{\mathbf{p}_{i}^{\prime 2}}{2m_{i}} \left( +Q \right) \qquad \left[ \begin{array}{c} Q \quad \text{Energie\"{u}bertrag bei} \ \textit{inelastischer Streuung} \end{array} \right]$$

In unserem Fall ist Q=0, denn wir gehen von elastischer Streuung aus (Energieerhaltung bei konservativen Kräften, keine zusätzlichen Freiheitsgrade wie Anoder Abregung der Teilchen).

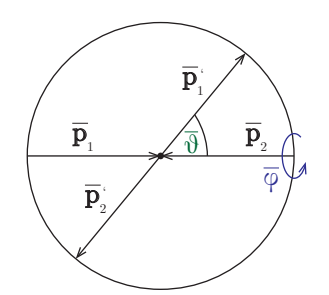
$$\sum_{S} : \sum_{i=1}^{2} \frac{\bar{\mathbf{p}}_{i}^{2}}{2m_{i}} = \sum_{i=1}^{2} \frac{\bar{\mathbf{p}}_{i}'^{2}}{2m_{i}} (+\bar{Q}) \quad \text{(ohne Beweis: } Q = \bar{Q})$$

$$T_{r} = \frac{\bar{\mathbf{p}}_{1}^{2}}{2m_{1}} + \frac{\bar{\mathbf{p}}_{2}^{2}}{2m_{2}} \stackrel{\text{Impulssatz}}{=} \frac{1}{2} \left( \frac{1}{m_{1}} + \frac{1}{m_{2}} \right) \bar{\mathbf{p}}_{i}^{2} \ (i = 1 \text{ oder } i = 2)$$

$$= \frac{\bar{\mathbf{p}}_{i}^{2}}{2\mu} = \frac{\bar{\mathbf{p}}_{i}'^{2}}{2\mu}$$

$$\Rightarrow |\bar{\mathbf{p}}_{i}'| = |\bar{\mathbf{p}}_{i}|$$

Die Energieerhaltung legt also noch die Beträge fest. Da hier nochmals der Impulssatz verwendet wurde, ist das nur eine zusätzliche Bestimmungsgleichung, es bleiben also noch zwei Unbekannte, nämlich zwei Winkel. Davon ist aber bei rotationssymmetrischen Potentialen nur einer relevant, nämlich der Streuwinkel, der im Folgenden eine zentrale Rolle spielen wird.



Alle Vektoren auf der gleichen Kugelschale, aber zwei unbekannte Winkel

 $\overline{\vartheta}$ : Streuwinkel in  $\Sigma_s$  $\overline{\varphi}$ : Azimutalwinkel

Abbildung 4.16: Aufgrund der Energieerhaltung sind die Beträge der Impulsvektoren vor und nach der Streuung gleich.

Wir machen jetzt noch die zusätzliche Annahme, dass Teilchen 2 (das Target) vor dem Stoß ruht ( $\mathbf{r}_2 = 0$ ). Demnach geht der Gesamtimpuls von Teilchen 1 aus,  $\mathbf{p}_1 = \mathbf{P}$ , und der anfängliche Impuls von Teilchen 2 ist der Nullvektor,  $\mathbf{p}_2 = \mathbf{0}$ . Für die Impulse nach dem Stoß gilt:

$$\mathbf{p}'_{1} = m_{1}(\dot{\mathbf{R}} + \dot{\bar{\mathbf{r}}}'_{1}) = \frac{m_{1}}{M}\mathbf{p}_{1} + \bar{\mathbf{p}}'_{1}$$

$$\mathbf{p}'_{2} = \mathbf{p}_{1} + \underbrace{\mathbf{p}_{2}}_{=0} - \mathbf{p}'_{1} = \mathbf{p}_{1} - (\frac{m_{1}}{M}\mathbf{p}_{1} + \bar{\mathbf{p}}'_{1}) = \frac{m_{2}}{M}\mathbf{p}_{1} - \bar{\mathbf{p}}'_{1}$$

Somit legt  $\bar{\mathbf{p}}'_1$  die beiden Endimpulse fest.

Energieerhaltung: 
$$|\bar{\mathbf{p}}_1'| = |\bar{\mathbf{p}}_1| = \left| m_1(\dot{\mathbf{r}}_1 - \dot{\mathbf{R}}) \right| = \left| \mathbf{p}_1 - \frac{m_1}{M} \mathbf{p}_1 \right| = \frac{m_2}{M} |\mathbf{p}_1|$$

#### **Impulsanalyse**

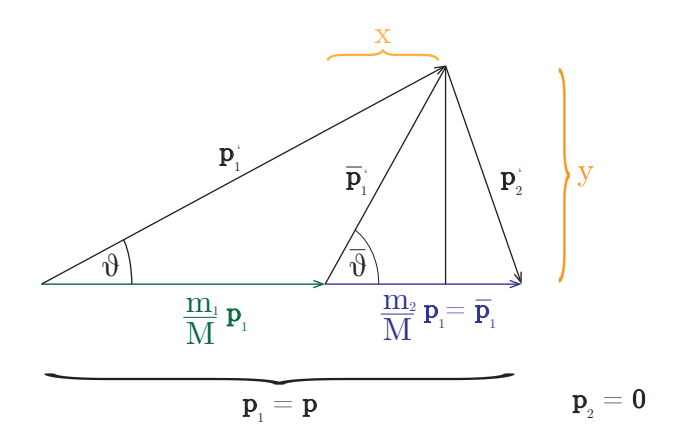


Abbildung 4.17: Für ein ruhendes Target liegen alle Impulsvektoren in einer Ebene und bilden ein einfaches Vektordiagramm.

Die Ergebnisse der Impulsanalyse mit einem ruhenden Target können in einem Vektordiagramm zusammengefasst werden. Aus diesem Diagramm kann man auch den Zusammenhang der Streuwinkel in Schwerpunkt und Laborsystem berechnen. Wir definieren die Längen x und y und lesen folgende Winkelverhältnisse ab:

$$\sin \bar{\vartheta} = \frac{y}{|\bar{\mathbf{p}}_1'|}$$

$$\cos \bar{\vartheta} = \frac{x}{|\bar{\mathbf{p}}_1'|}$$

Damit folgt:

$$\tan \vartheta = \frac{y}{x + \frac{m_1}{M} |\mathbf{p}_1|} = \frac{\sin \bar{\vartheta}}{\cos \bar{\vartheta} + \gamma} \text{ mit } \gamma = \frac{m_1}{M} \frac{|\mathbf{p}_1|}{|\bar{\mathbf{p}}_1'|} = \frac{m_1}{M} \frac{|\mathbf{p}_1|}{\frac{m_2}{M} |\mathbf{p}_1|} = \frac{m_1}{m_2}$$

Die Beziehung zwischen  $\vartheta$  und  $\bar{\vartheta}$  wird also nur durch das Massenverhältnis bestimmt. Das Massenverhältnis führt auch zu starken Einschränkungen auf die möglichen Streuwinkel:

- $\gamma > 1$  der linke Punkt liegt ausserhalb des durch  $\bar{\mathbf{p}}_1'$  definierten Kreises (also so wie in der Skizze), Streuung nur in Vorwärtsrichtung, es gibt einen maximalen Streuwinkel.
- $\gamma<1$ der linke Punkt liegt innerhalb des durch  $\bar{\bf p}_1'$  definierten Kreises, alle Streuwinkel möglich.

 $\gamma=1$  der linke Punkt liegt genau auf dem durch  $\bar{\mathbf{p}}_1'$  definierten Kreis, der Satz von Thales besagt dann, dass die Teilchen im Laborsystem im rechten Winkel voneinander wegfliegen (diese Aussage macht nur Sinn, wenn die Impulse nicht verschwinden, was zum Beispiel beim Zentralstoss auf ein ruhendes Target mit Impulsaustausch nicht mehr gilt). Ein Spezialfall ist der Zentralstoss, also  $\vartheta=\pi$ . Dann degeneriert das Dreieck zu einem Strich und man sieht, dass die zwei Massen genau den Impuls tauschen. Das ist die Basis von einem Fadenpendel mit mehreren Kugeln, das gerne als Einrichtungsgegenstand verwendet wird.

### Streuung am 1/r-Potential

Zur vollständigen Lösung muss ein bestimmtes Potential betrachtet werden. Wir betrachten dies jetzt für das Gravitations/Coulomb-Potential,  $V(r) = -\frac{\alpha}{r}$ . Die Bahnen sind also Kegelschnitte.

Anfangsgeschwind. 
$$v \implies E = \frac{1}{2}\mu r^2 > 0$$

Es gibt also keine gebundenen Zustände und die Bahnkurve ist nicht eine Ellipse, sondern eine Hyperbel. Wir betrachten wieder  $\mathbf{r}_2 = \mathbf{0}$  (ruhendes Target) und die Relativkoordinate  $\mathbf{r} = \mathbf{r}_1 - \mathbf{r}_2$ . Der *Stossparameter b* ist der Abstand, um den das einfallende Teilchen das Target verfehlen würde, wenn es keine Streuung gebe. Die

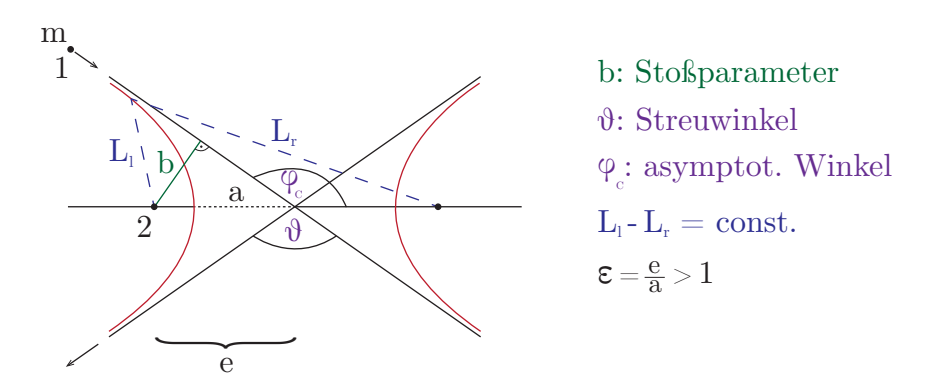


Abbildung 4.18: Die Zwei-Teilchen-Streuung mit Gravitationspotential ergibt Hyperbelbahnen.

Bahn des Massenpunktes wird beschrieben durch:

$$r = \frac{k}{1 + \varepsilon \cos \varphi}$$
 mit  $\varepsilon = \frac{e}{a} > 1$  (Exzentrizität)

Die Exzentrizität ist grösser als 1 aufgrund der positiven Energie:

$$\varepsilon = \sqrt{1 + \frac{2L^2E}{\alpha^2\mu}} > 1$$

Im Grenzfall  $r = \infty$  folgt der kritische (asymptotischer) Winkel:

$$\varphi_C = \arccos(-\frac{1}{\varepsilon})$$

Dieser ist mit dem Streuwinkel verbunden durch:

$$\vartheta + \pi = 2\varphi_C$$

Der Drehimpuls folgt aus dem Stossparameter,  $L = \mu bv$ . Damit folgt:

$$\varepsilon = \sqrt{1 + \frac{2(\mu b v)^2 \frac{1}{2} \mu v^2}{\alpha^2 \mu}} = \sqrt{1 + \frac{(b\mu v^2)^2}{\alpha^2}} \quad (1)$$

Für den Streuwinkel haben wir:

$$\sin\frac{\theta}{2} = \sin(\varphi_C - \frac{\pi}{2}) = -\cos\varphi_C = \frac{1}{\varepsilon}$$

Einsetzen in (1) und Auflösen nach b ergibt:

$$b^2 = \left(\frac{1}{\sin^2(\frac{\vartheta}{2})} - 1\right) \frac{\alpha^2}{(\mu v^2)^2}$$

Somit haben wir einen eindeutigen Zusammenhang zwischen dem Streuwinkel und dem Stoßparameter gefunden. Kleine Stoßparameter entsprechen großen Streuwinkeln und umgekehrt. Aber selbst für sehr kleine Stoßparameter gibt es noch einen Streuwinkel, weil das Potential langreichweitig ist.

## Streuquerschnitt

Der Zusammenhang zwischen Streuwinkel und dem Stoßparameter als Funktion des Potentials erlaubt es, aus den experimentellen Streuwinkeln auf die Potentiale zurückzuschliessen. Experimentell werden in der Regel sogenannte Streuquerschnitte gemessen. Typischerweise hat man eine homogene Verteilung über den Strahl, d.h. die Stossparameter sind nur entsprechend der Geometrie des Strahls verteilt. Deshalb skalieren alle Teilchenzahlen proportional zum eingeschossenen Teilchenfluss, also der Zahl der Teilchen, die pro Zeit und pro Querschnittsfläche eingeschossen werden, und alles kann auf ein Teilchen normiert werden. Zur

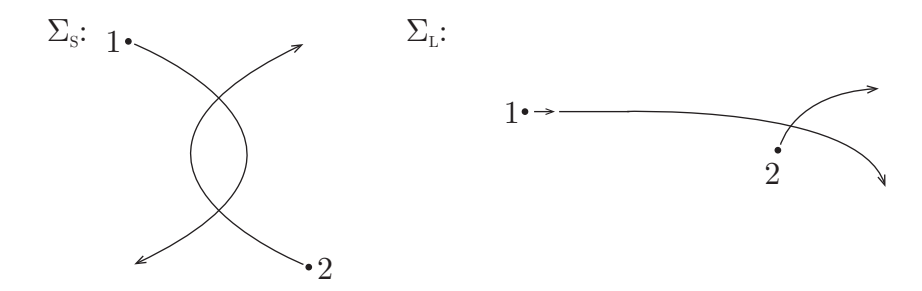


Abbildung 4.19: Hyperbelbahn der Streuung in Schwerpunkt- und Laborsystem.

Beschreibung des eingeschossenen Strahls sind zwei-dimensionale Polarkoordinaten angemessen. Nach dem Stoss fliegen die Teilchen in alle Richtungen weg, d.h. hier sind die drei-dimensionalen Kugelkoordinaten angemessen, aber davon benötigen wir nur die Winkelanteile. Wenn der Strahl in z-Richtung eingeschossen wird, dann ist der Streuwinkel gerade der Polarwinkel  $\vartheta$  der Kugelkoordinaten. Die andere Winkelkoordinate hat keinen physikalischen Effekt.

Jetzt muss man Grössen definieren, die wiedergeben, wie der ebene Strahl in eine kugelförmige Verteilung aufgefächert wird. Wir nehmen ein rotationssymmetrisches Potential an, d.h. es gibt nur einen relevanten Winkel, nämlich den Streuwinkel  $\vartheta$ , der wiederum eindeutig aus dem Stossparameter b folgt. Allerdings messen wir die gestreuten Teilchen nicht im ganzen Ring, der zu einem Streuwinkel gehört, sondern nur in einem bestimmten Raumwinkel  $d\Omega$  (also dem Raumkegel, der vom Detektor abgedeckt wird).

#### **Definition Streuguerschnitt:**

$$d\sigma = \frac{\# \text{Teilchen die pro Zeit in Raumwinkel } d\Omega \text{ gestreut werden}}{\# \text{Teilchen die pro Zeit und Fläche einfallen}}$$

Wegen des eindeutigen Zusammenhangs zum Stossparameter gilt (Vorzeichen werden weggelassen, im Prinzip gibt es hier ein Minuszeichen, weil b mit  $\vartheta$  abnimmt, aber die physikalischen Größen müssen alle positiv sein):

$$\begin{split} d\sigma &\stackrel{\text{Polarkoord.}}{=} b\,db\,d\varphi = b\frac{db}{d\vartheta}d\vartheta\,d\varphi \frac{\sin\vartheta}{\sin\vartheta} \\ d\Omega &\stackrel{\text{Kugelkoord.}}{=} \sin\vartheta\,d\vartheta\,d\varphi \\ \Rightarrow &\frac{d\sigma}{d\Omega} = b\frac{db}{d\vartheta}\frac{1}{\sin\vartheta} = \frac{1}{2}\frac{db^2}{d\vartheta}\frac{1}{\sin\vartheta} = \frac{\alpha^2}{2\mu^2v^4}\frac{\cos(\frac{\vartheta}{2})}{\sin^3(\frac{\vartheta}{2})}\frac{1}{\sin\vartheta} \end{split}$$

Wegen

$$\sin\vartheta = \sin(\frac{\vartheta}{2} + \frac{\vartheta}{2}) = 2\sin\frac{\vartheta}{2}\cos\frac{\vartheta}{2}$$

folgt:

$$\frac{d\sigma}{d\Omega} = \frac{\alpha^2}{4\mu^2 v^4} \frac{1}{\sin^4 \frac{\vartheta}{2}}$$
 Differentieller Streuquerschnitt

Coulomb-Streuung von Elektronen an Kern mit Kernladungszahl Z

$$\frac{d\sigma}{d\Omega} = \frac{(Ze^2)^2}{(4\pi\varepsilon_0)^2} \frac{1}{16E^2} \sin^{-4}\frac{\vartheta}{2}$$
 Rutherford'sche Streuformel

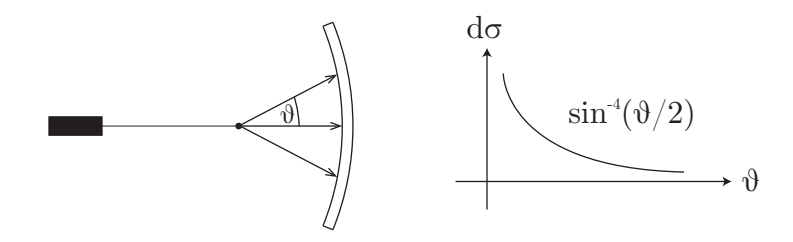


Abbildung 4.20: Im typischen experimentellen Aufbau misst ein Detektor mit endlichem Raumwinkel alle Streuwinkel aus. Für die Coulomb-Streuung fällt der differentielle Streuquerschnitt mit dem Winkel stark ab (Rutherford'sche Streuformel).

Interpretation:  $\frac{d\sigma}{d\Omega}$  hat die Dimension einer Fläche. Ein Teilchen, das durch diese Fläche tritt, wird in den gegebenen Streuwinkel gestreut. Je größer  $\frac{d\sigma}{d\Omega}$ , desto stärker ist die Streuung (für diesen Streuwinkel). Eine Integration führt auf den totalen Streuquerschnitt:

$$\sigma_{tot} = 2\pi \int_0^{\pi} d\vartheta \sin\vartheta \frac{d\sigma}{d\Omega} \tag{4.1}$$

Der totale Streuquerschnitt divergiert für das 1/r-Potential, weil diese Wechselwirkung langreichweitig ist, d.h. ein Teilchen wird immer gestreut.

## 4.7 Lineare Schwingungen

Viele mechanische Systeme haben einen stabilen Grundzustand, um den sie kleine Schwingungen ausführen. Im Sinne einer Taylorreihe sind das dann lineare Schwingungen, die physikalisch einem Mehrteilchensysteme mit Massen und Federn entsprechen.

Denn das Potential um ein Minimum bei  $x_0$  lässt sich approximieren als:

$$V(x) = V(x_0) + \underbrace{V'(x_0)(x - x_0)}_{=0} + \frac{1}{2}V''(x_0)(x - x_0)^2 + \dots$$

Also gilt in erster Näherung (eindimensional,  $x_0 = 0$ )

$$F = -\nabla V = -V''(x_0)x = -kx$$

was genau der Fall des harmonischen Oszillators ist. In der Molekül- und Festkörperphysik ist V oft das Morse-Potential.

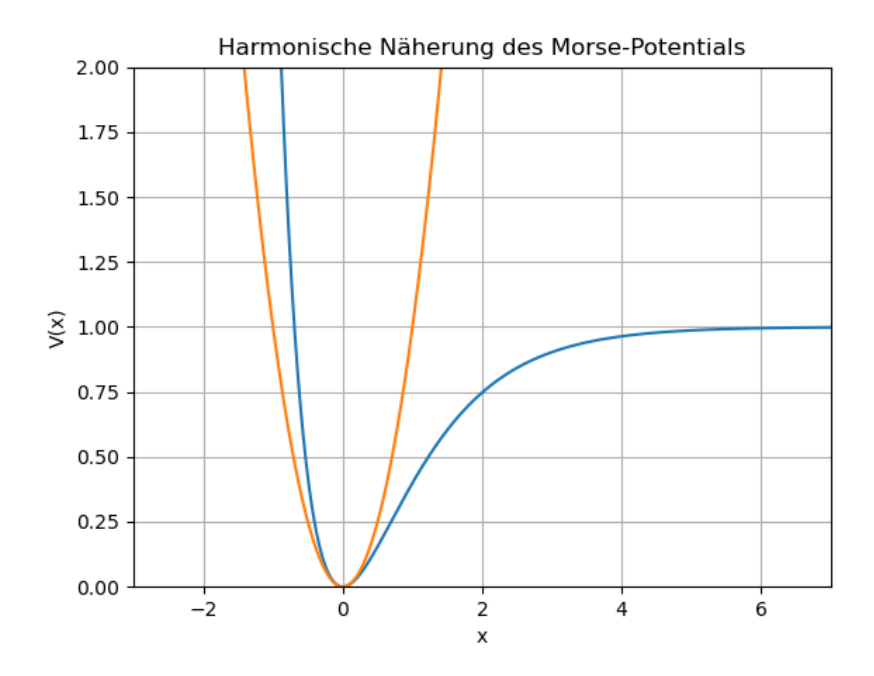


Abbildung 4.21: Näherung des Morse-Potentials.

Die Linearisierung von mechanischen Systemen ist ein sehr gut verstandenes Vorgehen. In der Molekülphysik werden so Moleküle wie Kohlendioxid modelliert; in der Biophysik werden damit große Biomoleküle modelliert. In der Festkörperphysik werden damit Kristalle beschrieben und z.B. die Schallausbreitung in Festkörpern beschrieben. Als Schwingungslehre sind die Theorie linearer Schwingungen auch ein wichtiger Teil der Ausbildung von Ingenieuren. Lineare Schwingungen treten nicht nur in mechanischen, sondern auch in elektronischen Systemen auf. Die mathematische Behandlung ähnelt der des harmonischen Oszillators, aber jetzt müssen wir in höheren Dimensionen arbeiten.

#### Beispiele

1. Zwei gekoppelte Massen (Linearisierung zweier gekoppelter Fadenpendel)

$$m_1\ddot{x}_1 = -k_1x_1 - k_{12}(x_1 - x_2)$$
  

$$m_2\ddot{x}_2 = -k_2x_2 + k_{12}(x_1 - x_2)$$

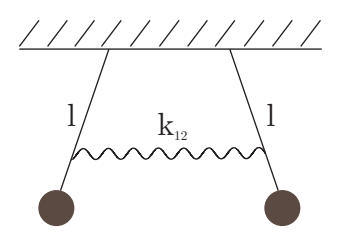


Abbildung 4.22: Zwei gekoppelte Fadenpendel.

Abbildung 4.23: Linearisierung zweier gekoppelter Fadenpendel.

2. Gekoppeltes Federpendel: dasselbe wie linearisiertes gekoppeltes Fadenpendel, aber mit  $k_2=0$ 

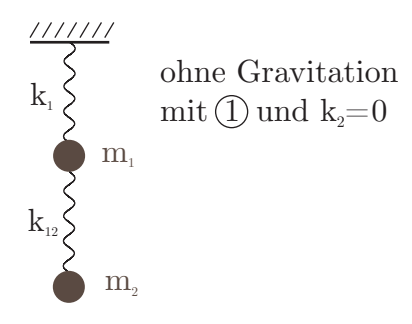


Abbildung 4.24: Gekoppelte Federpendel.

3. Unendliche Kette, eindimensionaler Kristall

$$m\ddot{x}_n = k(x_{n+1} - x_n) + k(x_{n-1} - x_n)$$

$$= k \underbrace{(x_{n+1} + x_{n-1} - 2x_n)}_{\text{diskretisierte 2. räumliche Abl.}}$$

Abbildung 4.25: Die unendliche Kette ist das einfachste Modell für einen Kristall.

Dieses Modell führt auf die Wellengleichung  $(1/c^2)\partial_t^2 u - \partial_x^2 u = 0$  mit der Schallgeschwindigkeit  $c = \sqrt{ka^2/m}$ , wobei u(x,t) die Auslenkung ist und a der Abstand zwischen den Massen.

4. Moleküle und Festkörper werden oft durch größere Anordnungen von Massen modelliert, die über Federn wechselwirken.

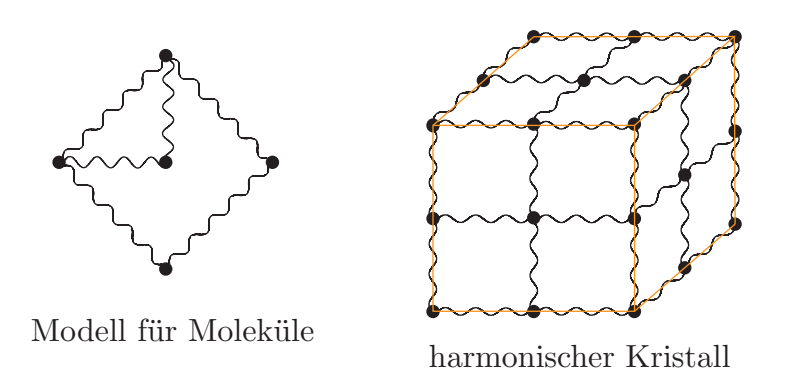


Abbildung 4.26: Modelle für Moleküle und Festkörper.

Alle diese Beispiele können rigoros als sogenannte Eigenwertprobleme nach Exponentialansatz gelöst werden. Wir formulieren das Problem erst sehr allgemein, aber spezialisieren dann sehr schnell auf das Beispiel der zwei linearisierten gekoppelten Federpendel. Zunächst führen wir die Zahl f der räumlichen Freiheitsgrade ein. Beim harmonischen Oszillator ist f=1 und bei dem gekoppeltem Federpendel ist f=2. Für den allgemeinen Fall schreiben wird dann

$$\sum_{j=1}^{f} M_{ij} \ddot{x}_j(t) + \sum_{j=1}^{f} K_{ij} x_j(t) = 0.$$

Das ist eine Verallgemeinerung von Newtons zweitem Gesetz für f Freiheitsgrade. Der erste Term beinhaltet die Massen, also die Trägheit im System, und der zweite die linearen Kräfte, die von harmonischen Potentialen stammen (keine Dämpfung,

deshalb keine Ableitung erster Ordnung). In Matrixschreibweise lässt sich dies verkürzt darstellen:

$$\underline{M}\ddot{\mathbf{x}(\mathbf{t})} + \underline{K}\ddot{\mathbf{x}(\mathbf{t})} = 0$$

Man kann zeigen, dass im Fall der linearisierten Schwingungen um stabile Minima beide Matrizen symmetrisch und positiv definit sind. Jetzt machen wir einen Exponentialansatz wie beim harmonischen Oszillator:

$$x_i(t) = v_i e^{i\omega t} \text{ bzw. } \mathbf{x(t)} = \mathbf{v}e^{i\omega t}$$
 (4.2)

Mit dem Ansatz ergibt sich

$$(\underline{K} - \underline{M}\omega^2)\mathbf{v} = \mathbf{0}.$$

Der Exponentialfaktor fällt also wie immer wieder raus und wir bekommen ein algebraisches Problem. Bei dieser Gleichung handelt es sich um ein sogenanntes Eigenwertproblem, d.h. man muss erst die Eigenwerte  $\omega^2$  bestimmen, die diese Gleichung lösen, und dann die zugehörigen Eigenvektoren  $(v_1, v_2)$ . Da die zwei Matrizen hier symmetrisch und positiv definit sind, kann man aus der linearen Algebra folgern, dass auch die Eigenwerte  $\omega^2$  reell und positiv sind und dass die Eigenvektoren reell gewählt werden können und eine Basis für den Lösungsraum aufspannen.

Wir nehmen jetzt das Beispiel der zwei gekoppelten Matrizen, mit f = 2. Dann haben die Matrizen folgende Form:

$$\underline{\underline{M}} = \begin{pmatrix} m_1 & 0 \\ 0 & m_2 \end{pmatrix} \qquad \underline{\underline{K}} = \begin{pmatrix} k_1 + k_{12} & -k_{12} \\ -k_{12} & k_2 + k_{12} \end{pmatrix}$$

und das Gleichungssystem lautet in Matrixschreibweise

$$\begin{pmatrix} k_1 + k_{12} - m_1 \omega^2 & -k_{12} \\ -k_{12} & k_2 + k_{12} - m_2 \omega^2 \end{pmatrix} \begin{pmatrix} v_1 \\ v_2 \end{pmatrix} = \begin{pmatrix} 0 \\ 0 \end{pmatrix}$$

was diesem System aus zwei Gleichungen entspricht

$$-m_1\omega^2 v_1 = -k_1v_1 - k_{12}(v_1 - v_2)$$
  
- $m_2\omega^2 v_2 = -k_2v_2 + k_{12}(v_1 - v_2)$ .

Auch ohne Kenntnis der Theorie der Eigenwerte ist klar, dass man hier einfach ein lineares Gleichungssystem lösen muss. Falls die sogenannte Säkulärdeterminante verschwindet, d.h. det = 0, besitzt es eine nicht-triviale Lösung. Das entspricht einer quadratischen Gleichung für  $\omega^2$ , welche auf zwei Eigenfrequenzen  $\omega_{\pm}^2$  führt. Durch Wurzelbildung bekommt man also insgesamt vier Frequenzen, was genau

der Gesamtzahl an Freiheitsgraden entspricht (zwei räumliche Freiheitsgrade, zwei Impulsfreiheitsgrade). Diese Freiheitsgrade entsprechen den vier Anfangsbedingungen (Ort und Geschwindigkeit jeder Masse). Zu jeder Eigenfrequenz gehöhrt eine Eigenmode (Eigenvektoren  $(v_1, v_2)$ ).

Wir diskutieren jetzt den Spezialfall  $m_1 = m_2 = m$ ,  $k_1 = k_2 = k$  und berechnen die beiden Moden.

#### 1.Mode

$$\omega_{-}^{2} = \frac{k}{m} \Rightarrow \begin{pmatrix} k_{12} & -k_{12} \\ -k_{12} & k_{12} \end{pmatrix} \begin{pmatrix} v_{1} \\ v_{2} \end{pmatrix} = \begin{pmatrix} 0 \\ 0 \end{pmatrix} \Rightarrow \begin{pmatrix} v_{1} \\ v_{2} \end{pmatrix} = \begin{pmatrix} 1 \\ 1 \end{pmatrix}$$

Das entspricht einer gleichsinnigen Schwingung der beiden Massen. Dabei wird die koppelnde Feder nicht belastet, das ist also eine triviale Mode.

#### 2.Mode

$$\omega_{+}^{2} = \frac{k + 2k_{12}}{m} \implies \begin{pmatrix} -k_{12} & -k_{12} \\ -k_{12} & -k_{12} \end{pmatrix} \begin{pmatrix} v_{1} \\ v_{2} \end{pmatrix} = \begin{pmatrix} 0 \\ 0 \end{pmatrix} \implies \begin{pmatrix} v_{1} \\ v_{2} \end{pmatrix} = \begin{pmatrix} 1 \\ -1 \end{pmatrix}$$

Das entspricht einer gegensinnigen Schwingung der beiden Massen. Dabei wird die koppelnde Feder periodisch gedehnt und gestaucht. Die Frequenz dieser Mode ist höher.

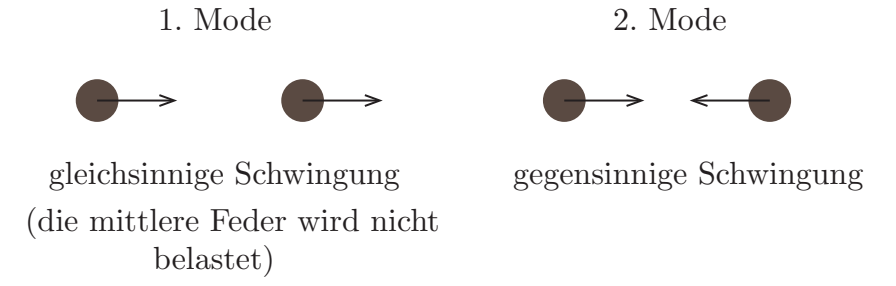


Abbildung 4.27: Ein System mit zwei Massenpunkten hat zwei räumliche Freiheitsgrade und deshalb zwei Fundamentalmoden.

Die allgemeine Lösung mit vier Parametern, die durch die Anfangsbedingungen festgelegt sind, lautet:

$$x_1(t) = a_- \cos(\omega_- t) + b_- \sin(\omega_- t) + a_+ \cos(\omega_+ t) + b_+ \sin(\omega_+ t)$$
  
$$x_2(t) = a_- \cos(\omega_- t) + b_- \sin(\omega_- t) - a_+ \cos(\omega_+ t) - b_+ \sin(\omega_+ t)$$

Man kann die sogenannten Normalkoordinaten  $Q_1$  und  $Q_2$  definieren:

$$Q_1 := a_- \cos(\omega_- t) + b_- \sin(\omega_- t)$$

$$Q_2 := a_+ \cos(\omega_+ t) + b_+ \sin(\omega_+ t)$$
 Wegen  $x_1 = Q_1 + Q_2$  und  $x_2 = Q_1 - Q_2$  gilt: 
$$Q_1 = \frac{x_1 + x_2}{2}$$
 
$$Q_2 = \frac{x_1 - x_2}{2}$$

Die Normalkoordinaten sind interessant, weil sie wieder skalar sind. In den Normalkoordinaten ist das Problem in f unabhängige harmonische Oszillatoren entkoppelt.

Am Schluss betrachten wir einen wichtigen Spezialfall. Wir starten mit einer ausgelenkten Masse, die zweite Masse ist in der Ruheposition, und es gibt keine Geschwindigkeiten. Dann gilt  $x_1(0) = A$ ,  $x_2(0) = \dot{x}_1(0) = \dot{x}_2(0) = 0$ . Alle Sinus-Terme verschwinden und man hat

$$x_1(t) = \frac{A}{2} \left( \cos(\omega_- t) + \cos(\omega_+ t) \right) = A \left( \cos(\frac{\omega_+ - \omega_-}{2} t) \cos(\frac{\omega_+ + \omega_-}{2} t) \right)$$
$$x_2(t) = \frac{A}{2} \left( \cos(\omega_- t) - \cos(\omega_+ t) \right) = A \left( \sin(\frac{\omega_+ - \omega_-}{2} t) \sin(\frac{\omega_+ + \omega_-}{2} t) \right)$$

wobei für die Umformungen von Summen auf Produkte die Additionstheoreme genutzt wurden. Zum Beispiel kann man für den Fall  $x_1$  die Gleichung  $\cos(a+b) + \cos(a-b) = 2\cos a\cos b$  verwenden. Jetzt betrachtet man noch den Fall mit schwacher Kopplung  $(k_{12} \ll k)$ . Dann kann man das Ergebnis interpretieren als eine Schwingung mit der Grundfrequenz  $(\omega_+ + \omega_-)/2 \approx k/m$  der einzelnen Oszillatoren, aber mit einer Amplitude, die auch oszilliert, allerdings viel langsamer, nämlich mit  $(\omega_+ - \omega_-)/2 \approx k_{12}/m$ . Die modulierte Amplitude ähnelt dem Fall der Dämpfung im harmonischen Oszillator, aber hier ist sie nicht exponentiell abfallend, sondern oszilliert. Das heisst, dass die zwei Pendel abwechselnd sich bewegen und stillstehen, und dabei die Energie von einem auf das andere Pendel wechselt. Dieses wichtige Phänomen ist als Schwebunq bekannt.